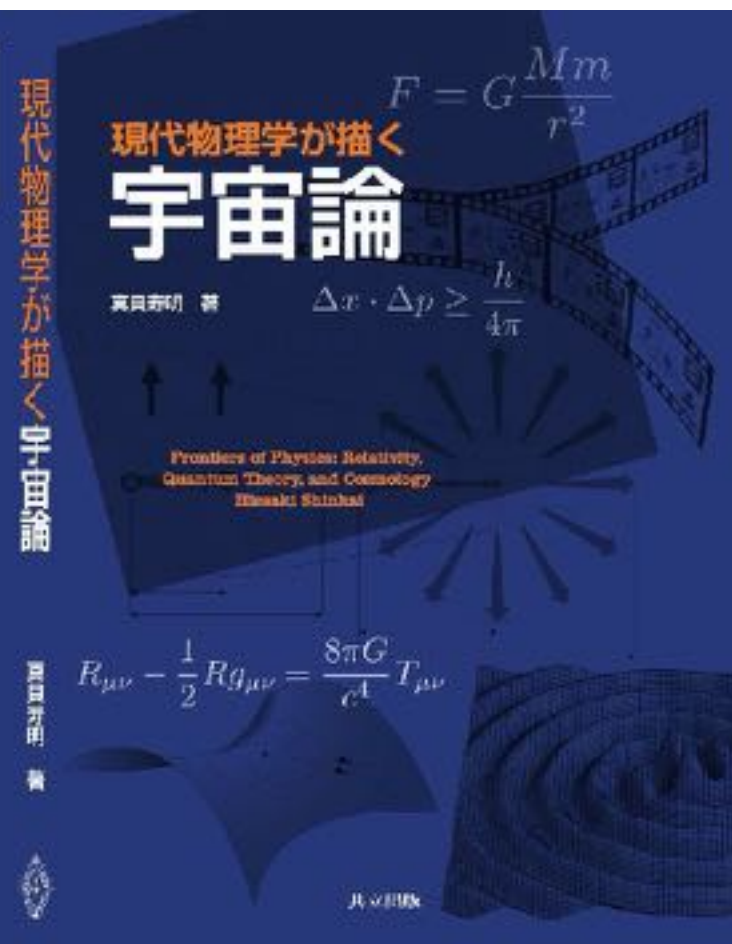


最近の宇宙研究の進展から

1. 太陽系内惑星探査
2. 太陽系外惑星探査 2018年ノーベル物理学賞
3. ブラックホールの観測 2020年ノーベル物理学賞
4. 重力波観測の現状 2017年ノーベル物理学賞
5. 時計を使った相対性理論の検証



真貝寿明（しんかい ひさあき）

大阪工業大学 情報科学部 教授

武庫川女子大学 非常勤講師

理化学研究所 客員研究員



<http://www.oit.ac.jp/is/shinkai/>

2021/3/10 サークルすばる@大阪中央会館

最近の宇宙研究の進展から

1. 太陽系内惑星探査

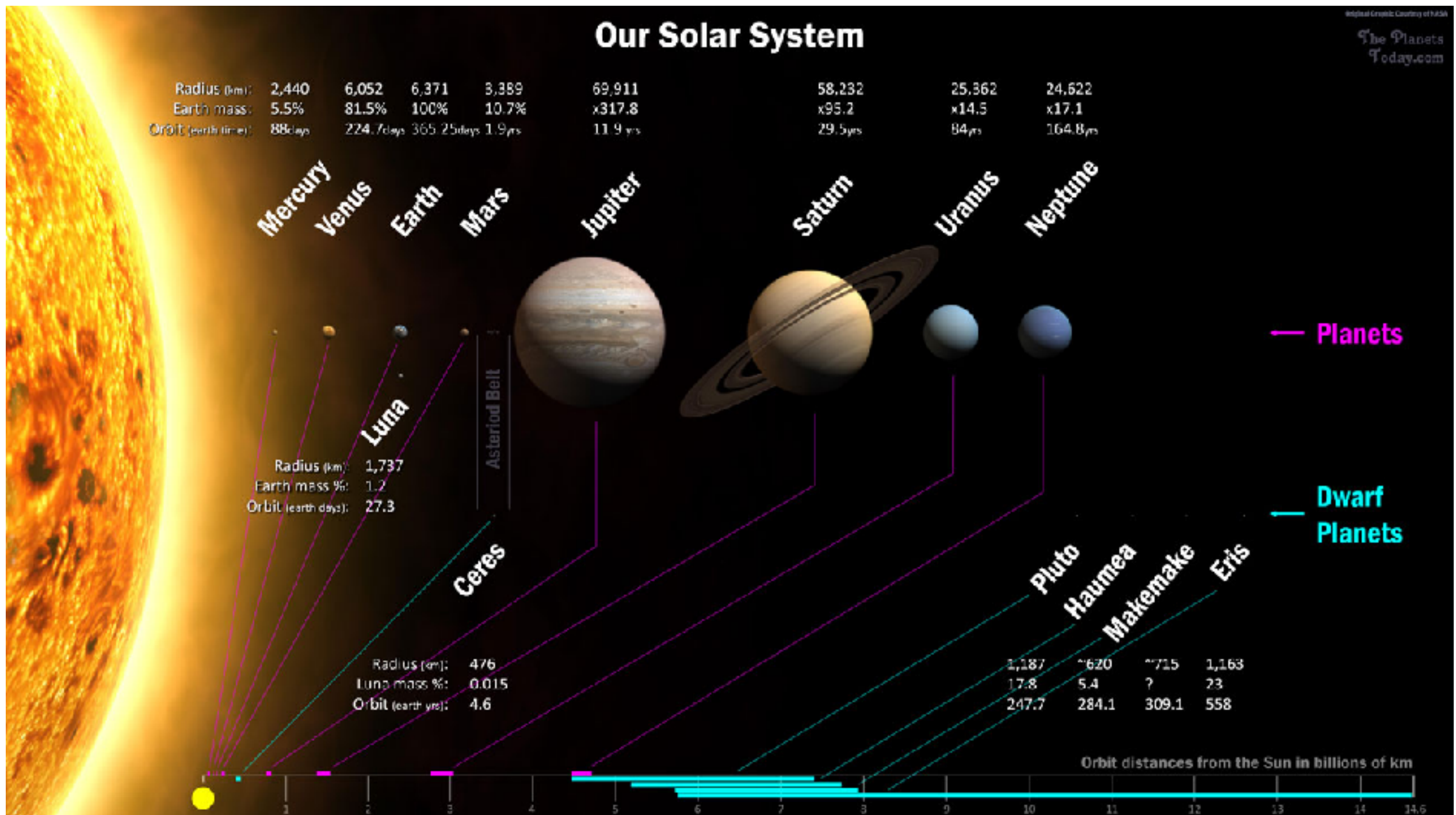
- 2. 太陽系外惑星探査 2018年ノーベル物理学賞
- 3. ブラックホールの観測 2020年ノーベル物理学賞
- 4. 重力波観測の現状 2017年ノーベル物理学賞
- 5. 時計を使った相対性理論の検証

<http://www.oit.ac.jp/is/shinkai/>

2021/3/10 サークルすばる@大阪中央会館



太陽系 惑星・準惑星



水金地火ヶ 木 土 天海冥ハマエ

https://www.theplanetstoday.com/solar_system_map.html

太陽系を回る天体の分類

表 1.5 太陽系を回る天体の分類

定義	
惑星	(1) 十分な質量があってほぼ球形の天体である, (2) 太陽を周回する軌道である, (3) その軌道上では他の天体を一掃してしまっている, の 3 条件をみたす天体
準惑星	惑星の定義の(1)(2)をみたし, かつ (3) その軌道近傍では他の天体が存在する (4) 衛星ではない天体.
太陽系小天体	冥王星型天体以外の太陽系外縁天体, 小惑星, 彗星, 惑星間塵など.

惑星

planet

準惑星

dwarf planet

太陽系小天体

small solar system bodies

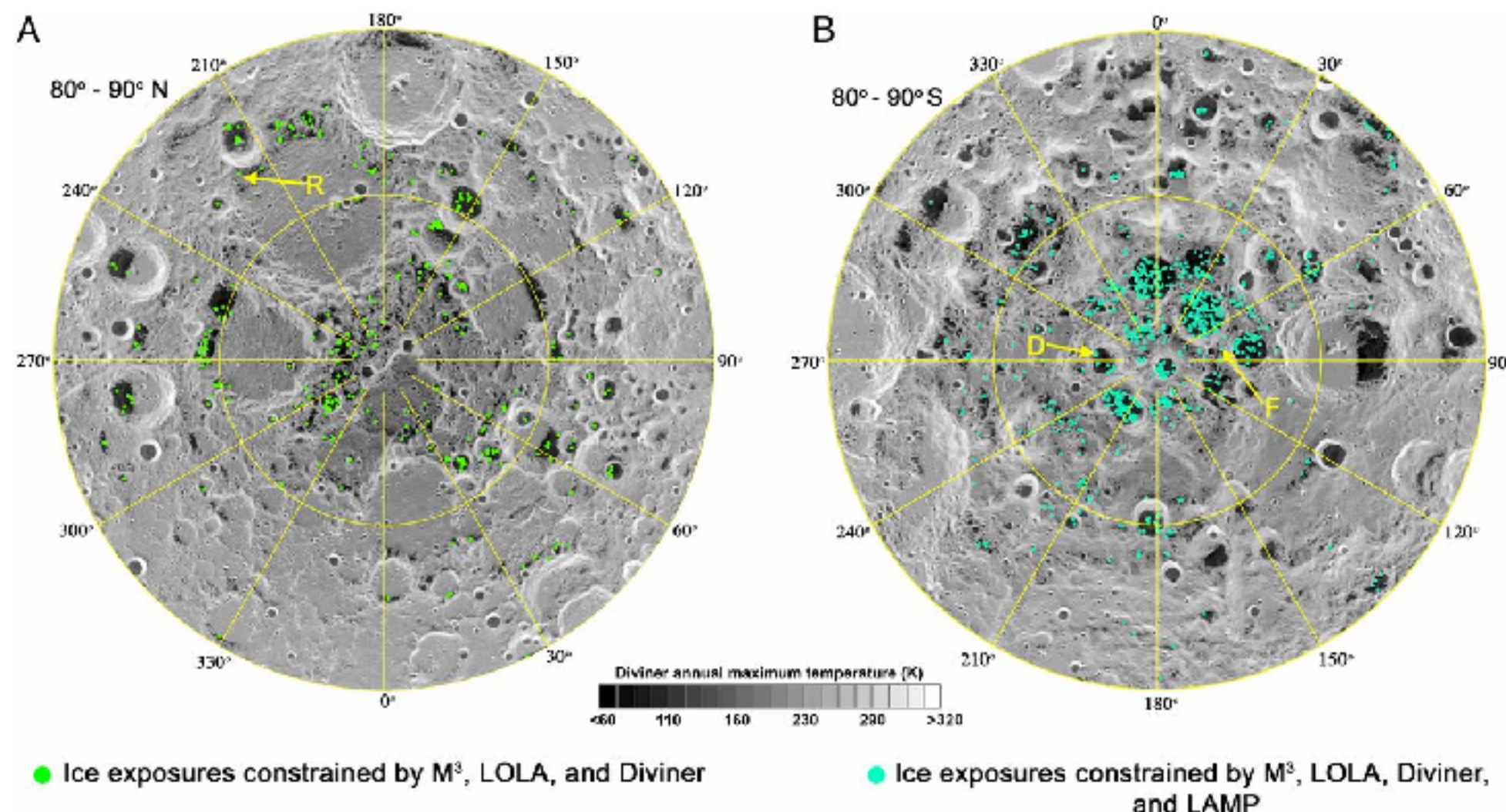
太陽系の惑星と準惑星

表 1.6 太陽系の惑星と準惑星. a は軌道長半径. 離心率はどれだけ円軌道からずれているかを示す (§2.2.2 参照). ハウメアの楕円体の大きさは $1960 \times 1518 \times 996$ km.

天体名		a [AU]	周期 [年]	離心率	半径 [km]	質量 [kg]	分類
太陽	Sun	—	—	—	696000	1.99×10^{30}	—
水星	Mercury	0.39	0.24	0.21	2440	3.3×10^{23}	岩石惑星
金星	Venus	0.72	0.62	0.007	6052	4.9×10^{24}	岩石惑星
地球	Earth	1.00	1.00	0.02	6378	6.0×10^{24}	岩石惑星
火星	Mars	1.52	1.88	0.09	3396	6.4×10^{23}	岩石惑星
木星	Jupiter	5.20	11.86	0.05	71492	1.9×10^{27}	ガス惑星
土星	Saturn	9.55	29.46	0.06	60268	5.7×10^{26}	ガス惑星
天王星	Uranus	19.22	84.02	0.05	25559	8.7×10^{25}	ガス惑星
海王星	Neptune	30.11	164.77	0.009	24764	1.0×10^{26}	氷惑星
ケレス	Ceres	2.77	4.6	0.08	474	9.5×10^{20}	
冥王星	Pluto	39.54	247.80	0.25	1151	1.3×10^{22}	
ハウメア	Haumea	43.03	282.29	0.197	楕円体	4.0×10^{21}	
マケマケ	Makemake	45.35	305.45	0.163	??	$4.0 \times 10^{21}?$	
エリス	Eris	68.05	305.45	0.163	??	$1.66 \times 10^{22}?$	

月に水がある!

2018/8/29

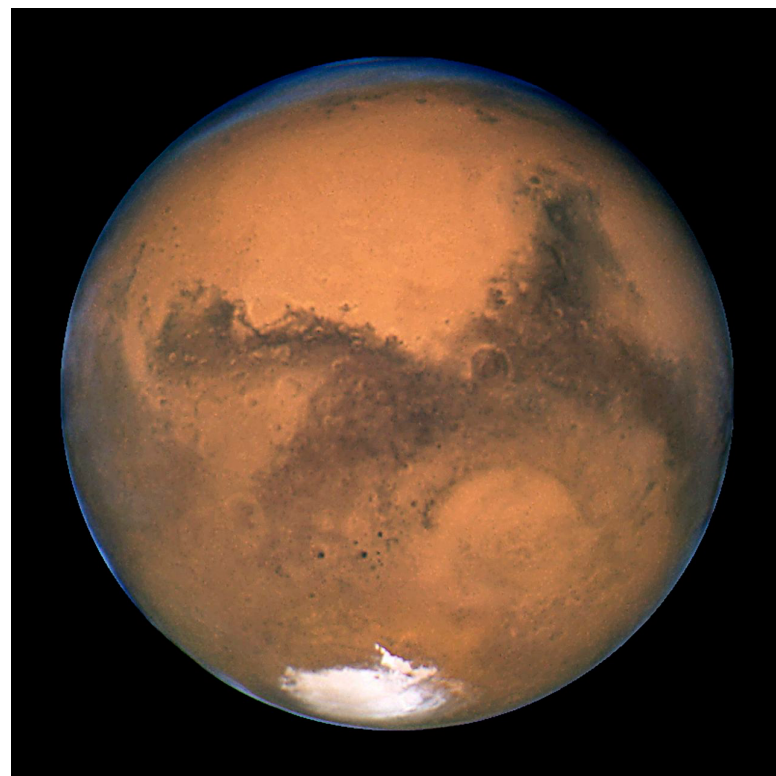


2008年から2009年の間に運用されていたインドの月周回機「チャンドラヤーン1号」に搭載されたNASAのレーダー「Moon Mineralogy Mapper (M3)」が取得した観測データの分析により、月面の極域に水が氷の状態で存在する証拠が直接観測された。氷が観測されたのは、極域のクレーター内にある「永久影」と呼ばれる常に日陰となる領域で、氷は地表数ミリメートルの深さにある、という。マイナス170°Cの領域なので、真空でも水が蒸発しない状態だという。

<https://doi.org/10.1073/pnas.1802345115>

<https://wired.jp/2018/08/29/moon-water-evidence/>

太陽系惑星探査：NASAによる火星探査



火星の大気は 95% が二酸化炭素. 大気圧は地球の 0.75%. 気温は最高 20°C . 重力は地球の 40%.



キュリオシティが着陸直後に撮影した火星表面のパノラマ写真.

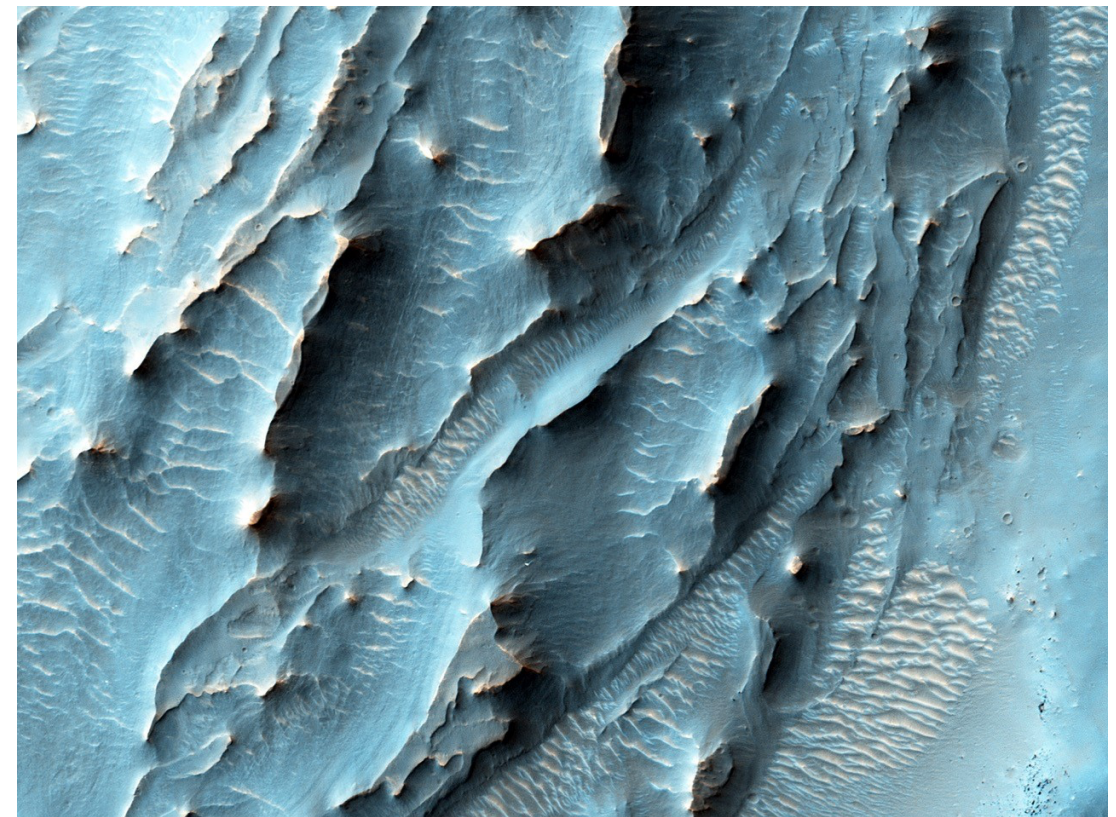
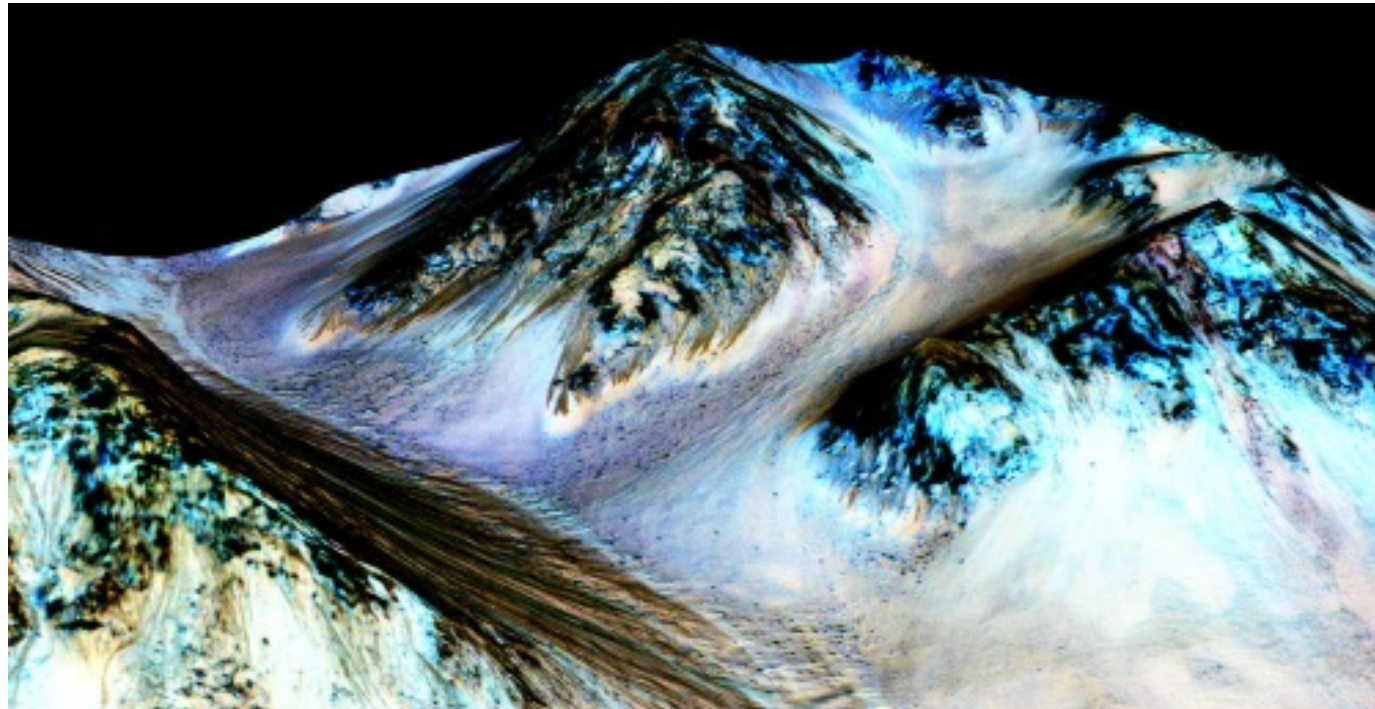
2012 年 8 月 13 日 NASA

火星に水がある!

火星には過去に液体の水が存在した (2004年発表)

極地方では現在も水が存在している可能性 (2015年9月29日発表)

火星の大気は太陽から吹き出したプラズマ流(太陽風)によって剥ぎ取られた



斜面上を約 100m の長さにわたって伸びる暗い筋模様が液体の水の存在 を示している。
山の斜面と上空からの写真。

火星の鉱物採集調査

NASA Perseverance

2020年7月30日打ち上げ、2021年2月19日着陸



微生物生息可能性の探索

土壤サンプルの収集、火星の表面に保存

火星の大気から酸素生産を試行

中国 天問1号 Tianwen-1

2020年7月打ち上げ、

2021年2月火星軌道到達。

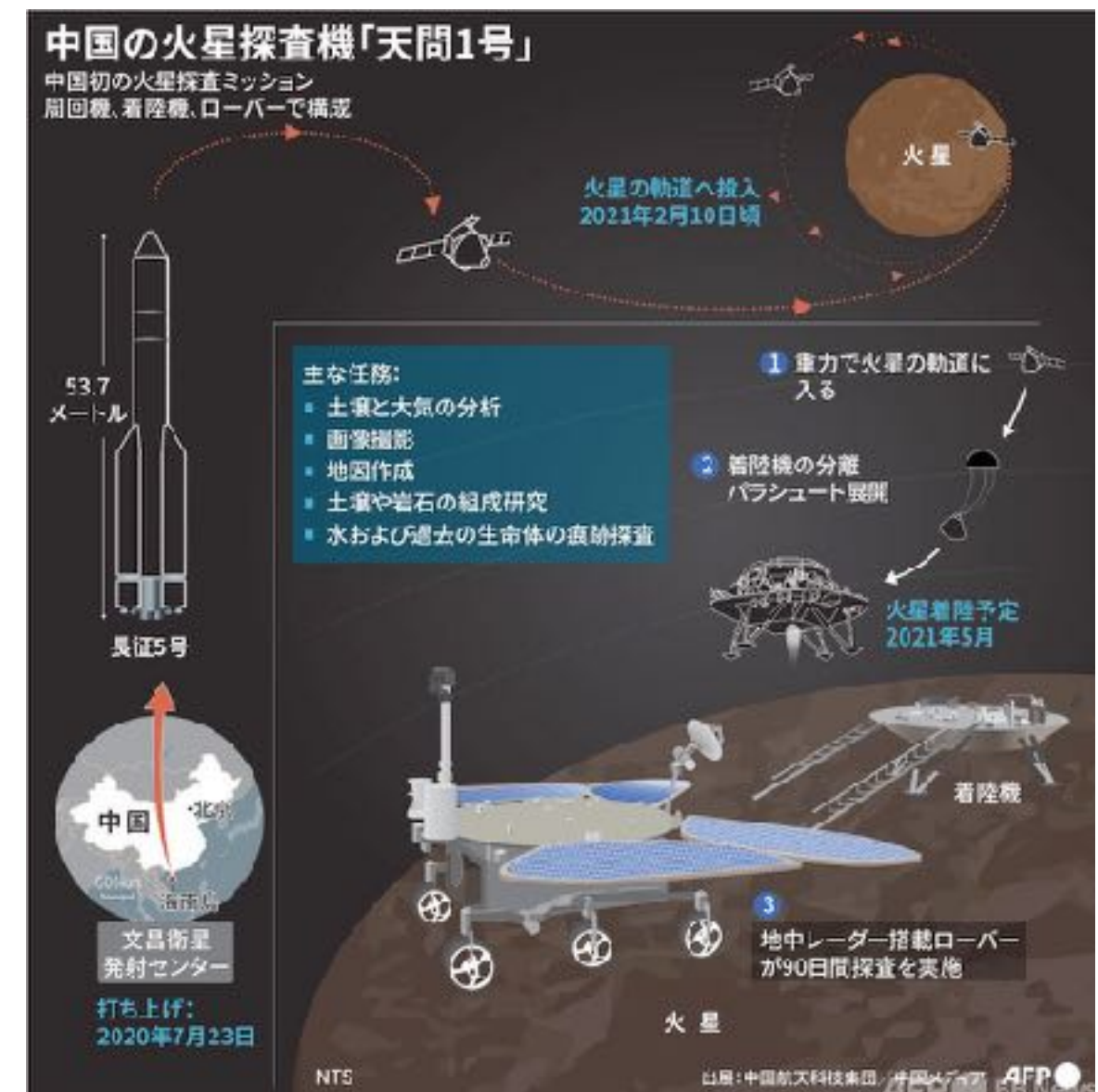
5月着陸予定。90日間調査。

UAE Hope

2020年7月打ち上げ (JAXA打ち上げ)

2021年2月火星軌道到達。

2年間周回して大気など調査。



太陽系の小惑星

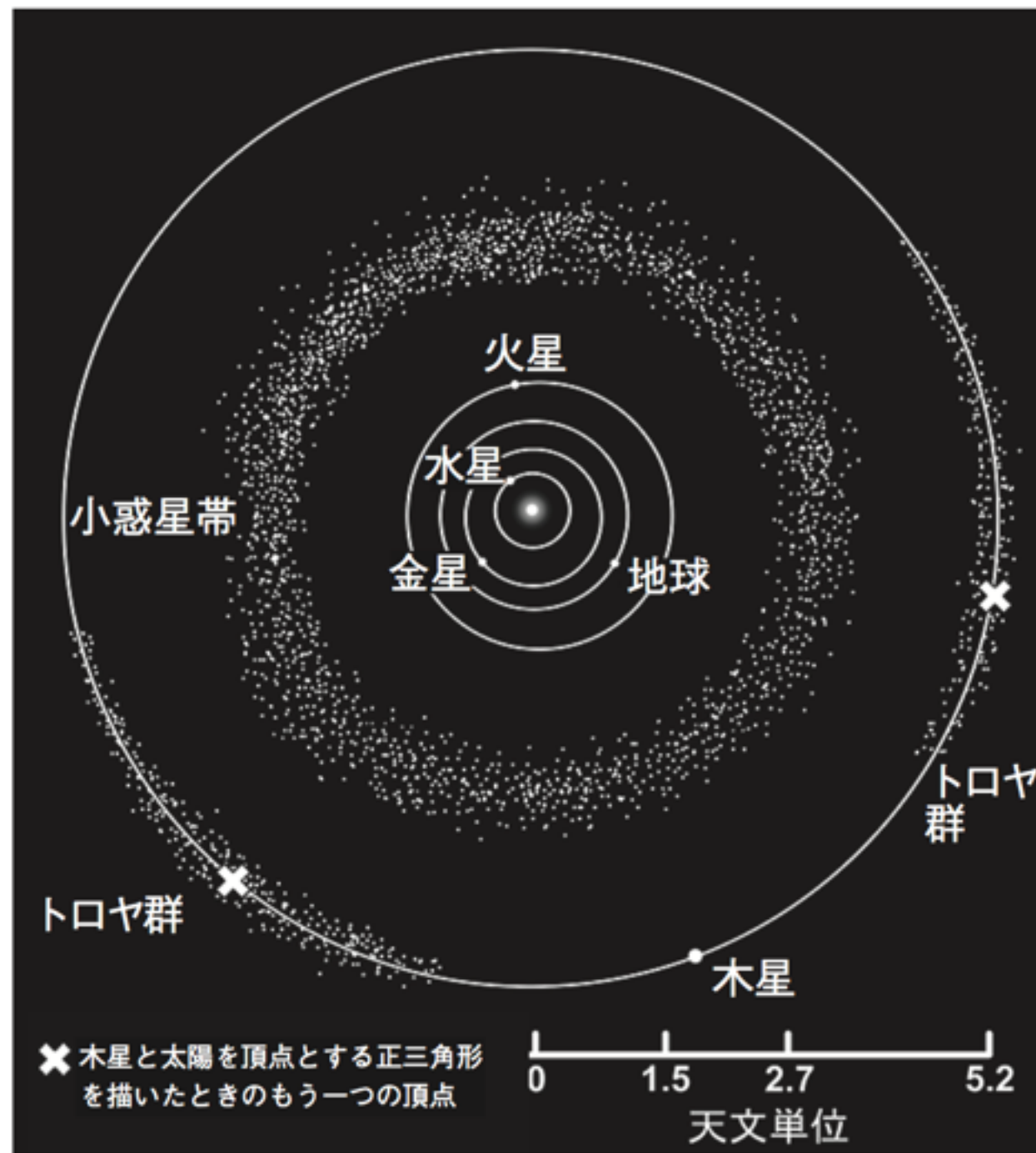
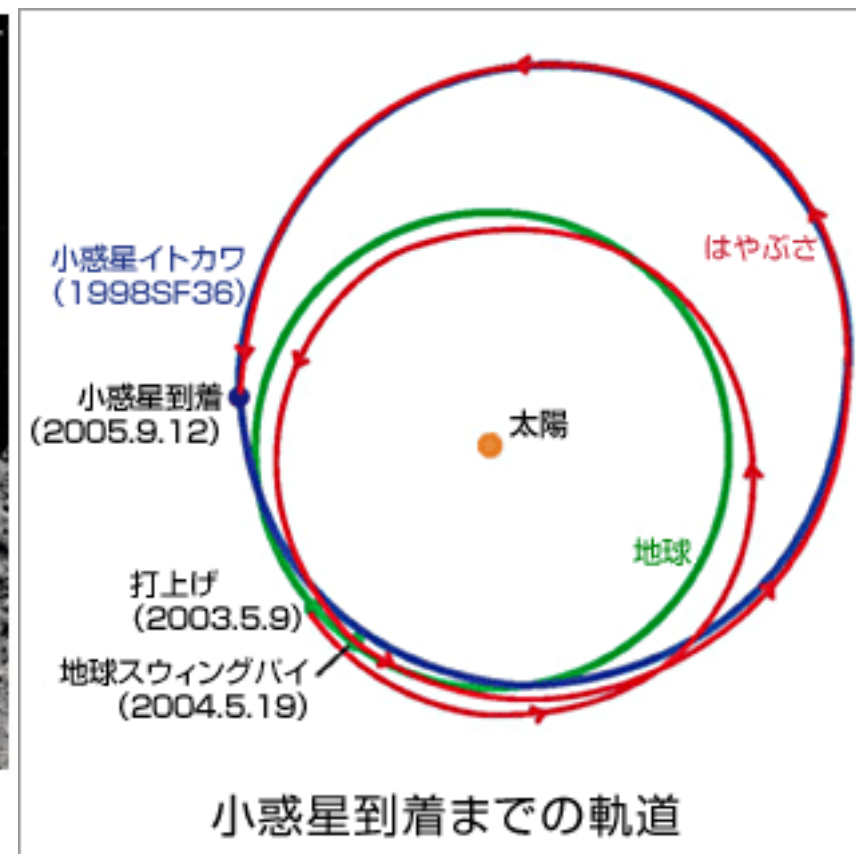


図 1.20 小惑星帯は火星と木星軌道の間にある。また、木星軌道にはトロヤ群と呼ばれる小惑星帯もある。トロヤ群は太陽と木星を 2 つの頂点として正三角形を描いたときの 3 つ目の頂点付近にある。

小惑星探査機 はやぶさ (2003年打ち上げ-2010年帰還)



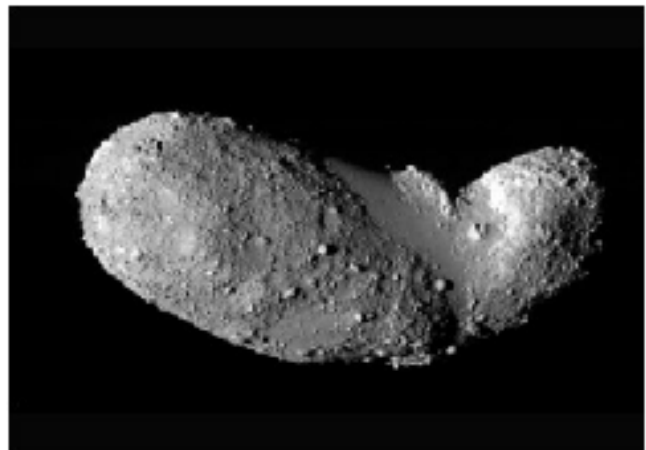
- 2003年5月9日 M-Vロケット5号機によって打ち上げ
- 2004年5月19日 地球スwingバイ
- 2005年9月12日 小惑星イトカワに到着
- 2005年11月 史上初の小惑星への着陸を成功
- 2006年1月 通信途絶、燃料漏れなどのトラブル
- 2010年6月 地球に帰還（予定より3年遅れ）



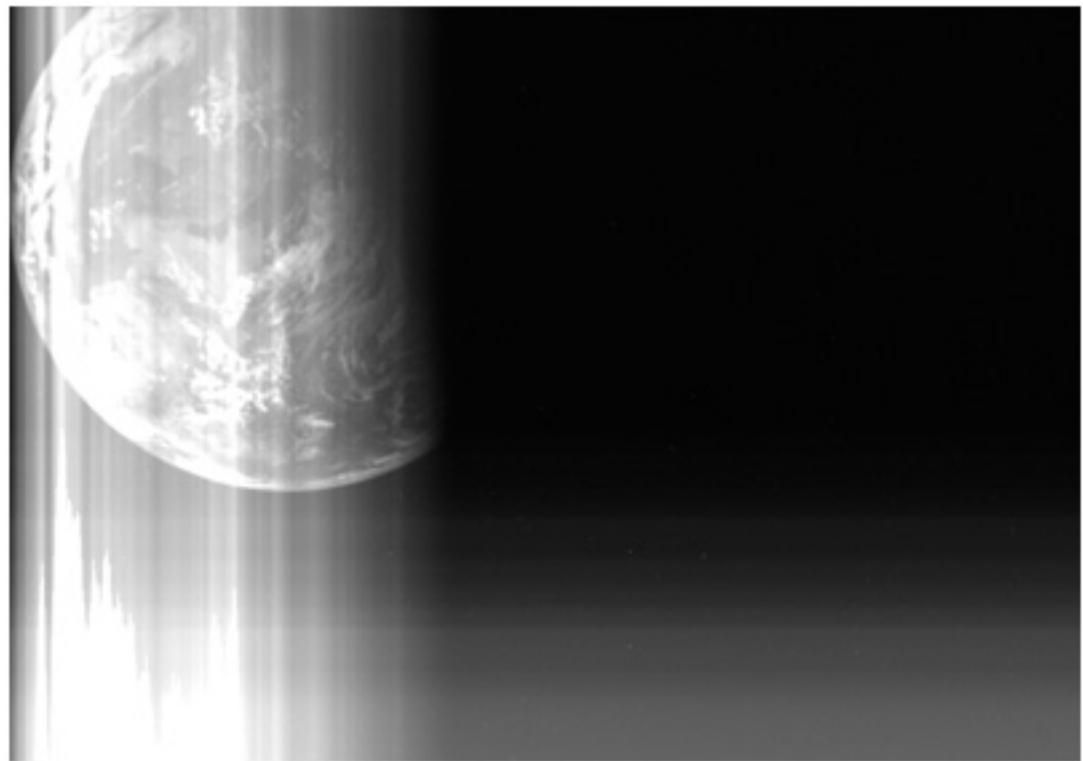
糸川英夫 (1912-1999)

「日本の宇宙開発・ロケット開発の父」

小惑星探査機 はやぶさ (2003年打ち上げ-2010年帰還)



小惑星探査機 はやぶさ (2003年打ち上げ-2010年帰還)



はやぶさが最後に撮影した写真（地球）



大西浩次氏



2010年6月カプセル回収

小惑星探査機 はやぶさ2 (2014年12月打ち上げ)

太陽系の起源・進化を解明し、生命の原材料物質を調べるために、小惑星に着陸し、地球に岩石を持ち帰る2回目のプロジェクト小惑星探査機「はやぶさ2」が、いよいよ打ち上げられる。

探査の候補となっているのは「1999 JU3」という小惑星で、地球に接近する軌道を持つ地球接近小惑星(NEO)のひとつ。大きさは900m程度。

鉱物・水・有機物の相互作用を明らかにし、小惑星の再集積過程、内部構造、地下物質を調査することにより、小惑星の形成過程を調べる。

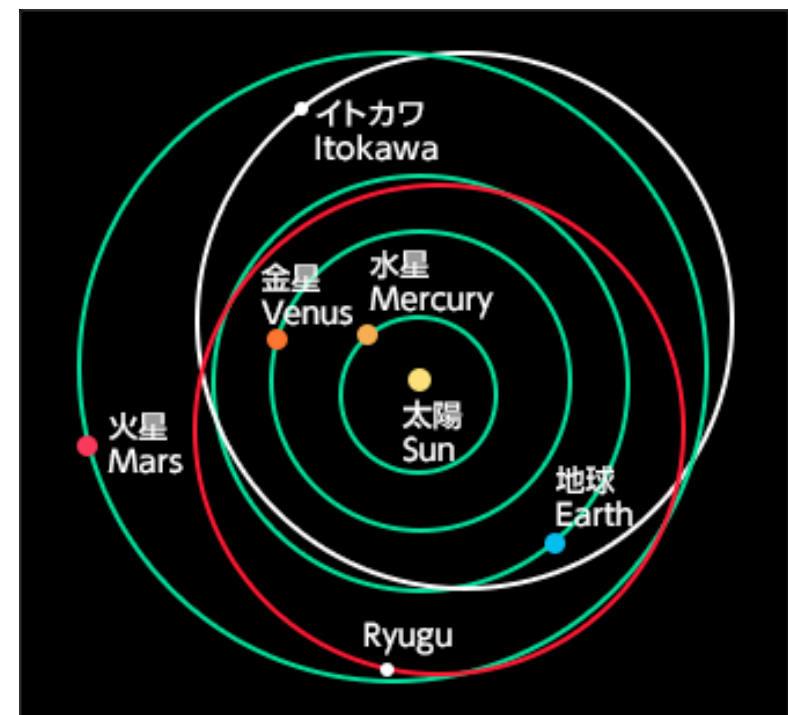
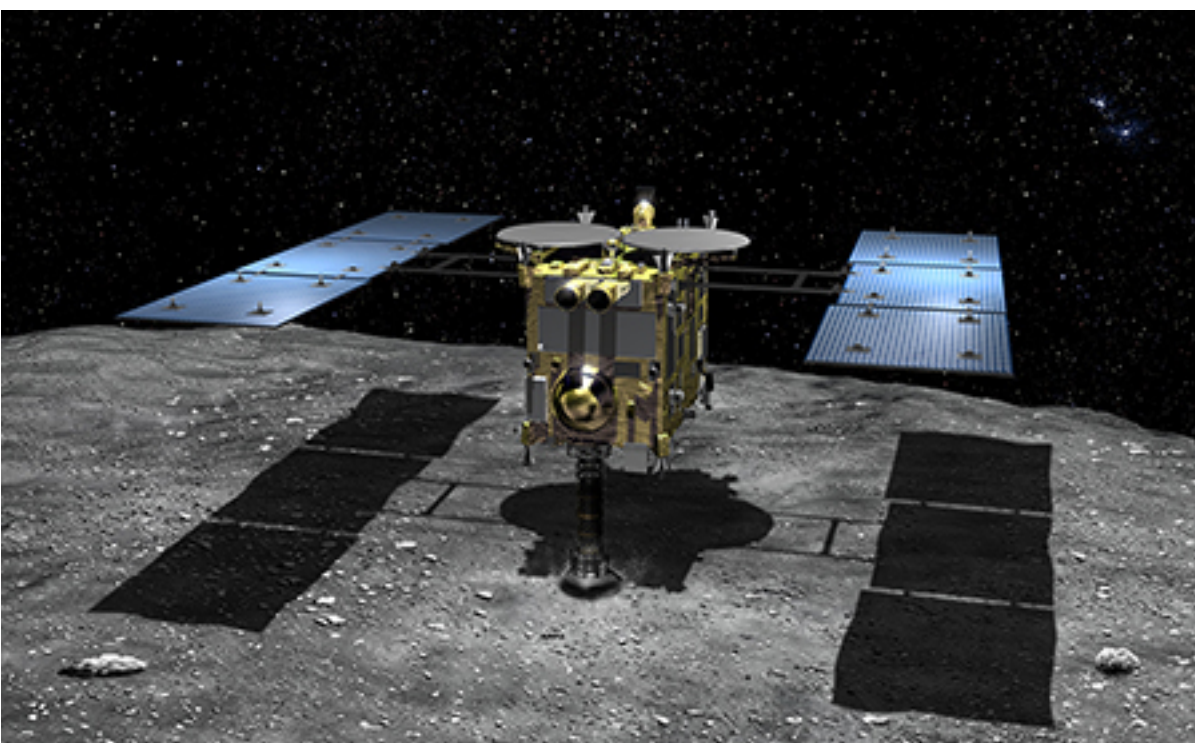
2018年小惑星着陸、2020年地球へ帰還予定。

2014/11/30

12月6日帰還
ほぼ予定どおり

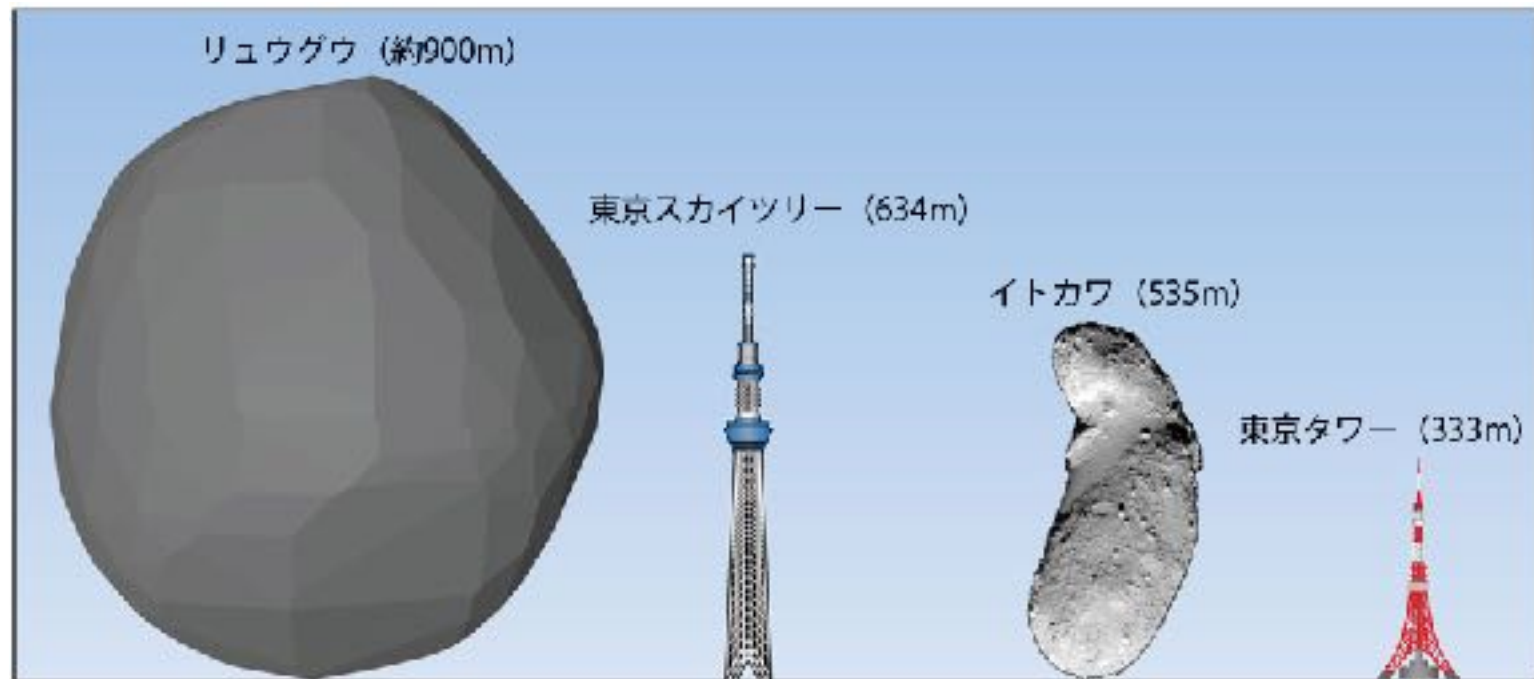
リュウグウ
と命名

リュウグウへ

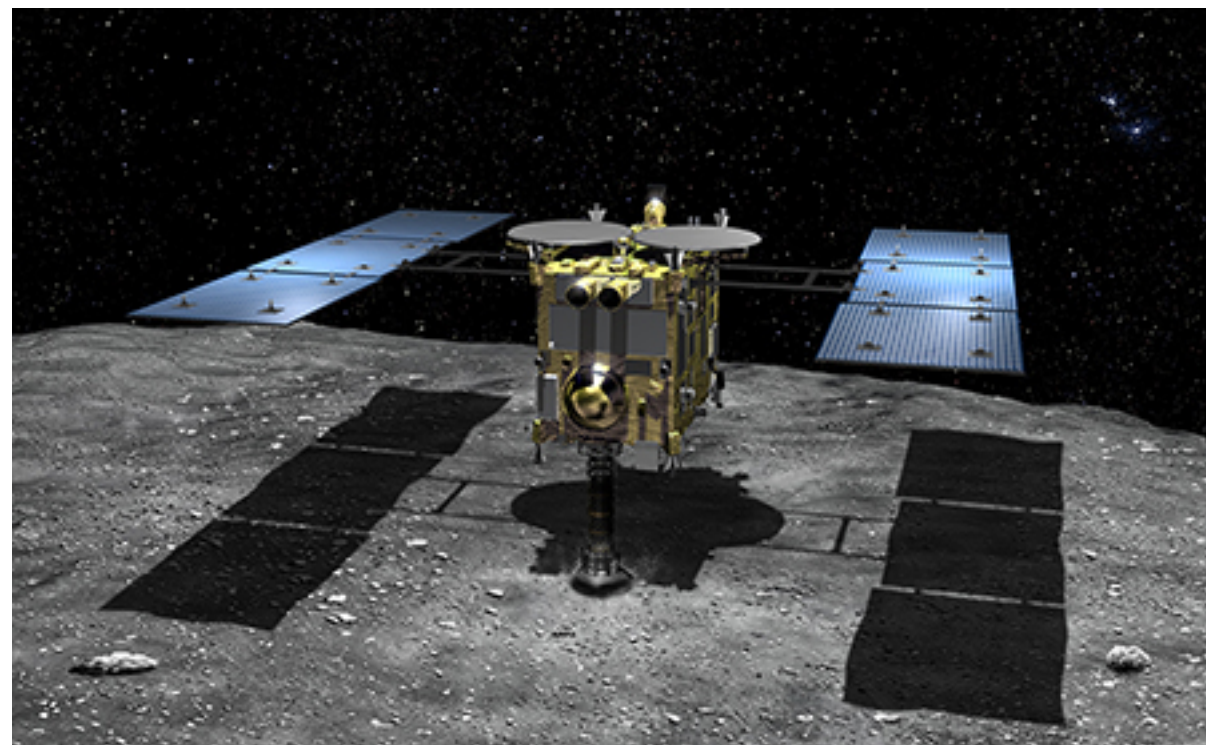


小惑星探査機 はやぶさ2 (2014年12月打ち上げ)

リュウグウへ



<http://www.hayabusa2.jaxa.jp/topics/20180323/>

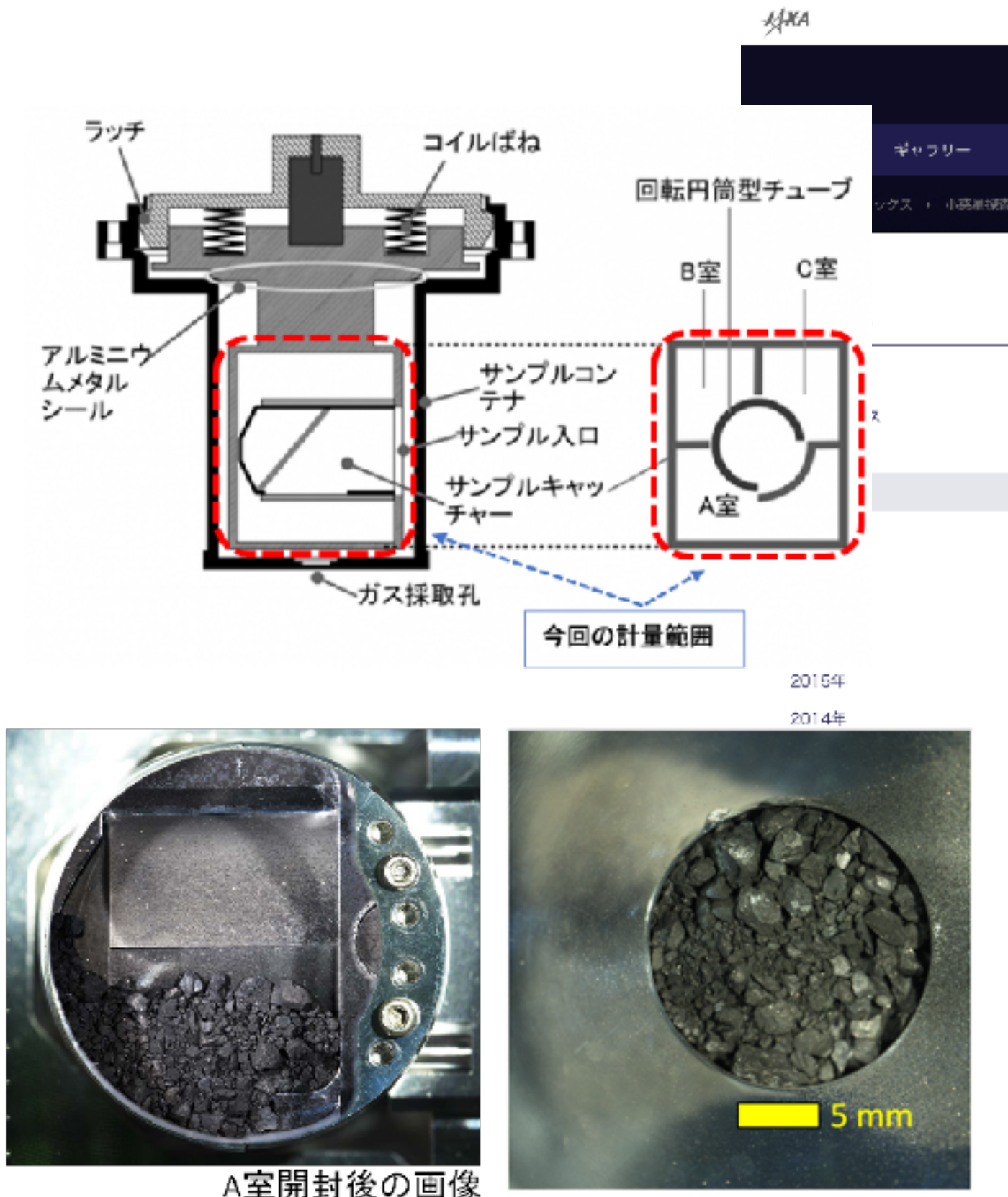




<http://www.hayabusa2.jaxa.jp/galleries/>

start on click 1:50'

小惑星探査機 はやぶさ2 (小惑星からの試料回収成功!)



http://www.hayabusa2.jaxa.jp/topics/20201225_samples/index.html



宇宙科学研究所

INSTITUTE OF SPACE AND ASTRONAUTICAL SCIENCE

ギャラリー

読むISAS

トピックス

広報・イベント

宇宙科学研究所とは

検索窓

ENGLISH



2020年12月18日

小惑星探査機「はやぶさ2」が採取した小惑星Ryugu(リュウグウ)サンプルは約5.4グラム

小惑星探査機「はやぶさ2」再突入カプセルにより地球無事した小惑星Ryugu(リュウグウ)サンプルの重量が約5.4グラムであることがわかりました。

これは、2020年12月18日にJAXA相模原キャンパス内地球外試料キュレーションセンターにて、小惑星探査機「はやぶさ2」再突入カプセルより取り出したサンプルコンテナ内の「サンプルキャッチャー」全体としてサンプル込みで秤量することにより、打上げ前の「サンプルキャッチャー」重量との差分から、採取したサンプルのおおよその総重量(A、B、C室内サンプルの合計)を算出しました。これには12月14日にサンプルコンテナの底面に確認した「サンプルキャッチャー」外のサンプル量は含まれません。

「はやぶさ2」設計時の目標サンプル収量として、初期分析で必要な科学分析を実施できるだけの量としていた0.1グラムを大きく超えるサンプル量が採取できていたことになります。

<http://www.isas.jaxa.jp/topics/002526.html>

最近の宇宙研究の進展から

1. 太陽系内惑星探査
2. 太陽系外惑星探査 2018年ノーベル物理学賞
3. ブラックホールの観測 2020年ノーベル物理学賞
4. 重力波観測の現状 2017年ノーベル物理学賞
5. 時計を使った相対性理論の検証

<http://www.oit.ac.jp/is/shinkai/>

2021/3/10 サークルすばる@大阪中央会館



ハビタブルゾーン

ハビタブルゾーン(habitable zone, 生命居住可能ゾーン)

宇宙の中で生命が誕生するのに適した環境となる領域

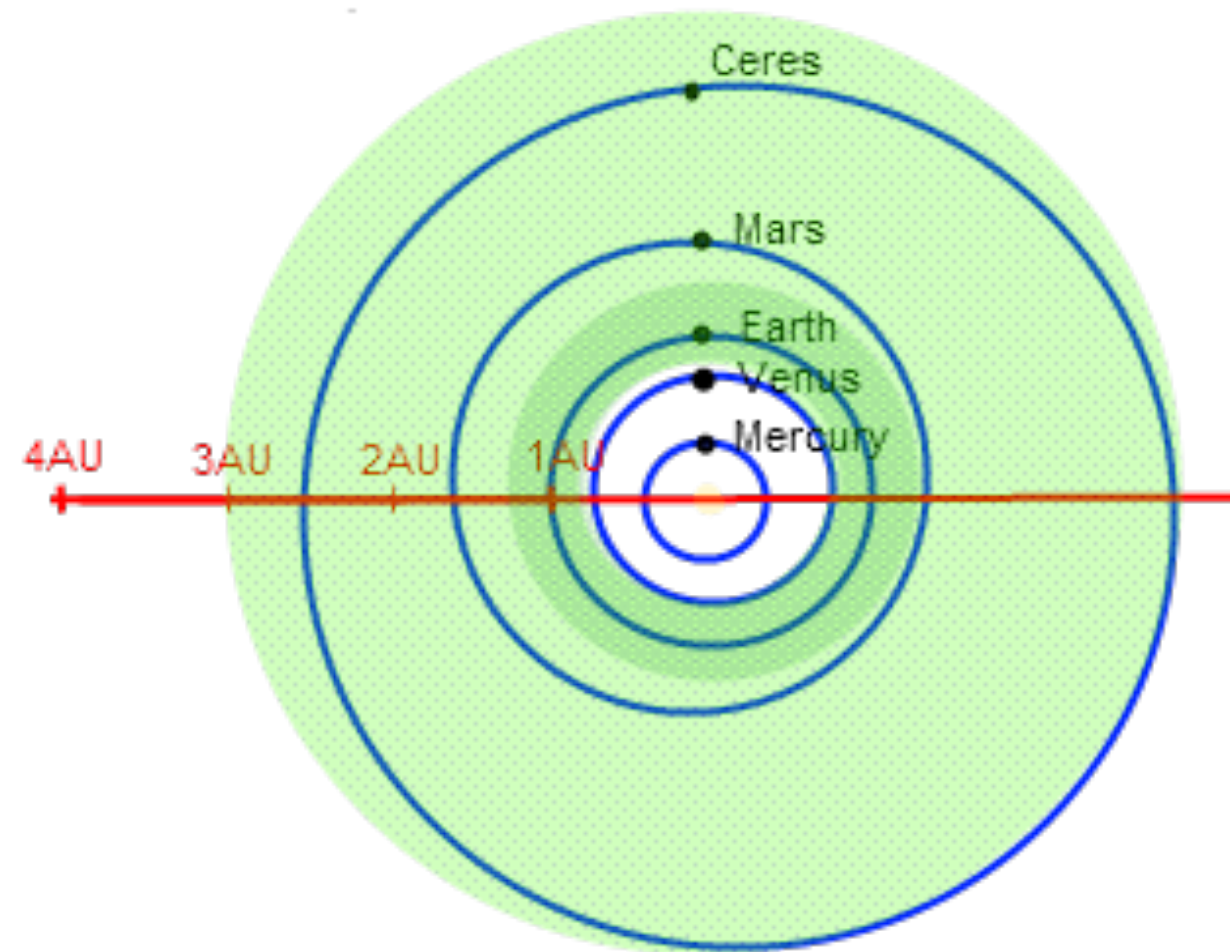
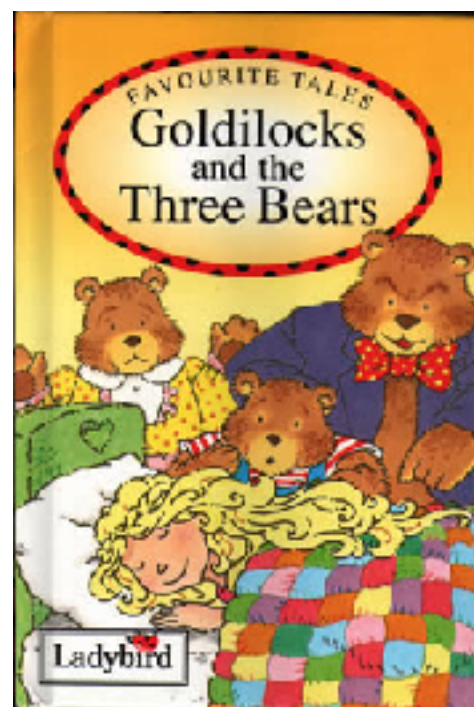
条件1：水が液体として存在できる位置に惑星があること

=ゴルディロックスゾーン(Goldilocks zone)

$$180 \text{ K} < \text{Equilibrium (T)} < 310 \text{ K}$$

条件2：岩石惑星であること

(ガス惑星ではないこと)



探査の方法

★直接観測

惑星からの光を直接観測する方法. (2008年から発見)

★位置天文学法 (Astrometry法)

巨大な惑星によって恒星がふらつく様子を位置天文学的手法により精密観測する方法. (2009年から発見)

★視線速度法 (Doppler法)

惑星によって恒星が視線方向にふらついた時に起こるドップラー効果によるスペクトル変化を調べる方法. (2009年までは最多)

★食検出法 (transit法)

惑星が恒星の前を横切る時の明るさの変化によって惑星を探す方法.
(2011年よりKepler衛星が大量発見中)

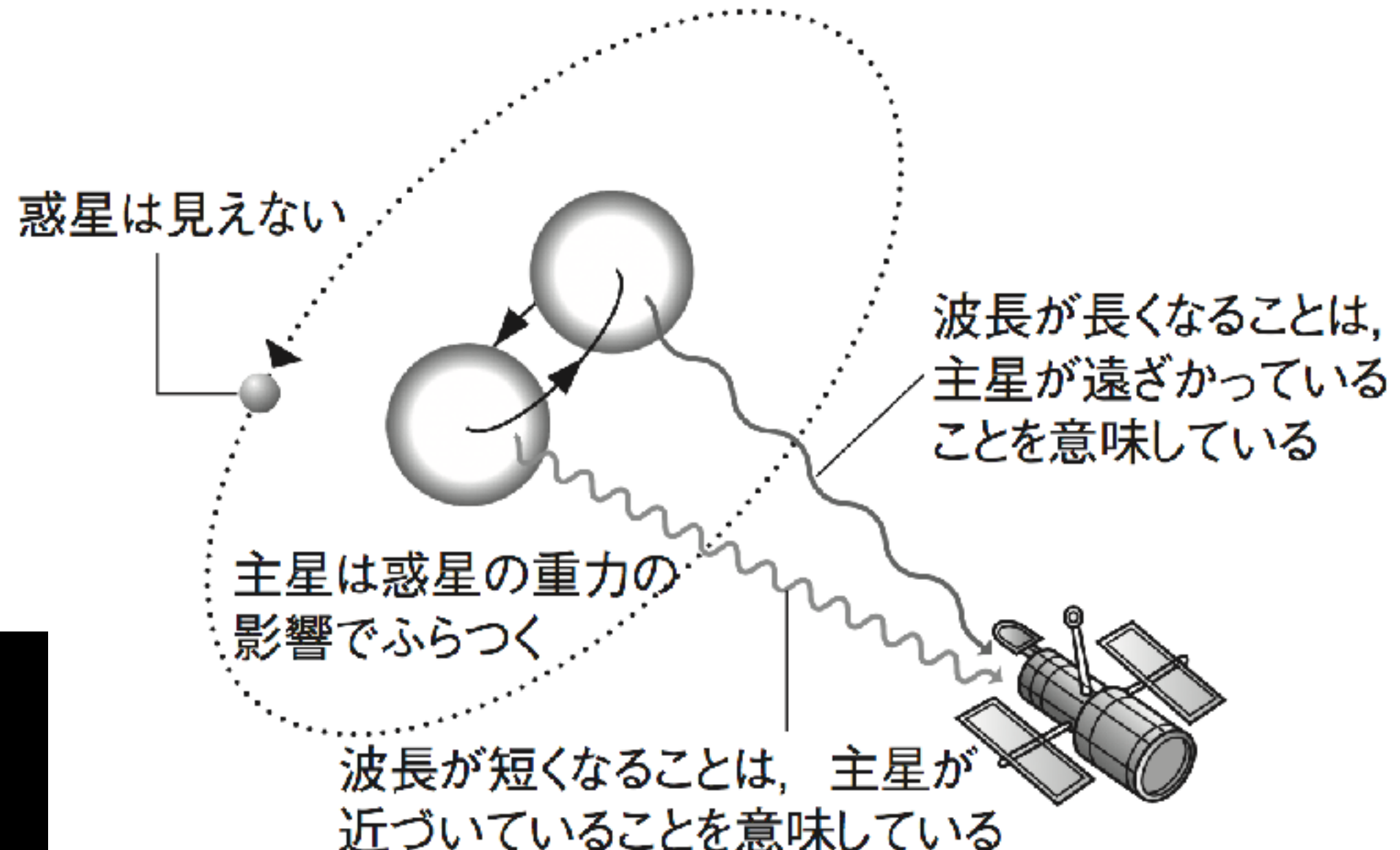
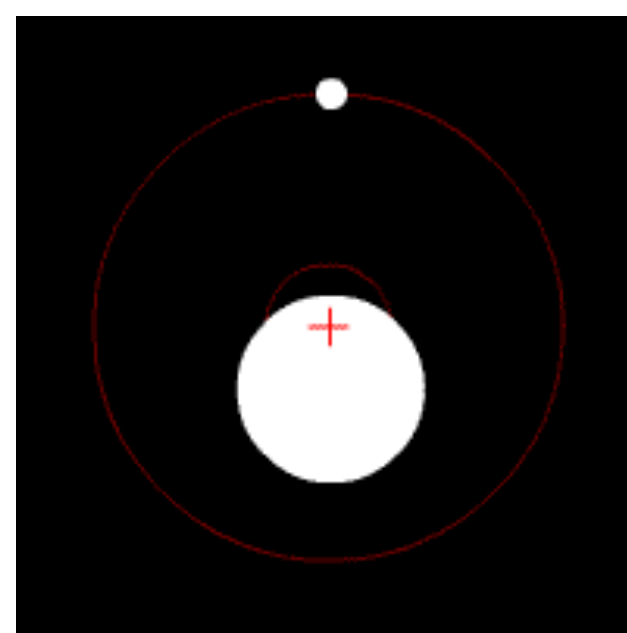
★重力レンズ法 (micro lensing法)

惑星による背後の天体からの光の集光現象を利用する方法. (2005年から発見)

★パルサー・タイミング法

周期的に電磁波を放出するパルサーに惑星が存在する場合、パルスに周期的なズレが見られることを利用する方法. (初めて発見された系外惑星)

視線速度法（ドップラー法）

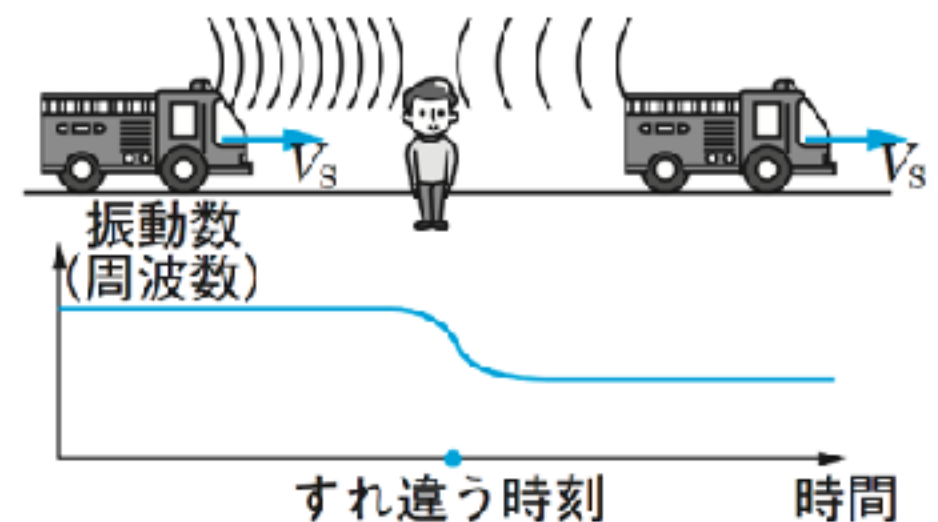
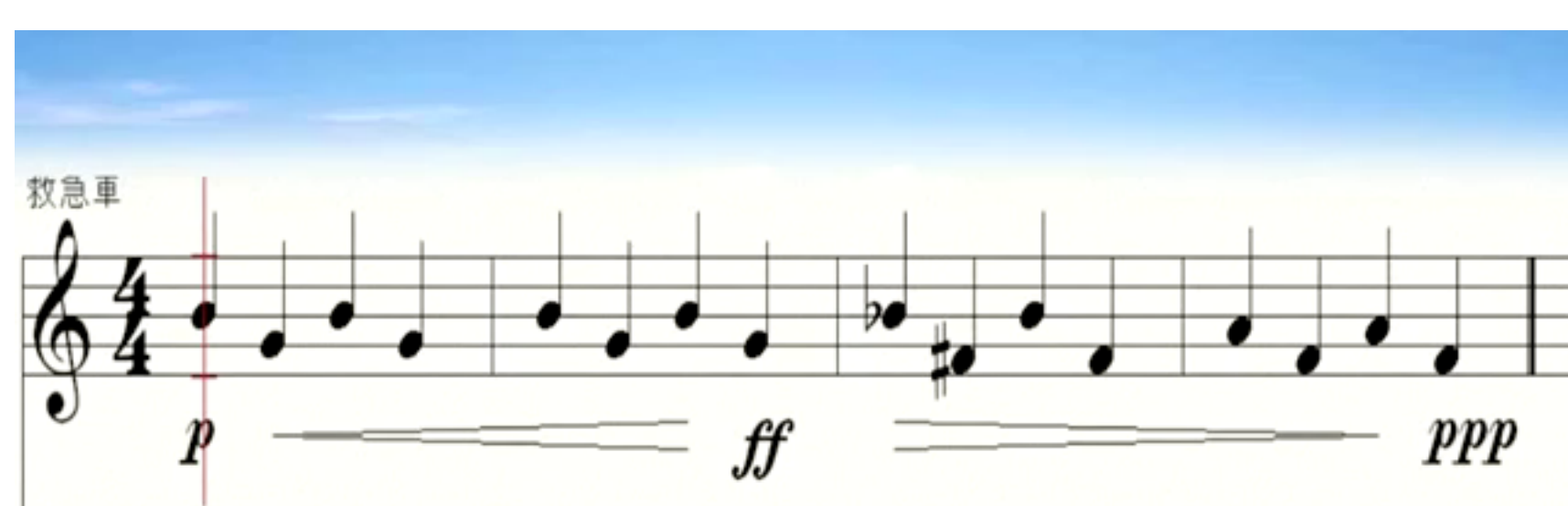


ドップラー効果



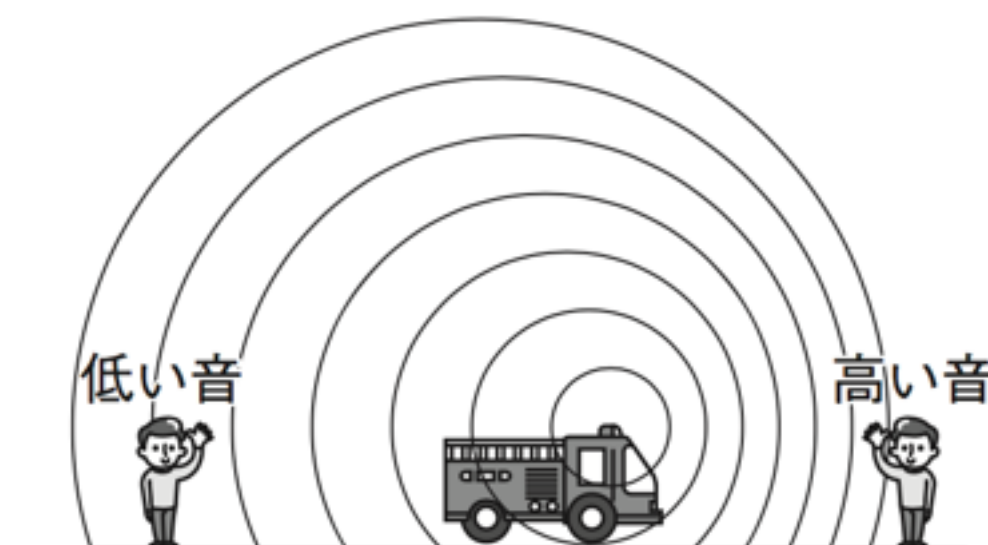
近づくとき
高い音
大きい音に

遠ざかるとき
低い音
小さい音に



ドップラー効果

救急車が近づくときや遠ざかるときに、聞こえる振動数が変化する。また、電車に乗っていると踏み切りの音が近づくときと遠ざかるときで変化する。このように、音源や観測者が移動することによって、本来伝わる音が高くなったり、低くなったりする現象（振動数・周波数が変化する現象）をドップラー効果という。



遠ざかるとき

低い音

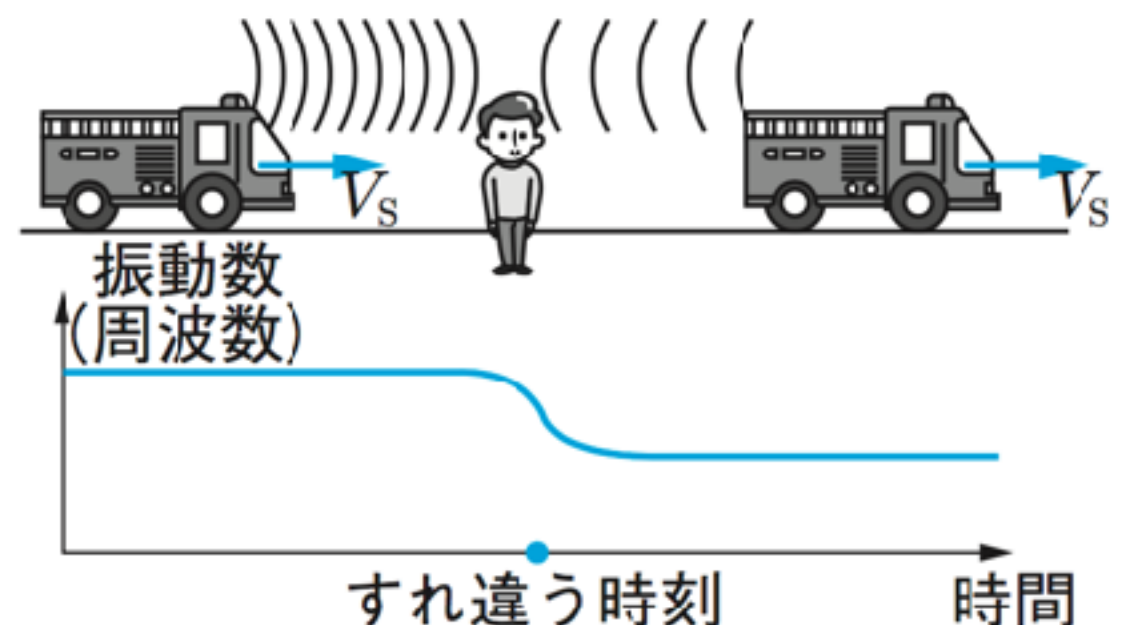
近づくとき

高い音

赤方偏移

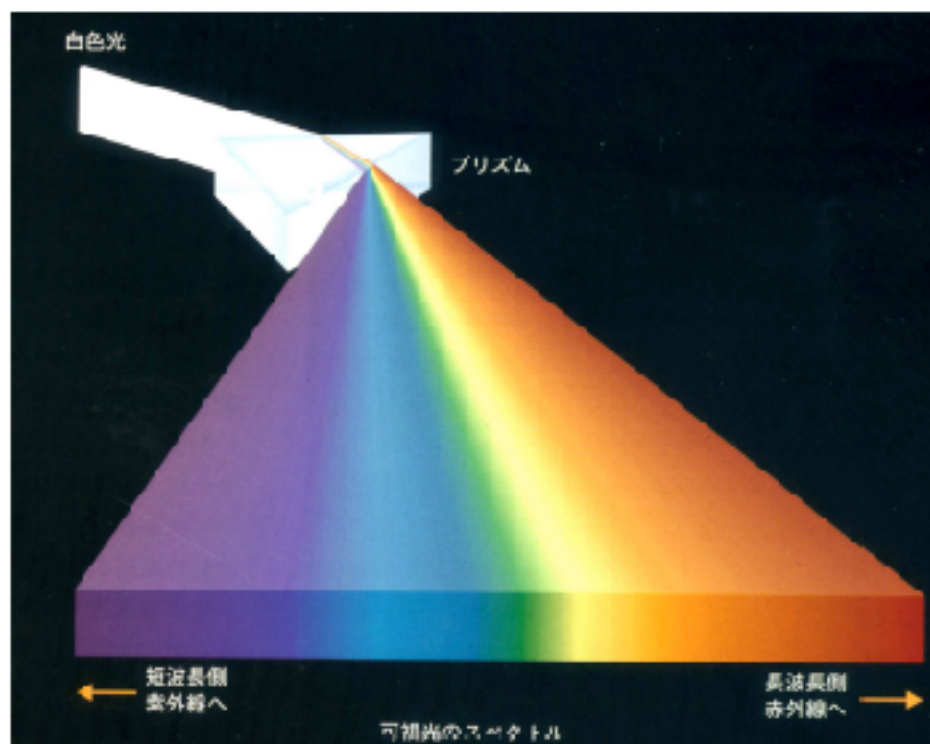
光

青方偏移

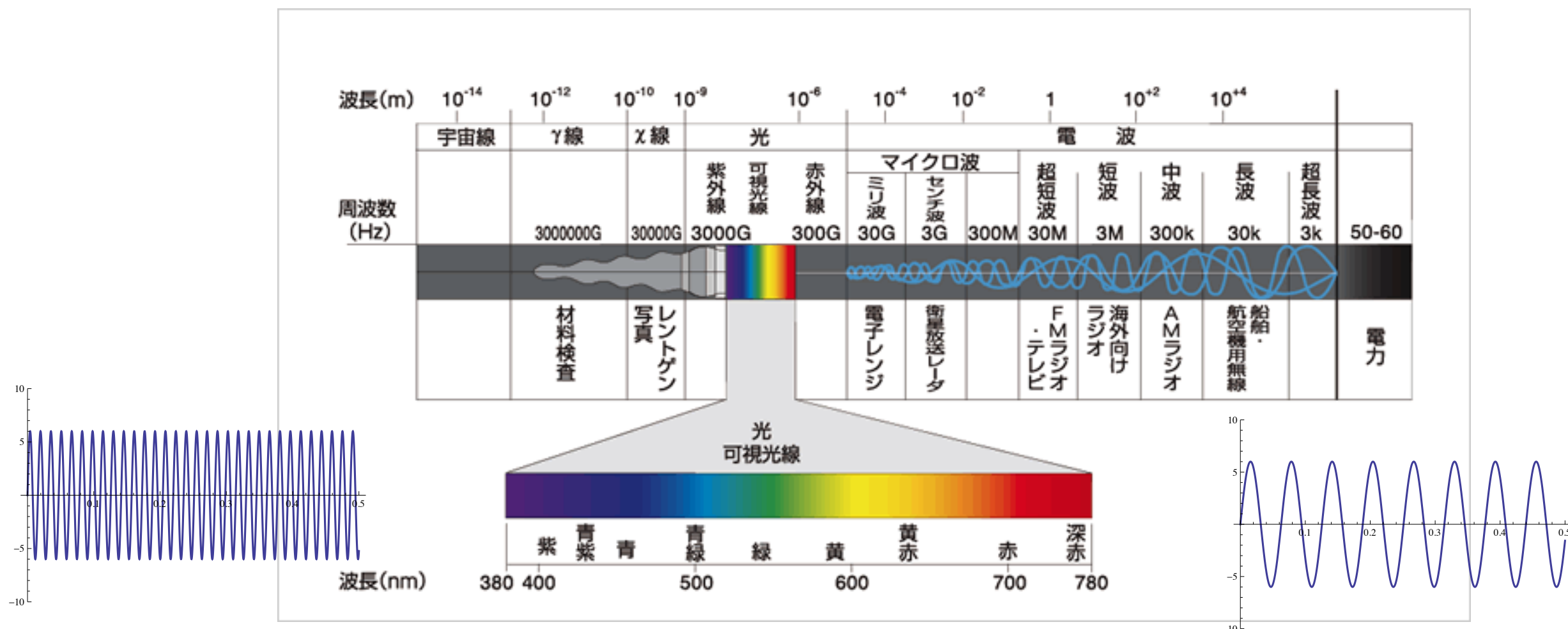


光の色=振動数

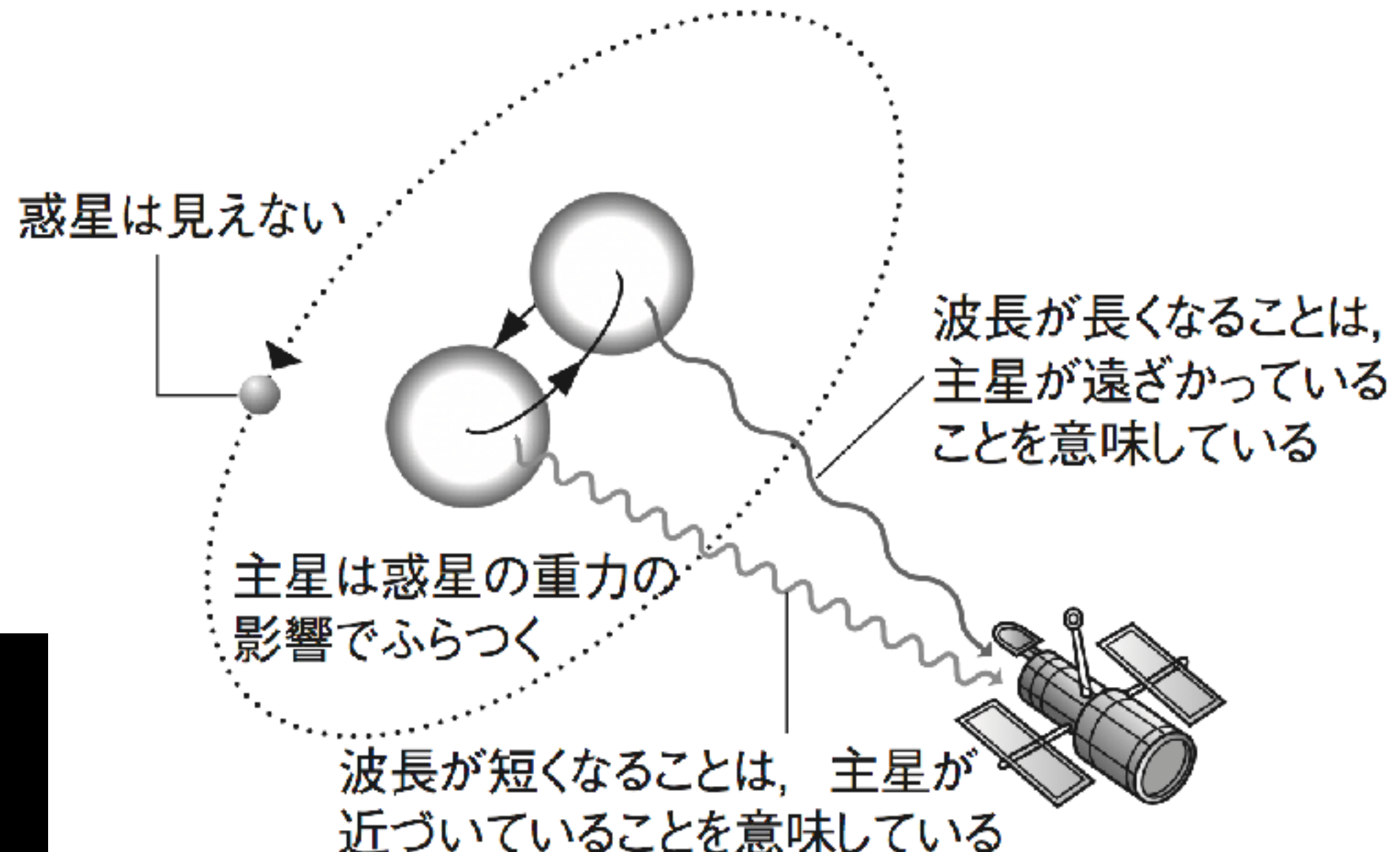
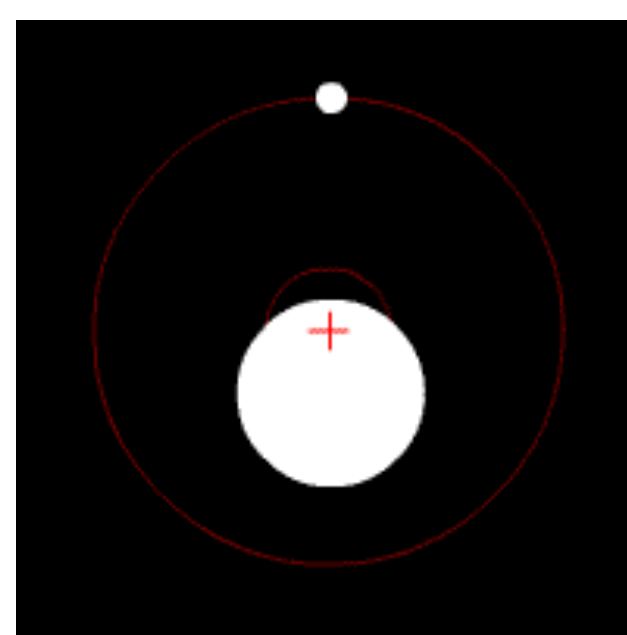
●電磁波の分類



名称	波長(振動数)	おもな利用例
γ線	$1 \times 10^{-10} \text{m}$ 以下	食品照射、医療
X線	$1 \times 10^{-11} \sim 1 \times 10^{-8} \text{m}$	X線写真、医療
紫外線	$1 \times 10^{-9} \sim 3.8 \times 10^{-7} \text{m}$	殺菌、化学作用の利用
可視光線	$3.8 \times 10^{-7} \sim 7.7 \times 10^{-7} \text{m}$	光学器械
赤外線	$7.7 \times 10^{-7} \sim 1 \times 10^{-3} \text{m}$	赤外線写真、暖房
電波	マイクロ波	$10^{-4} \sim 1 \text{m}$ ($3 \times 10^3 \sim 3 \times 10^{12} \text{Hz}$) 携帯電話、電子レンジ
	超短波	$1 \sim 10 \text{m}$ ($3 \times 10^7 \sim 3 \times 10^9 \text{Hz}$) FMラジオ放送、テレビ放送
	短波	$10 \sim 10^2 \text{m}$ ($3 \times 10^5 \sim 3 \times 10^7 \text{Hz}$) 短波ラジオ放送
	中波	$10^2 \sim 10^3 \text{m}$ ($3 \times 10^5 \sim 3 \times 10^6 \text{Hz}$) AMラジオ放送
	長波	$10^3 \sim 10^4 \text{m}$ ($3 \times 10^4 \sim 3 \times 10^5 \text{Hz}$) 飛行機の通信、電波時計
	超長波	$10^4 \sim 10^5 \text{m}$ ($3 \times 10^3 \sim 3 \times 10^4 \text{Hz}$)



視線速度法（ドップラー法）



1995年10月、太陽系外惑星の発見

1995年10月6日

ジュネーブ天文台の

ミシェル・マイヨールとディディエ・ケロー

ペガスス座51番星 (51 Pegasi) = 地球から50光年先

木星クラスの質量を持った惑星の存在を確認

ドップラー法

主星から0.05天文単位

(太陽-水星の距離の1/6)

4.2日で公転

質量は木星の半分

表面は1000°C

「ホット・ジュピター」 (熱い木星)



太陽系外惑星としては初めて発見された
ペガスス座51番星b (想像図)

2019年のノーベル賞 受賞者

物理学賞



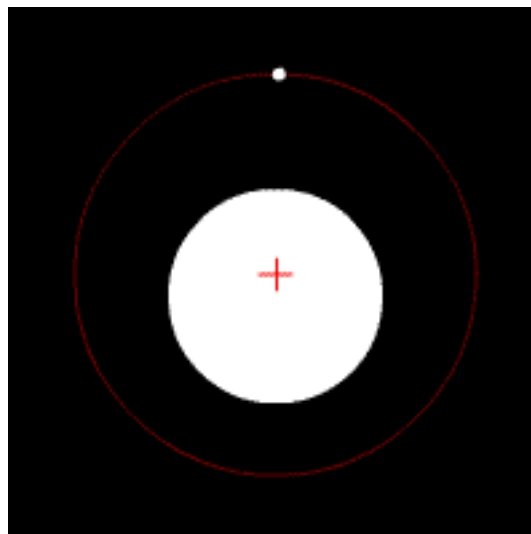
James Peebles, Michel Mayor, Didier Queloz

ピーブルズ

ビッグバン宇宙論の基礎理論の確立に大きな貢献をした。宇宙マイクロ波背景輻射(CMB)の温度非等方性を定量的に計算する方法論、宇宙誕生約3分後に形成されたヘリウムの存在量、約38万年後に起こった宇宙の再結合（電離水素が中性化する過程）、膨張宇宙における密度揺らぎの線型成長とその後の非線形成長モデル、相関関数を用いた銀河分布の統計的記述などなど。

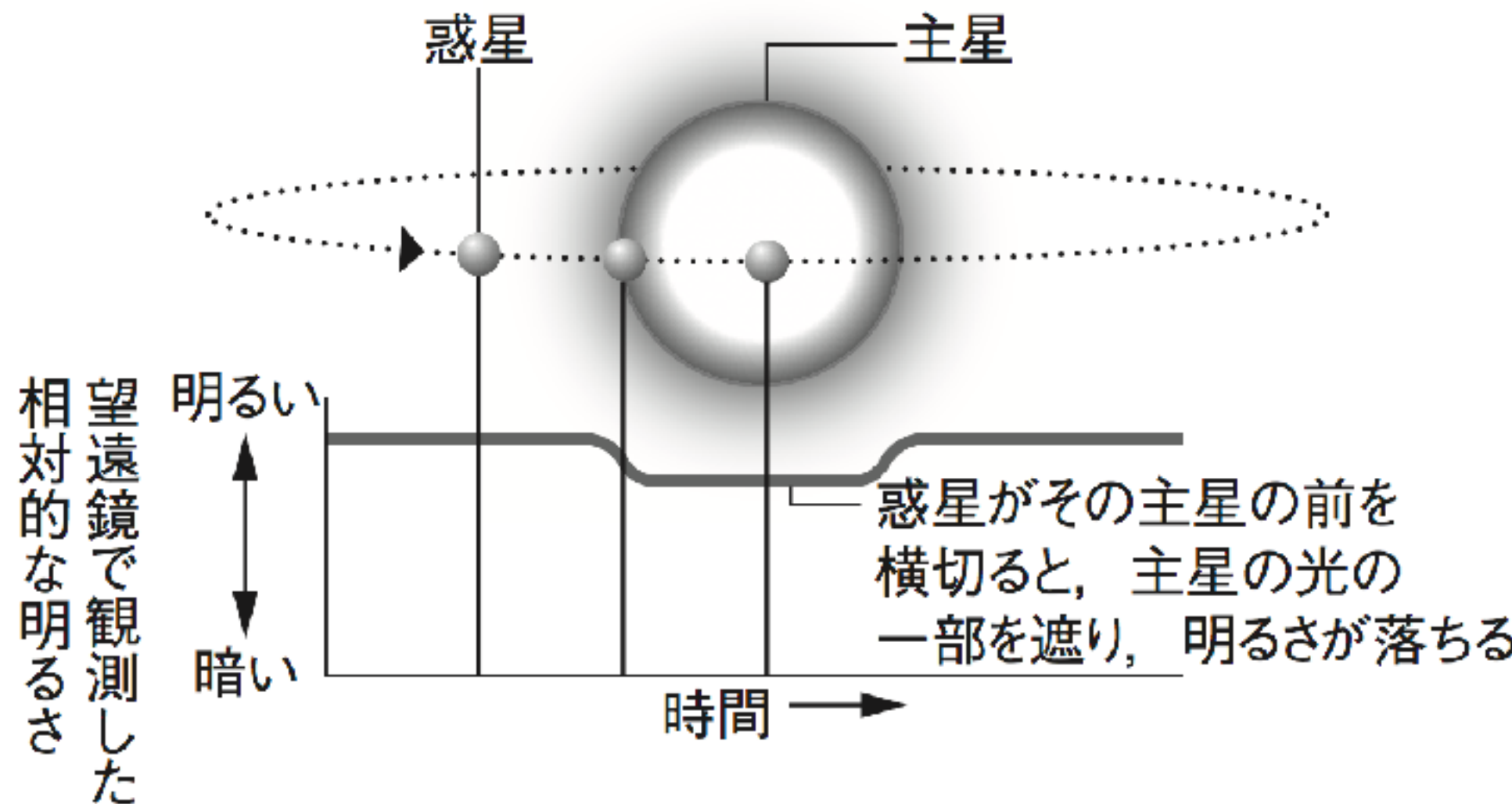
宇宙の進化、宇宙における地球の位置づけについて
理解を改めた貢献

"for contributions to our understanding of the evolution of the universe and Earth's place in the cosmos."

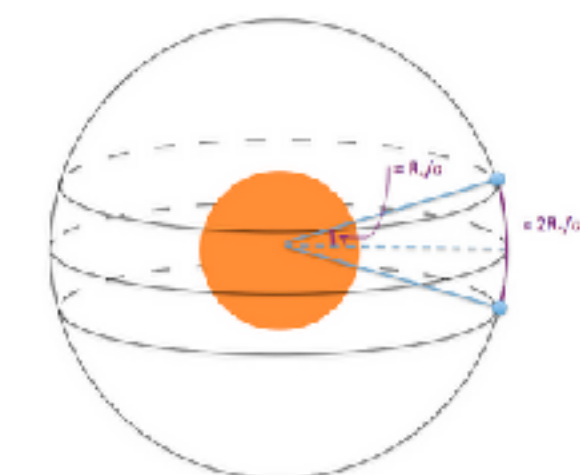


マイヨールとケロー、ペガスス座51番星のドップラー効果から、太陽系外惑星を初めて発見。

食検出法（トランジット法）

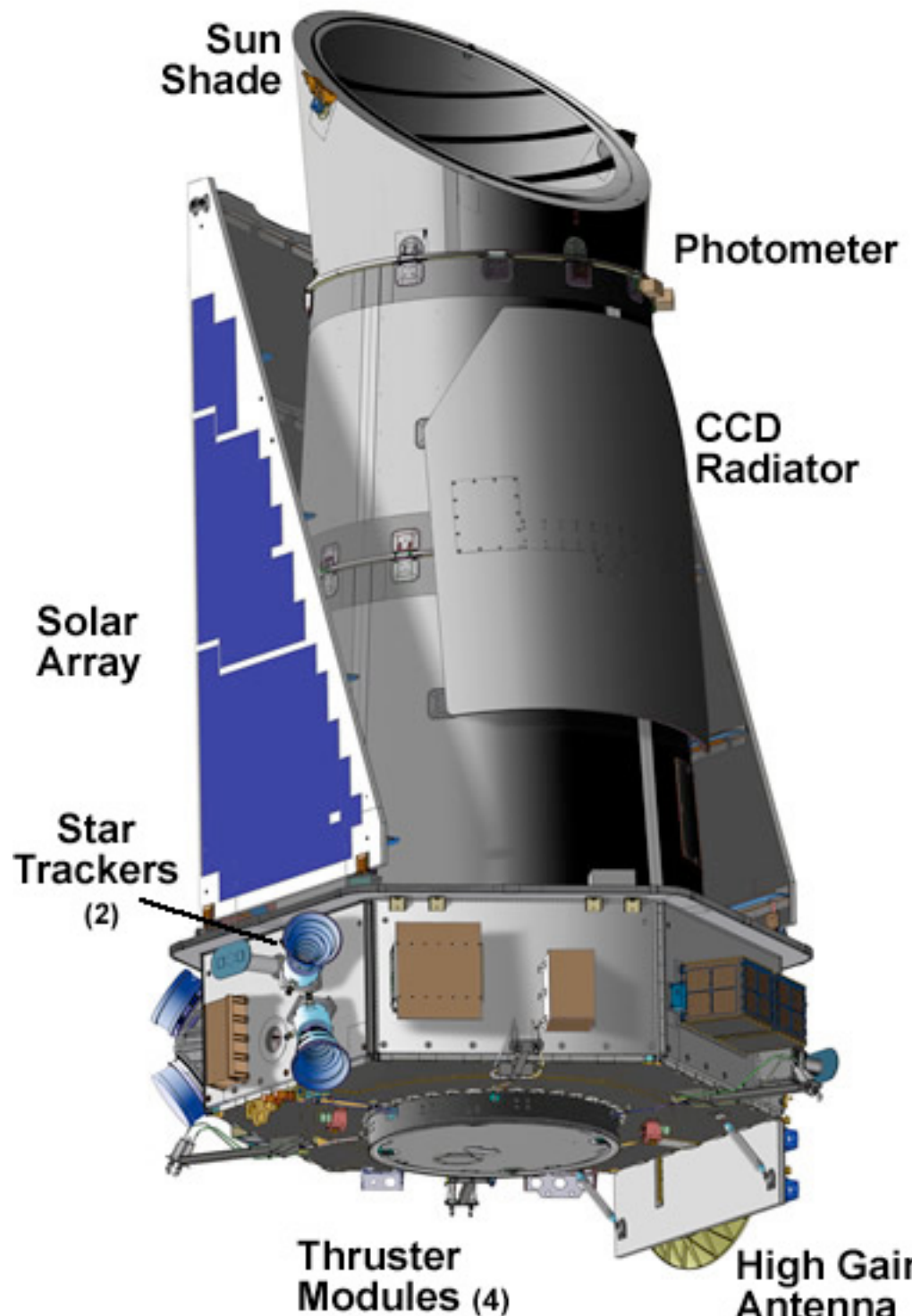


	公転周期 P(yr)	公転長半径 a (AU)	トランジット時間 (hr)	トランジット深度 (%)	幾何学的確率(%)	発生見込み角度 (deg)
	orbital period	semi-major axis	transit duration	transit depth	geometric probabi	inclination invarian
Mercury	0.241	0.39	8.1	0.0012	1.19	6.33
Venus	0.615	0.72	11.0	0.0076	0.65	2.16
Earth	1.00	1.00	13.0	0.0084	0.47	1.65
Mars	1.88	1.52	16.0	0.0024	0.31	1.71
Jupiter	11.86	5.20	29.6	1.01	0.089	0.39
Saturn	29.5	9.5	40.1	0.75	0.049	0.87
Uranus	84.0	19.2	57.0	0.135	0.024	1.09
Neptune	164.8	30.1	71.3	0.127	0.015	0.72



http://certificate.ultra.ucl.ac.uk/modules/year_one/NASA_Kepler/character.html

ケプラー衛星



NASA
地球型の太陽系外惑星探査

2009年3月9日打ち上げ

太陽周回軌道, 主鏡口径1.4m

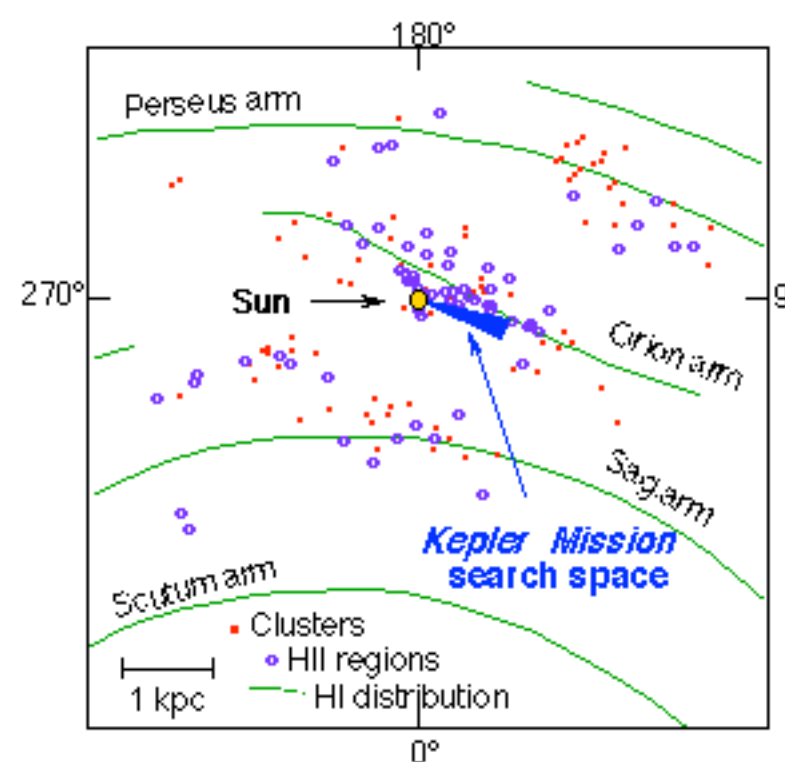
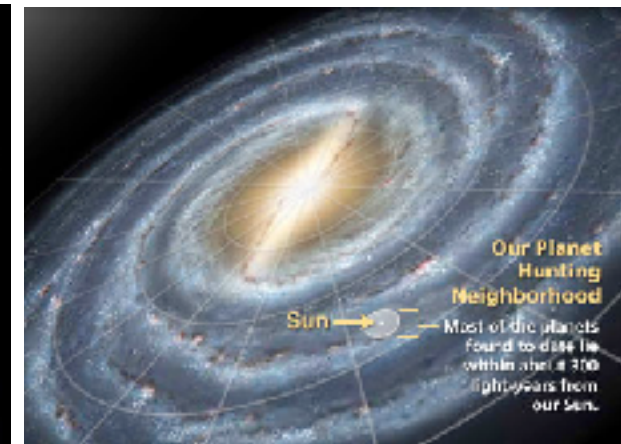
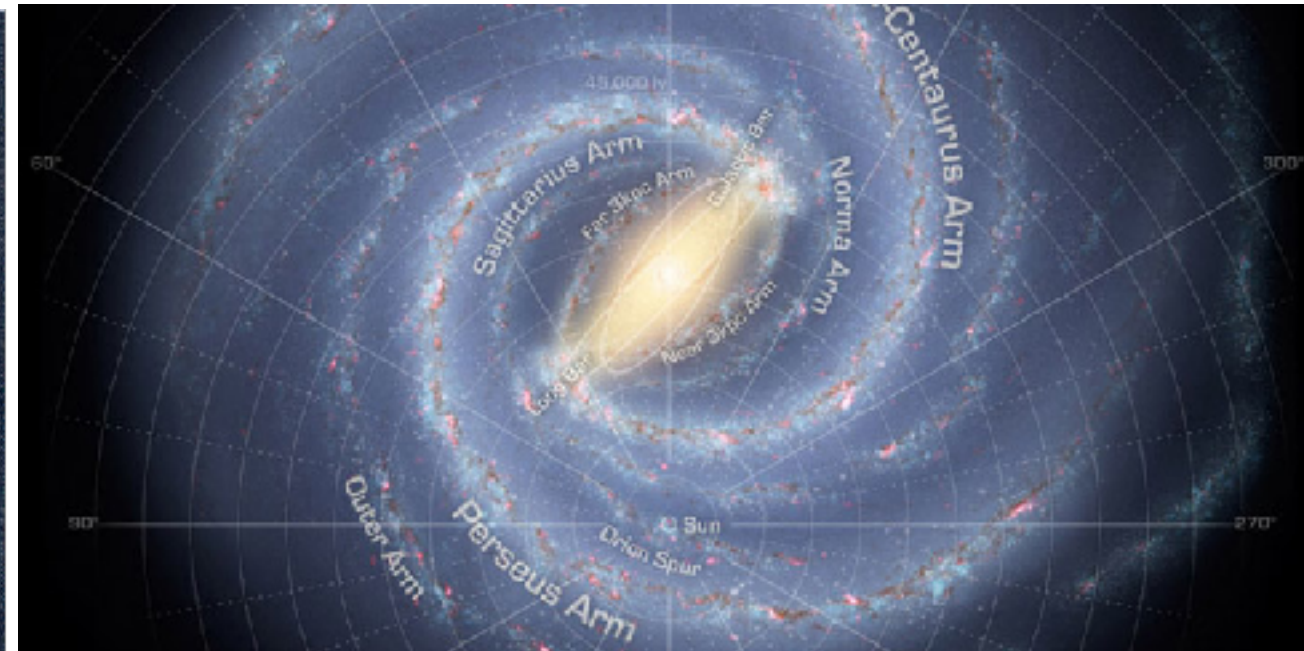
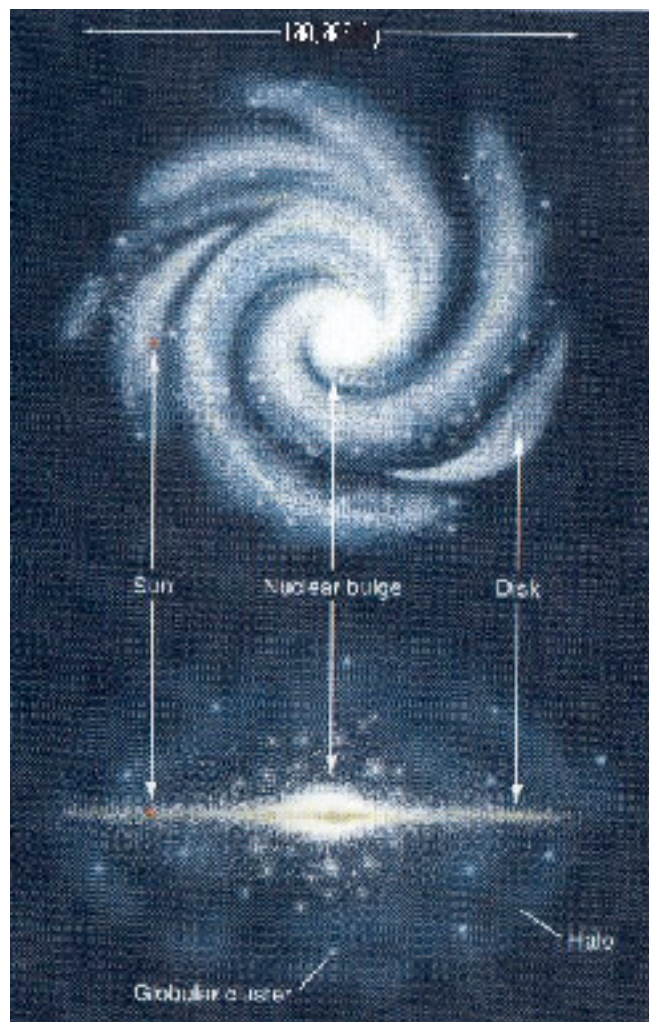
はくちょう座の方向,
常時15万個の恒星観測



トランジット法
主星を隠す時に生じる周期的な明るさ
の変動を検出すること

<http://kepler.nasa.gov/Mission/QuickGuide/>

ケプラー衛星の探査範囲



The figure shows what we believe to be the local structure of our Galaxy, the Milky Way. The stars sampled are similar to the immediate solar neighborhood. Young stellar clusters, ionized hydrogen (HII) regions and the neutral hydrogen (HI) distribution define the arms of the Galaxy.

ケプラー衛星ミッション、結果リリース

KEPLER DISCOVERS FIVE EXOPLANETS

2010年1月

[+ Play Audio](#) | [+ Download Audio](#) | [+ Join mailing list](#)

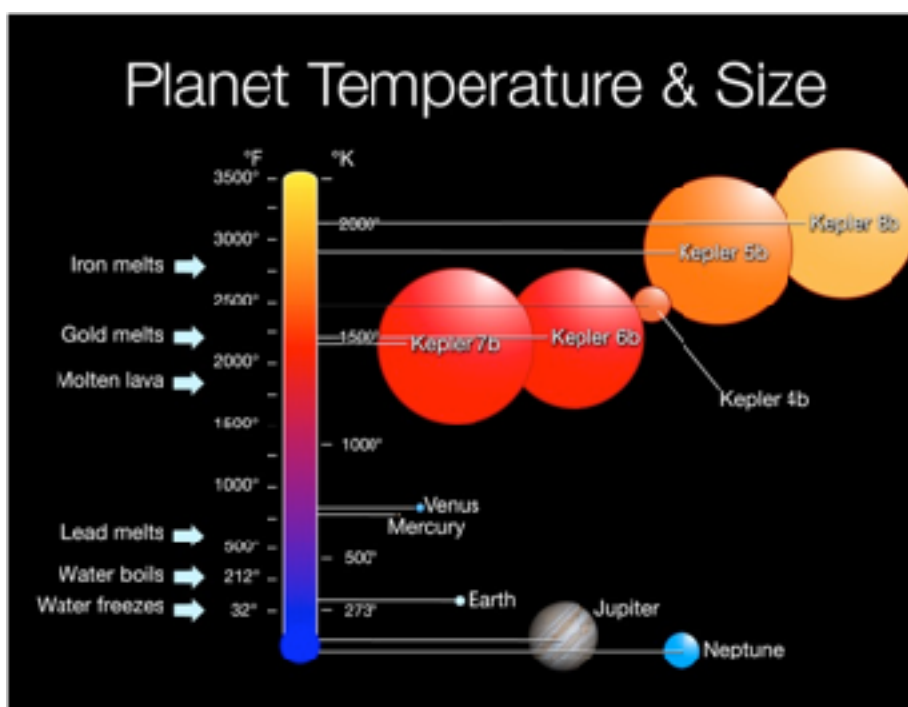
January 4, 2010: NASA's Kepler space telescope, designed to find Earth-size planets in the habitable zone of sun-like stars, has discovered its first five new exoplanets.

Named Kepler 4b, 5b, 6b, 7b and 8b, the planets were announced Monday, Jan. 4, by the members of the Kepler science team during a [news briefing](#) at the American Astronomical Society meeting in Washington.

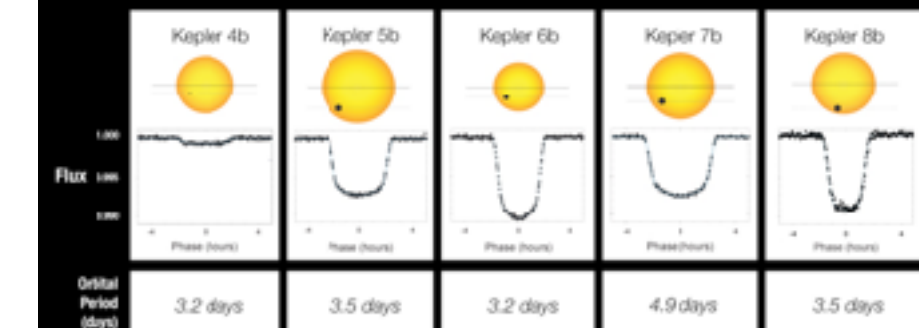
Right: An artist's concept of the Kepler space telescope on a mission to discover habitable planets outside our own Solar System. [\[more →\]](#)

"The discoveries show that our science instrument is working well," says William Borucki of NASA's Ames Research Center in Moffett Field, Calif. Borucki is the mission's science principal investigator. "Indications are that Kepler will meet all its science goals."

The five planets are quite a bit larger than Earth. Known as "hot Jupiters" because of their high masses and extreme temperatures, the new exoplanets range in size from similar to Neptune to larger than Jupiter. They have orbits ranging from 3.2 to 4.9 days. Estimated temperatures of the planets range from 2,200 to 3,000 degrees Fahrenheit, hotter than molten lava and much too hot for life as we know it.

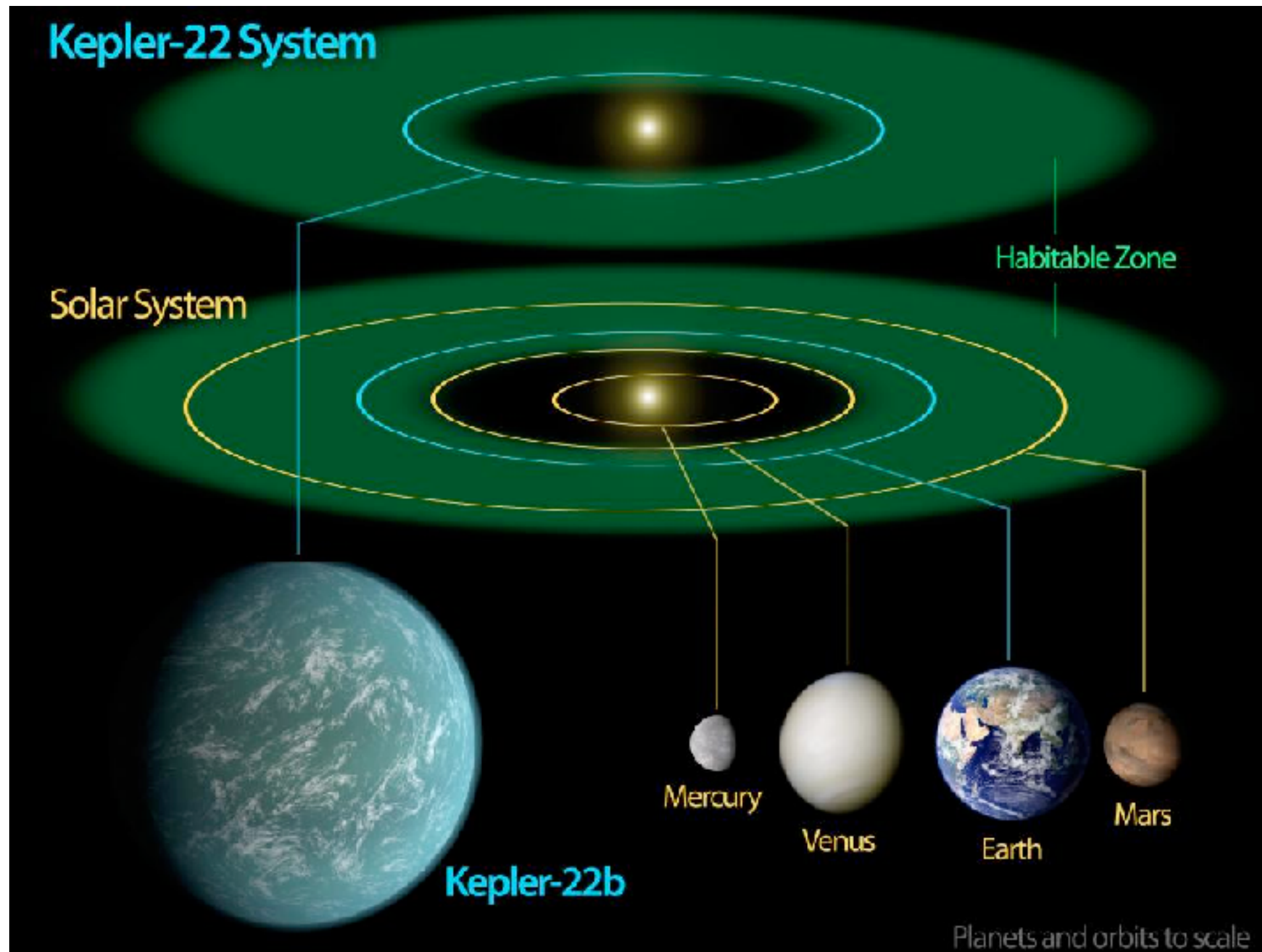


Transit Light Curves



ケプラー衛星、ハビタブル惑星を発見

2011年12月



This diagram compares our own solar system to Kepler-22, a star system containing the first "habitable zone" planet discovered by NASA's Kepler mission. The habitable zone is the sweet spot around a star where temperatures are right for water to exist in its liquid form. Liquid water is essential for life on Earth.

Kepler-22's star is a bit smaller than our sun, so its habitable zone is slightly closer in. The diagram shows an artist's rendering of the planet comfortably orbiting within the habitable zone, similar to where Earth circles the sun. Kepler-22b has a yearly orbit of 289 days. The planet is the smallest known to orbit in the middle of the habitable zone of a sun-like star. It's about 2.4 times the size of Earth.

Image credit: NASA Ames/JPL-Caltech

http://www.nasa.gov/mission_pages/kepler/multimedia/images/kepler-22b-diagram.html

ケプラー衛星ミッション、結果リリース

2013年

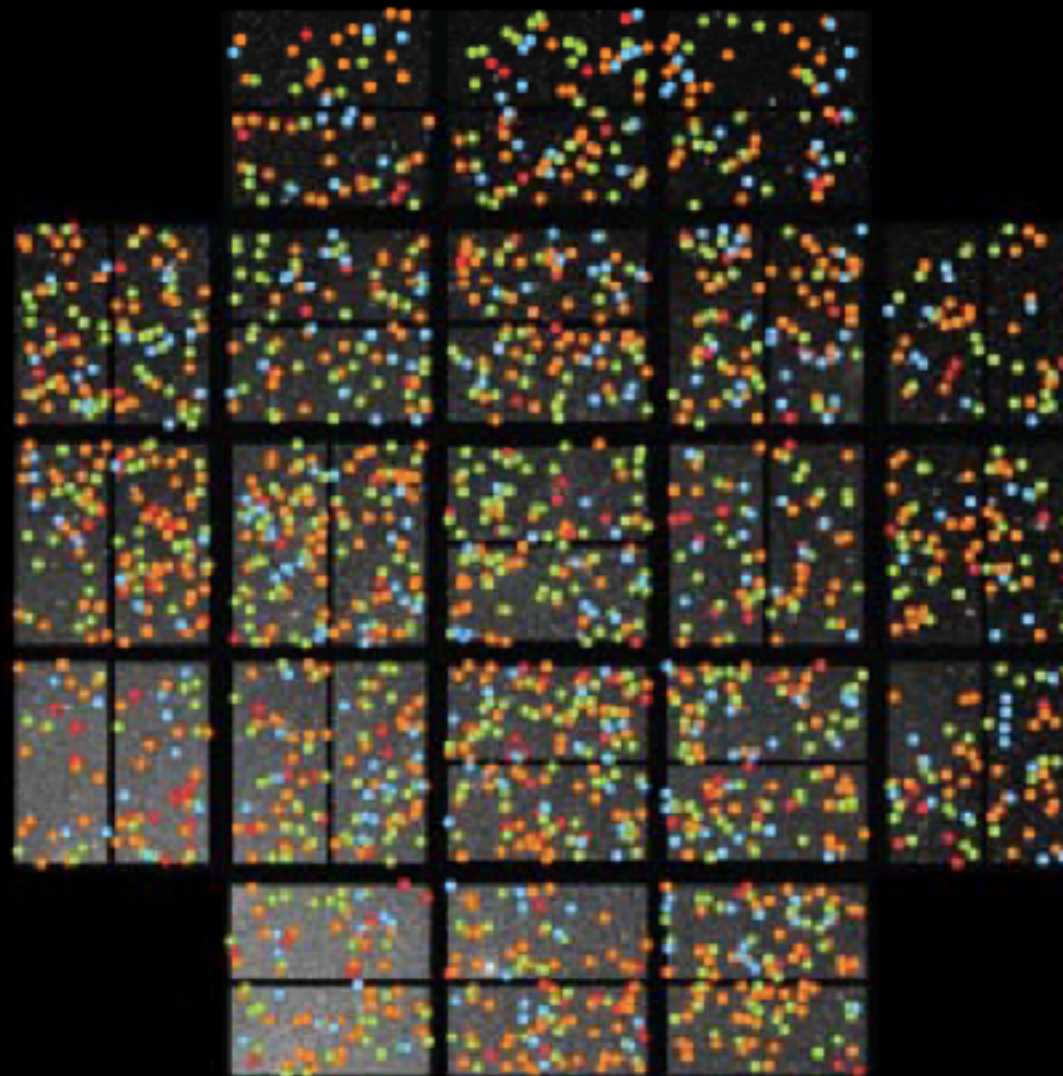
Kepler planet candidates discovered in the first 22 months

- Earth size

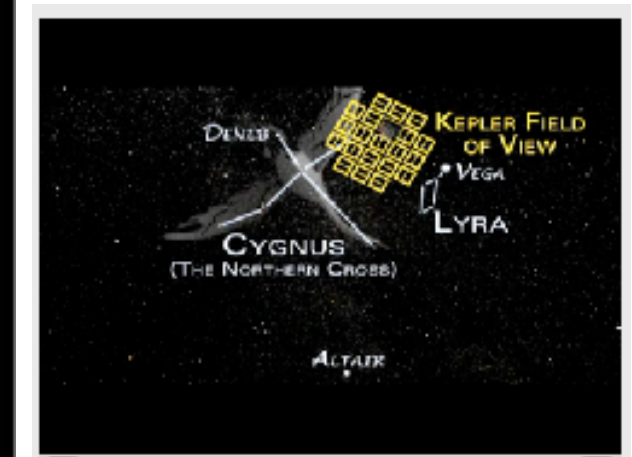
- Super-Earth size

- Neptune size

- Jupiter size

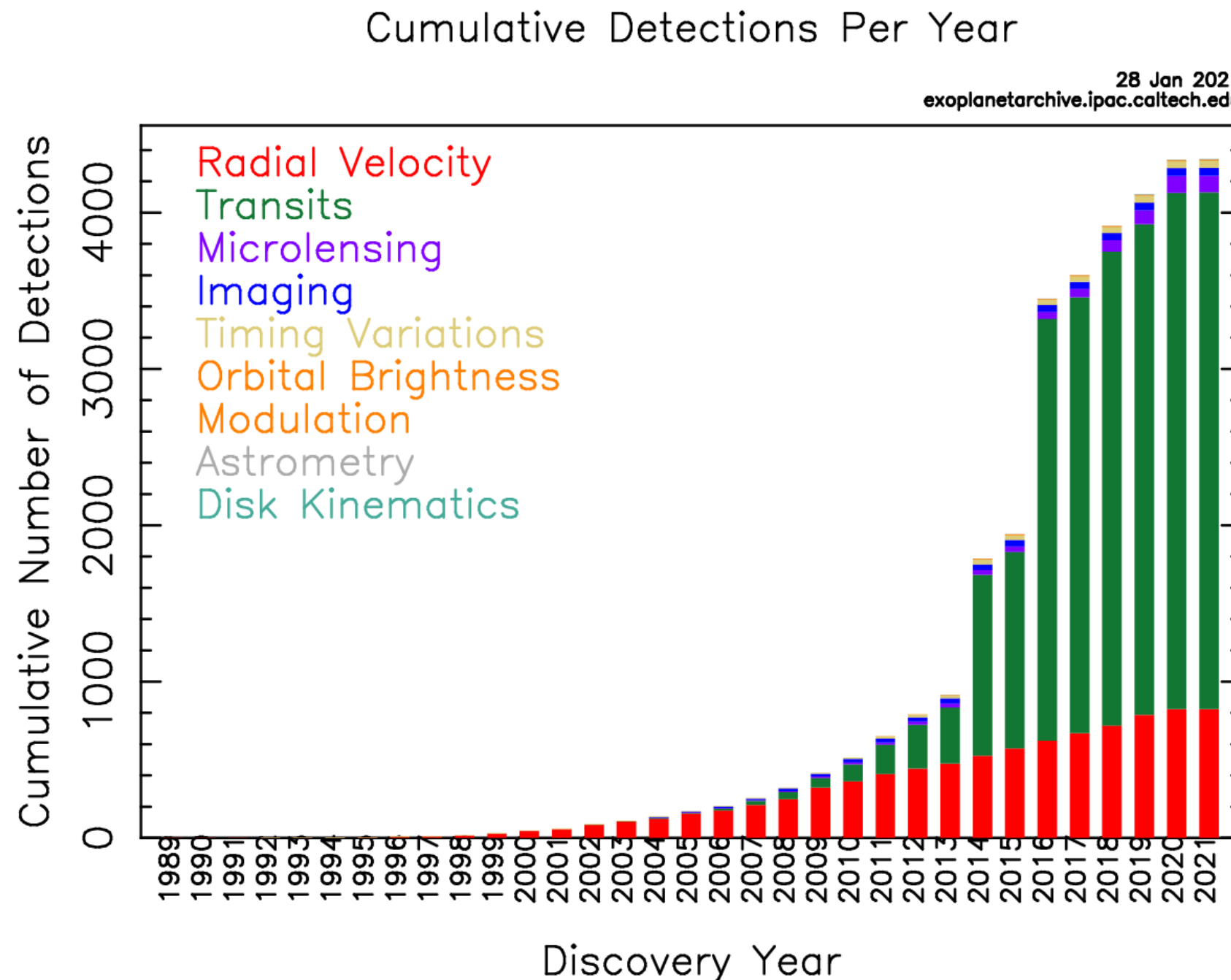


2740 Kepler planet candidates (122 confirmed) Batalha+2013



The figure shows what we believe to be the local structure of our Galaxy, the Milky Way. The stars sampled are similar to the immediate solar neighborhood. Young stellar clusters, ionized hydrogen (HII) regions and the neutral hydrogen (HI) distribution define the arms of the Galaxy.

太陽系外惑星 発見数（累積）



2021年2月14日現在 4341個。

恒星の 1/3 には惑星が発見されている。

<https://exoplanetarchive.ipac.caltech.edu/exoplanetplots/>

太陽系外惑星 発見数

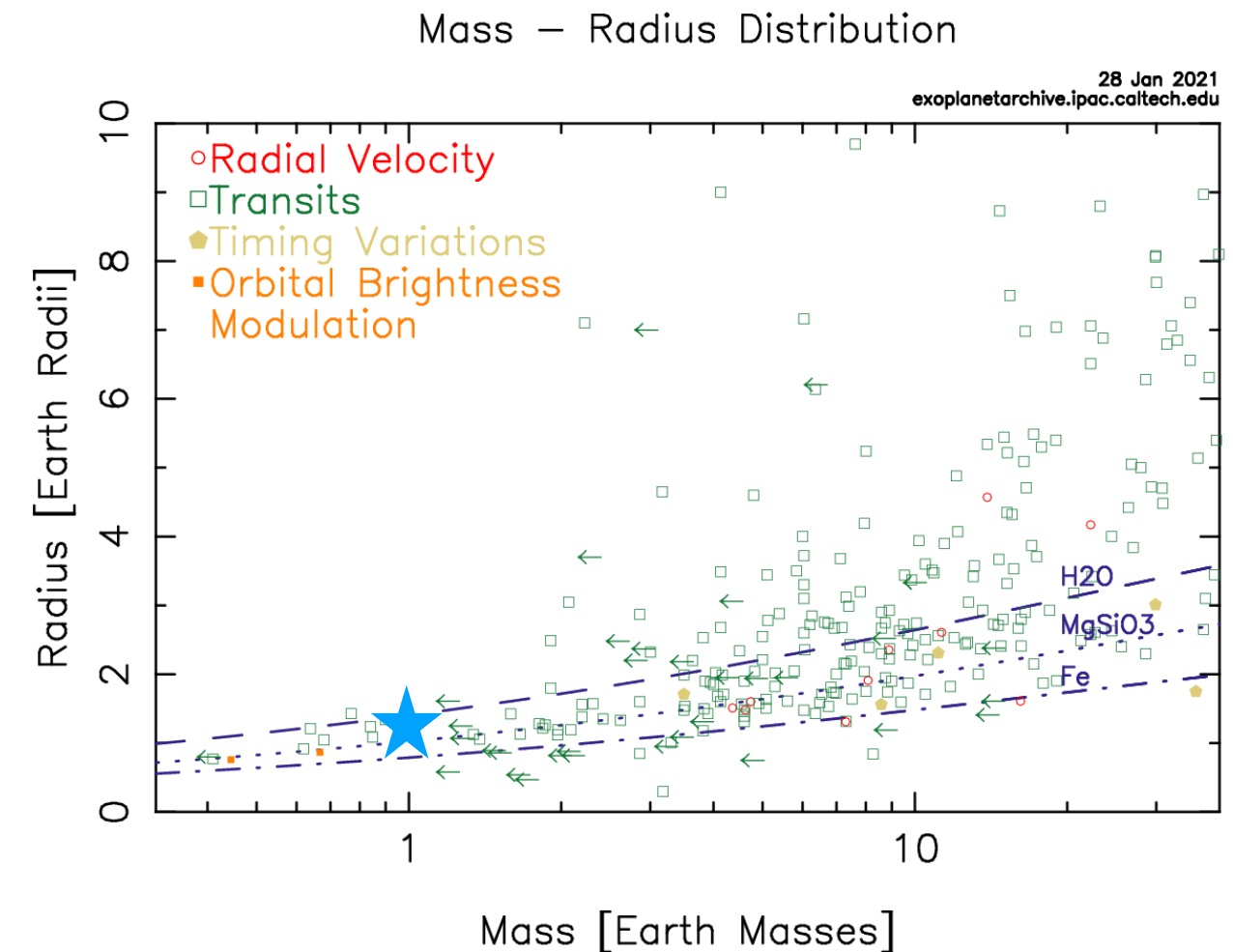
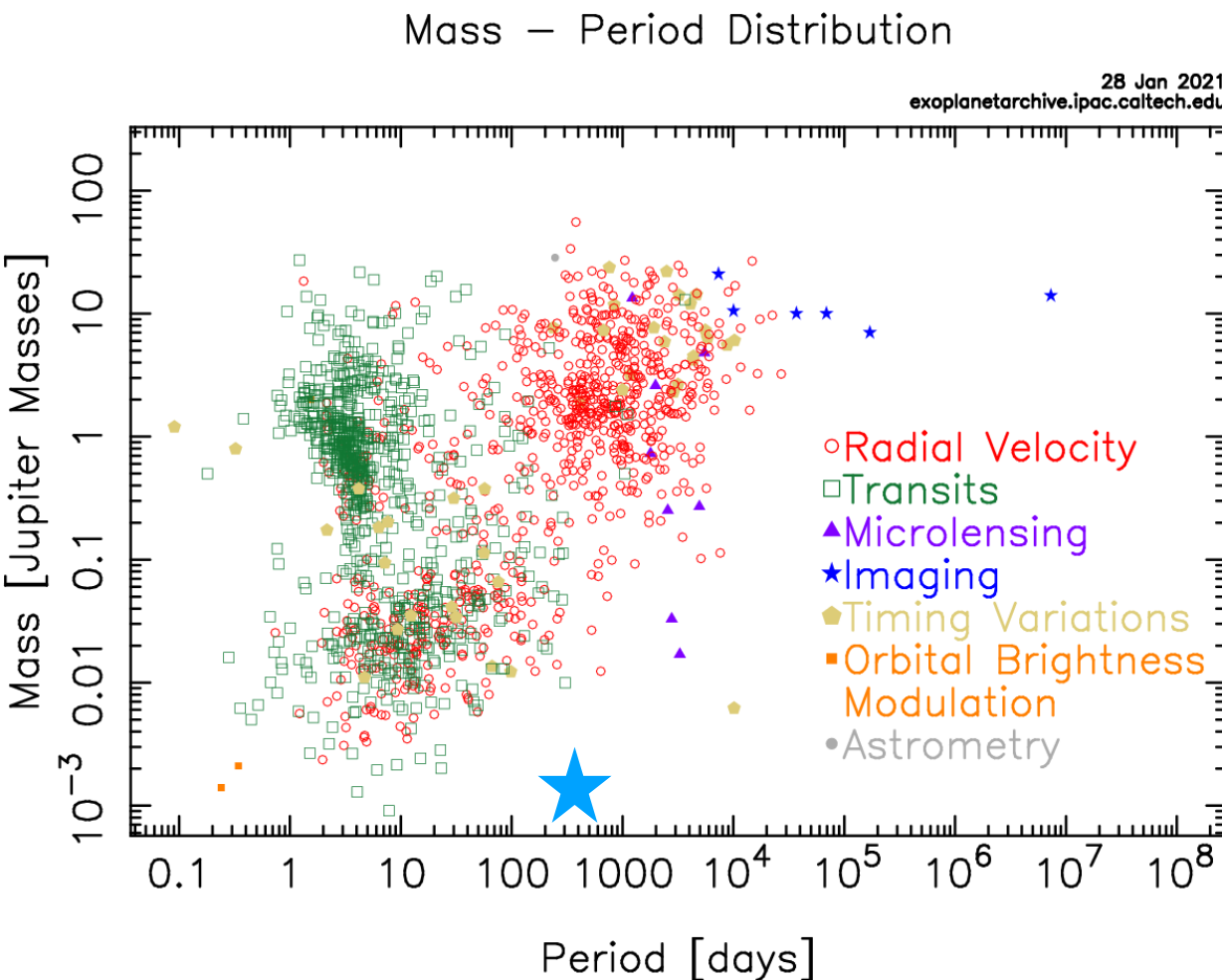
2021年2月14日現在

表 5.4 これまでに発見された太陽系外惑星の数 (2018 年 3 月 10 日現在).
[\[http://exoplanetarchive.ipac.caltech.edu/\]](http://exoplanetarchive.ipac.caltech.edu/)

	全観測	Kepler	K2	発見された方法	発見数
確認された太陽系外惑星 (confirmed planets)*	3706 4341	2342 2394	307 450	Astrometry	1
複数の惑星からなる系 (multi-planet systems)	612 1864			Imaging	44 45
ハビタブルゾーンにある星 (確定 + 候補天体)		290 361		Radial Velocity	669 751
候補天体 (Kepler/K2 Candidates)		4496 2366	479 889	Transit	2900 3059
				Transit timing variations	15 16
				Eclipse timing variations	9
				Microlensing	54 75
				Pulsar timing variations	6
				Pulsation timing variations	2
				Orbital brightness modulations	6

<http://exoplanetarchive.ipac.caltech.edu>

太陽系外惑星 公転周期と質量分布



2021年2月14日現在 4341個.
恒星の 1/3 には惑星が発見されている。

<https://exoplanetarchive.ipac.caltech.edu/exoplanetplots/>

太陽系から一番近い星に系外惑星を発見

太陽系にもっとも近い4.3光年先の恒星系リギルケンタウルス（アルファケンタウリ）に、地球と同じくらいの質量の惑星が見つかった。また、4連星の中にある惑星の発見も発表されている。

リギルケンタウルスに惑星が存在するかどうかは19世紀から議論されてきたが、最近まで確認できなかった。今回初めて、チリにあるラシーヤ天文台のHARPS（高精度視線速度系外惑星探査装置）と3.6m望遠鏡を用いた観測で、リギルケンタウルスBの周りを回る惑星が発見された。この惑星は、主星からは600万km程度離れていて、3.2日の周期で公転している。太陽系で言えば、水星よりも内側の軌道を回っていて、生命が存在するには熱すぎると考えられる。

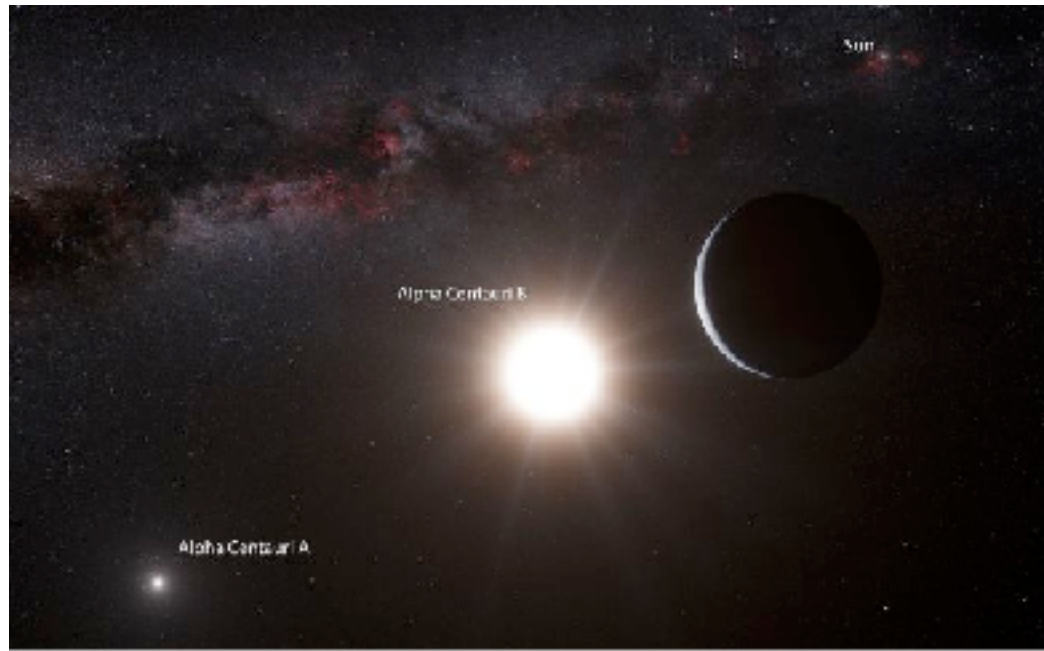
視線速度法（ドップラーシフト法）によって観測されたものだが、今回は、秒速51cm（時速1.8km）という極めて小さい動きを検出したので、視線速度観測としては史上最高精度の観測。

<http://jp.arxiv.org/abs/1210.3612>

Planet Hunters: A Transiting Circumbinary Planet in a Quadruple Star System

Megan E. Schwamb, Jerome A. Orosz, Joshua A. Carter, William F. Welsh, Debra A. Fischer, Guillermo Torres, Andrew W. Howard, Justin R. Crepp, William C. Keel, Chris J. Lintott, Nathan A. Kaib, Dirk Terrell, Robert Gagliano, Kian J. Jek, Michael Parrish, Arfon M. Smith, Stuart Lynn, Robert J. Simpson, Matthew J. Giguere, Kevin Schawinski
 (Submitted on 12 Oct 2012)

We report the discovery and confirmation of a transiting circumbinary planet (PH1) around KIC 4862625, an eclipsing binary in the Kepler field. The planet was discovered by volunteers searching the first six Quarters of publicly available Kepler data as part of the Planet Hunters citizen science project. Transits of the planet across the larger and brighter of the eclipsing stars are detectable by visual inspection every ~137 days, with seven transits identified in Quarters 1-11. The physical and orbital parameters of both the host stars and planet were obtained via a photometric-dynamical model, simultaneously fitting both the measured radial velocities and the Kepler light curve of KIC 4862625. The 6.18 ± 0.17 Earth radii planet orbits outside the 20-day orbit of an eclipsing binary consisting of an F dwarf (1.734 ± 0.044 Solar radii, 1.528 ± 0.087 Solar masses) and M dwarf (0.378 ± 0.023 Solar radii, 0.408 ± 0.024 solar masses). For the planet, we find an upper mass limit of 169 Earth masses (0.531 Jupiter masses) at the 99.7% confidence level. With a radius and mass less than that of Jupiter, PH1 is well within the planetary regime. Outside the planet's orbit, at ~1000 AU, a previously unknown visual binary has been identified that is bound to the planetary system, making this the first known case of a quadruple star system with a transiting planet.



リギルケンタウルスは南半球ではよく見える明るい星（想像図）

<http://www.eso.org/public/news/eso1241/>

http://www.nasa.gov/mission_pages/kepler/news/kepler-ph1.html

太陽系から一番近い星にハビタブル惑星を発見



European
Southern
Observatory

eso1629 – Science Release

SPACE SCOOP

Planet Found in Habitable Zone Around Nearest Star

Pale Red Dot campaign reveals Earth-mass world in orbit around Proxima Centauri

24 August 2016



Astronomers using ESO telescopes and other facilities have found clear evidence of a planet orbiting the closest star to Earth, Proxima Centauri. The long-sought world, designated Proxima b, orbits its cool red parent star every 11 days and has a temperature suitable for liquid water to exist on its surface. This rocky world is a little more massive than the Earth and is the closest exoplanet to us — and it may also be the closest possible abode for life outside the Solar System. A paper describing this milestone finding will be published in the journal Nature on 25 August 2016.

プロキシマ・ケンタウリ

4.25光年

プロキシマ・ケンタウリb

0.05 au（約750万 km）の距離

を11.2日で公転

地球質量の1.3倍

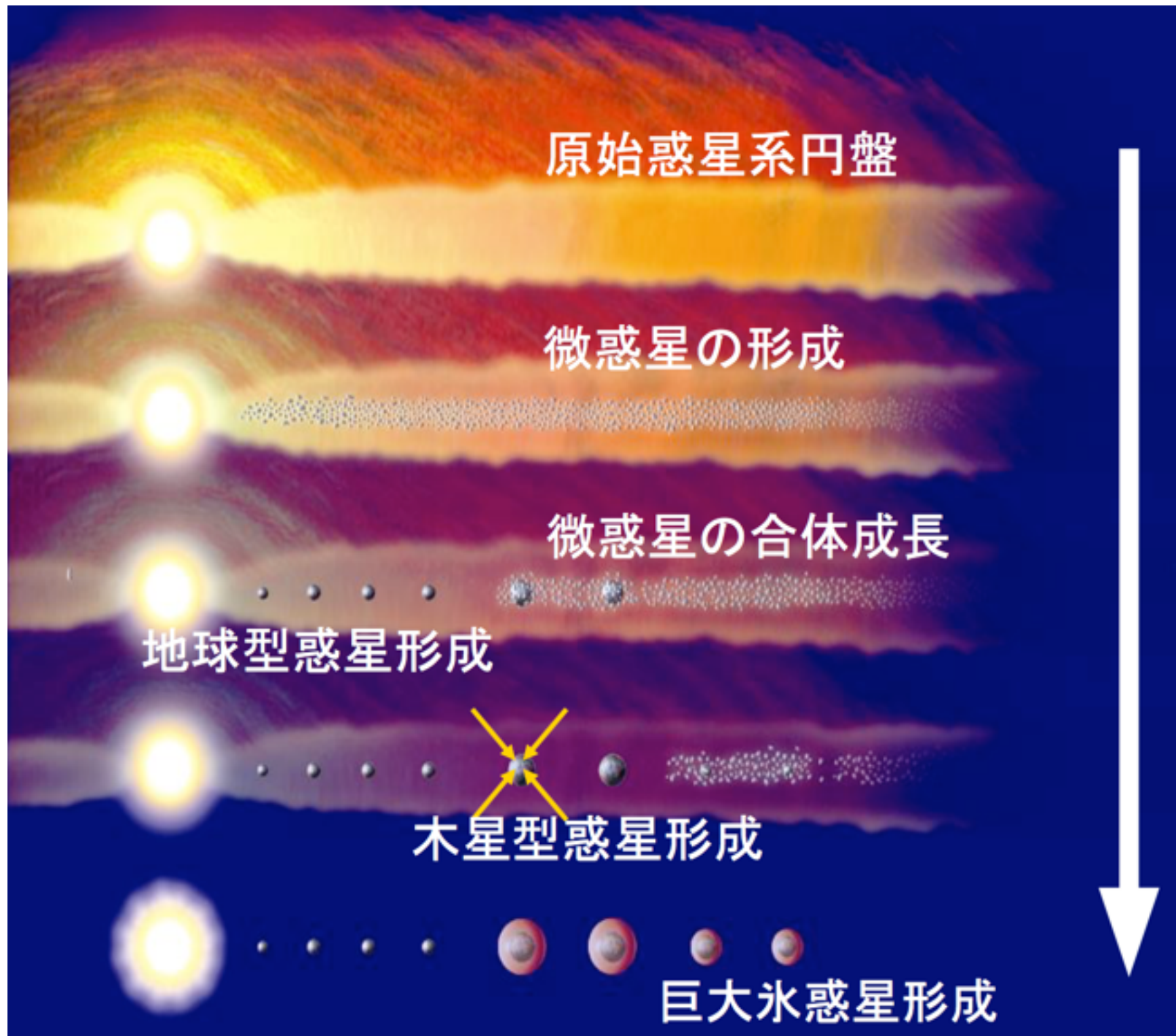
ハビタブルゾーン内

液体の水を有する可能性

<http://www.eso.org/public/news/eso1629/>

At a distance of 1.295 parsecs, the red dwarf Proxima Centauri (a Centauri C, GL 551, HIP 70890 or simply Proxima) is the Sun's closest stellar neighbour and one of the best-studied low-mass stars. It has an effective temperature of only around 3,050 kelvin, a luminosity of 0.15 per cent of that of the Sun, a measured radius of 14 per cent of the radius of the Sun and a mass of about 12 per cent of the mass of the Sun. Although Proxima is considered a moderately active star, its rotation period is about 83 days (ref. 3) and its quiescent activity levels and X-ray luminosity are comparable to those of the Sun. Here we report observations that reveal the presence of a small planet with a minimum mass of about 1.3 Earth masses orbiting Proxima with a period of approximately 11.2 days at a semi-major-axis distance of around 0.05 astronomical units. Its equilibrium temperature is within the range where water could be liquid on its surface. *Nature*, 2016, vol. 536, p. 437-440

原始惑星円盤内: 塵 → 微惑星 → 原始惑星 → 惑星



©Newton

これまでの太陽系形成モデルに修正が迫られる

最近の宇宙研究の進展から

1. 太陽系内惑星探査
2. 太陽系外惑星探査 2018年ノーベル物理学賞
3. **ブラックホールの観測** 2020年ノーベル物理学賞
4. 重力波観測の現状 2017年ノーベル物理学賞
5. 時計を使った相対性理論の検証

<http://www.oit.ac.jp/is/shinkai/>

2021/3/10 サークルすばる@大阪中央会館



2020年のノーベル物理学賞 受賞者

<http://www.nobelprize.org/>

“ブラックホール”

ロジャー・ペンローズ (89) 英オックスフォード大
「ブラックホール形成が一般相対性理論におけるごく自然な帰結となることの発見に対して」

ラインハルト・ゲンツェル (68) 独マックスプランク研究所
アンドレア・ゲズ (55) 米カリフォルニア大ロサンゼルス校
「天の川銀河の中心に超大質量なコンパクト天体を発見したことに対して」



Roger Penrose "for the discovery that black hole formation is a robust prediction of the general theory of relativity"

Reinhard Genzel and Andrea Ghez "for the discovery of a supermassive compact object at the centre of our galaxy".



2020年のノーベル物理学賞

～脚注の多い解説～

真貝寿明（大阪工業大学）

論座 RONZA

講義の
録

16536 本の記事が読み

論座とは? よくある質問 お問い合わせ

政治・国際 経済・雇用 社会・スポーツ 科学・環境 文化・エン

科学政策 科学書籍 テクノロジー 基礎科学 宇宙 生命・医療 地球 時空 地球環境 生態系 自然史・進化

論座 > 科学・環境 > 記事一覧 > 記事

科学・環境

「ブラックホール」でまとめたノーベル物理学賞

理論家ペンローズの並外れた業績と、「説」を「実在」に転換させた長年の天文観測

真貝寿明 大阪工業大学教授（相対性理論、宇宙物理学、天文学史）

ノーベル賞 | ブラックホール | 基礎科学 | 宇宙

2020年10月13日

ツイート

おすすめ 221

シェア

BI

noteで聞く

コメント

印



イラストはNASA提供

1. 今年も宇宙分野、に驚く

ノーベル物理学賞は、こここのところしばらくは、宇宙・素粒子分野と物性物理分野を毎年交互に授賞対象としていた。昨年の物理学賞は、宇宙論の理論を開拓したピーブルズ¹と太陽系外惑星を初めて発見したマイヨールとケローだった²。そのため、私を含め多くの方は、今年は宇宙以外の分野に贈賞されるものと想定していた。ところが、10月6日夕方に発表された今年の受賞者は、ブラックホール研究でまとめられた3氏だった。嬉しい誤算である。本稿では、受賞者の業績³を含め、最近のブラックホール研究について紹介したい。教育者向けの余談を盛り込んだところ、脚注の多い解説になってしまったことを先にお断りしておく。

今年の受賞者は、英オックスフォード大のロジャー・ペンローズ(Roger Penrose, 89)、独マックスプランク研究所のラインハルト・ゲンツェル(Reinhard Genzel, 68)、米カリフォルニア大ロサンゼルス校のアンドレア・ゲズ(Andrea Ghez, 55)の3氏である。贈賞理由は、ペンローズは「ブラックホール

¹ P.J.E. Peebles (1935~)。よく「ピーブルズ」と発音され、表記されているが、「ピーブルズ」と表記するのが正しいそうだ。(2020年9月の日本物理学会での須藤靖氏の講演から)

² ノーベル賞は各部門での受賞者が毎年3名までと定められている。昨年の3名の組み合わせはやや強引に感じた。今年も当初はそう感じさせる3名であったが、ノーベルの遺言にある「物理学の分野で最も重要な発見または発明をした人物」という点については誰も異論を唱えないだろう。

³ 受賞者の業績など、ノーベル財団の発表した資料は、Webページ(英語)から取得できる。
<https://www.nobelprize.org/prizes/physics/2020/press-release/>

形成が一般相対性理論におけるごく自然な帰結となることの発見に対して⁴、ゲンツェルとゲズは「天の川銀河の中心に超大質量なコンパクト天体を発見したことに対して⁵」となっている。ペンローズは「特異点定理」をはじめとして一般相対性理論分野を中心に世界をリードしてきた理論物理学者・数学者であり、ゲンツェルとゲズはそれぞれ独立に私たちのいる天の川銀河の中心を観測して、超大質量ブラックホールが存在していることを示した天文学者である。



図1 左からペンローズ、ゲンツェル、ゲズの似顔絵。ノーベル財団が受賞者発表に用いたもの。

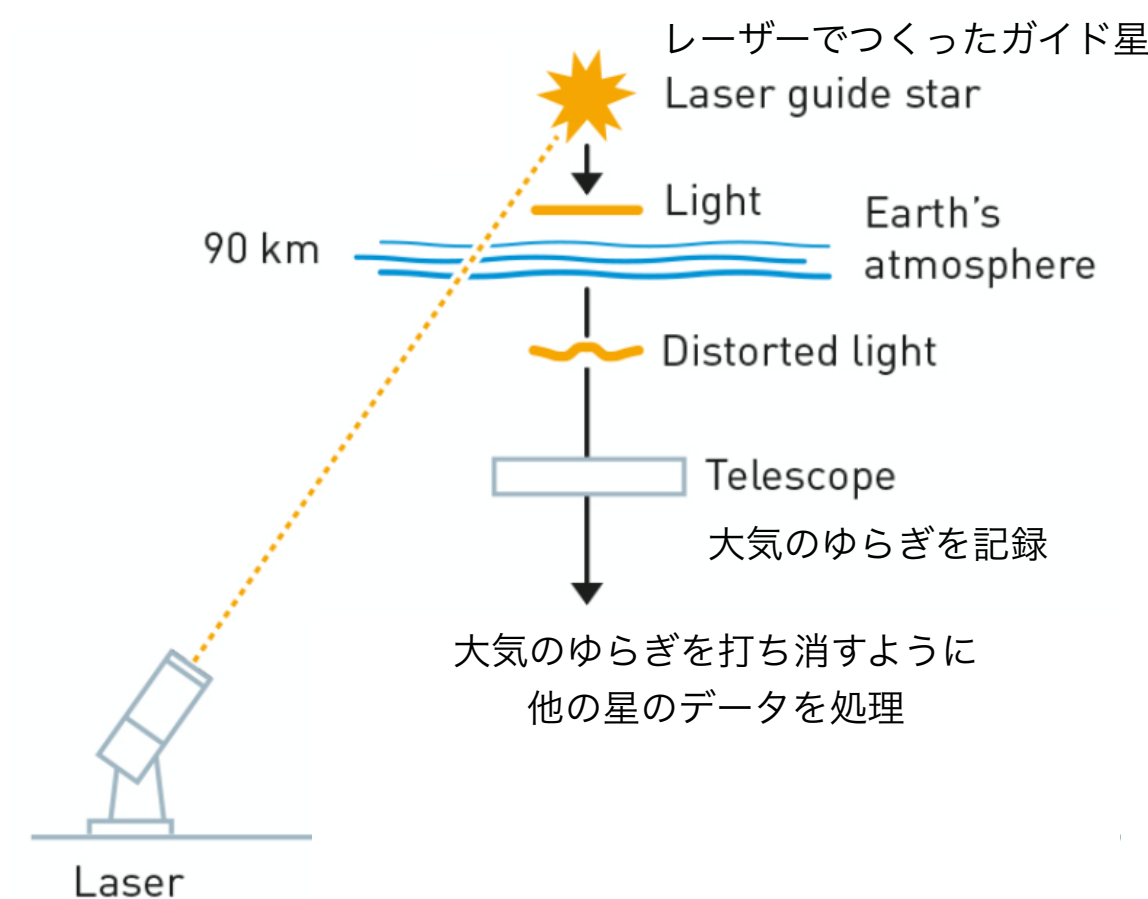
⁴ 原文は「for the discovery that black hole formation is a robust prediction of the general theory of relativity」。robustという単語は、辞書では「強靭な、頑丈な」と出てくるが、研究分野では「多少のゆらぎは問題とならない」という意味で使われる。ここでは、ブラックホール形成が特殊なものではなく一般的に発生する、という意味になるので、「自然な帰結」と訳した。ペンローズの業績がこのタイトルの通り「発見」と言えるかどうかは、本稿読後の皆様の判断に任せたい。

⁵ 原文は「for the discovery of a supermassive compact object at the centre of our galaxy」

ラインハルト・ゲンツェル

アンドレア・ゲズ

「天の川銀河の中心に超大質量なコンパクト天体を発見したことに対して」



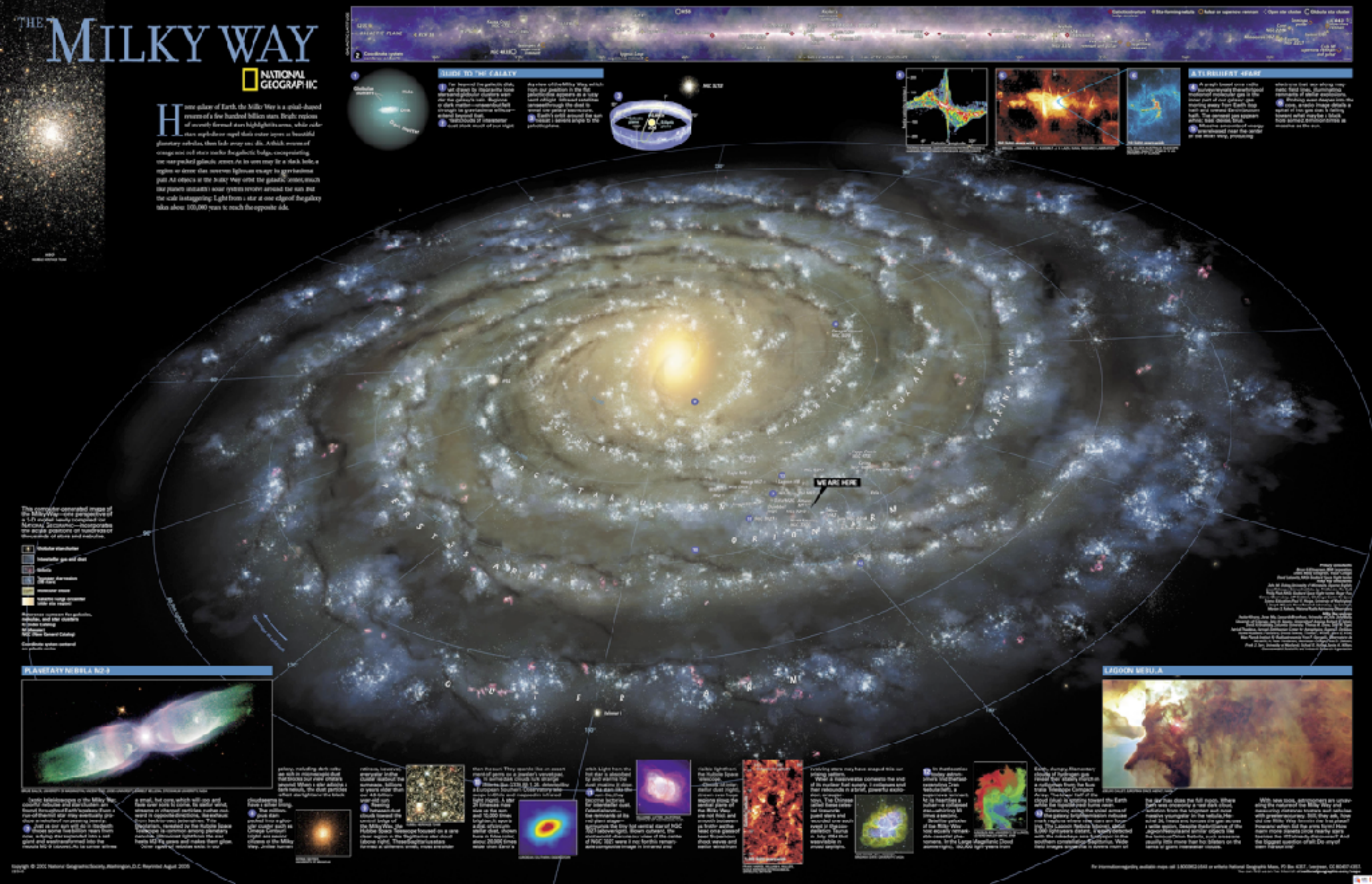
補償光学



<https://ja.wikipedia.org/wiki/ヨーロッパ南天天文台>

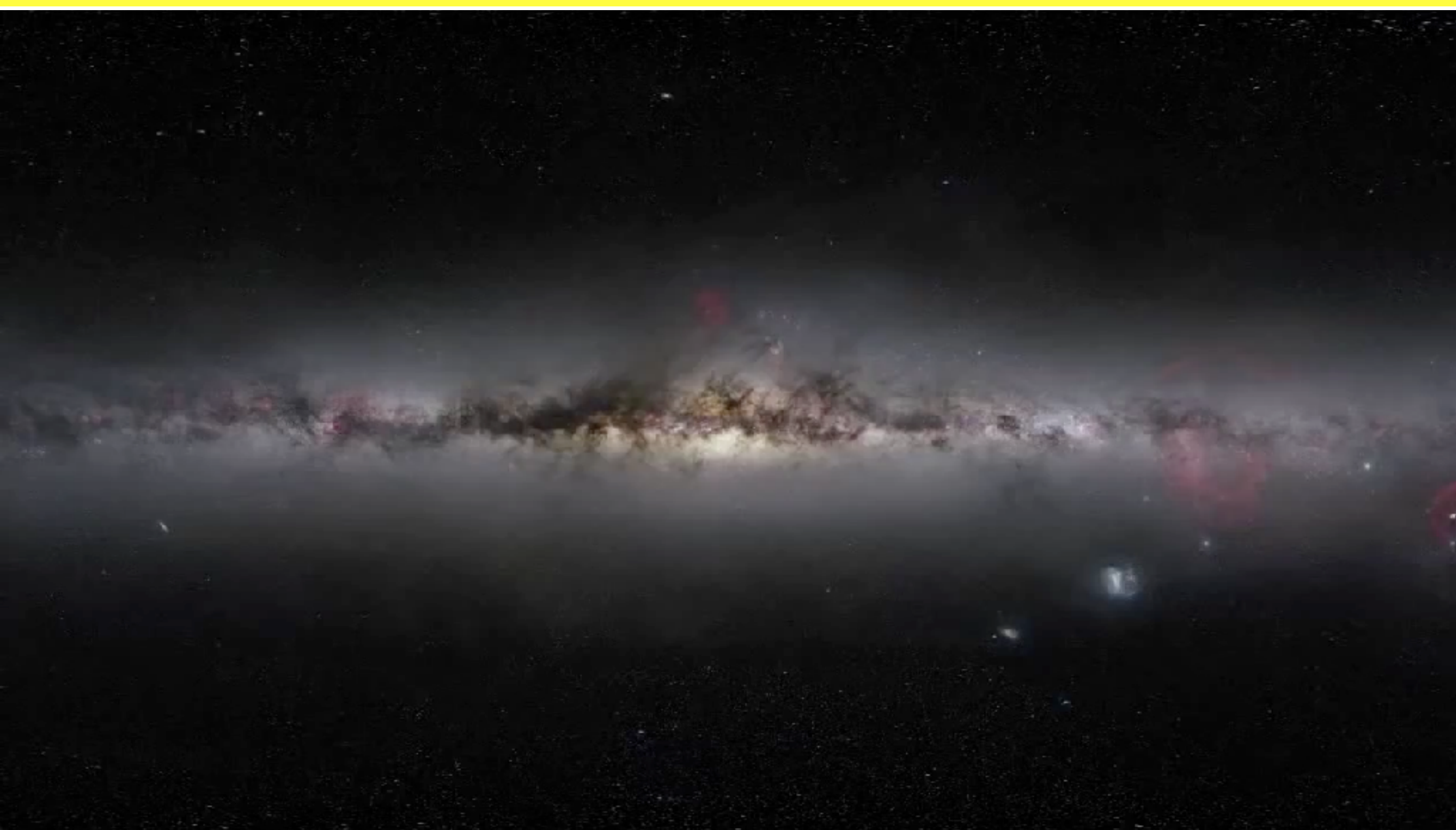
<https://www.quantamagazine.org/>

天の川銀河 (our Galaxy)



<http://shop.nationalgeographic.com/ngs/product/maps/wall-maps/space-maps/the-milky-way-map%2C-laminated>
<http://ernstgraphics.wordpress.com/page/2/>

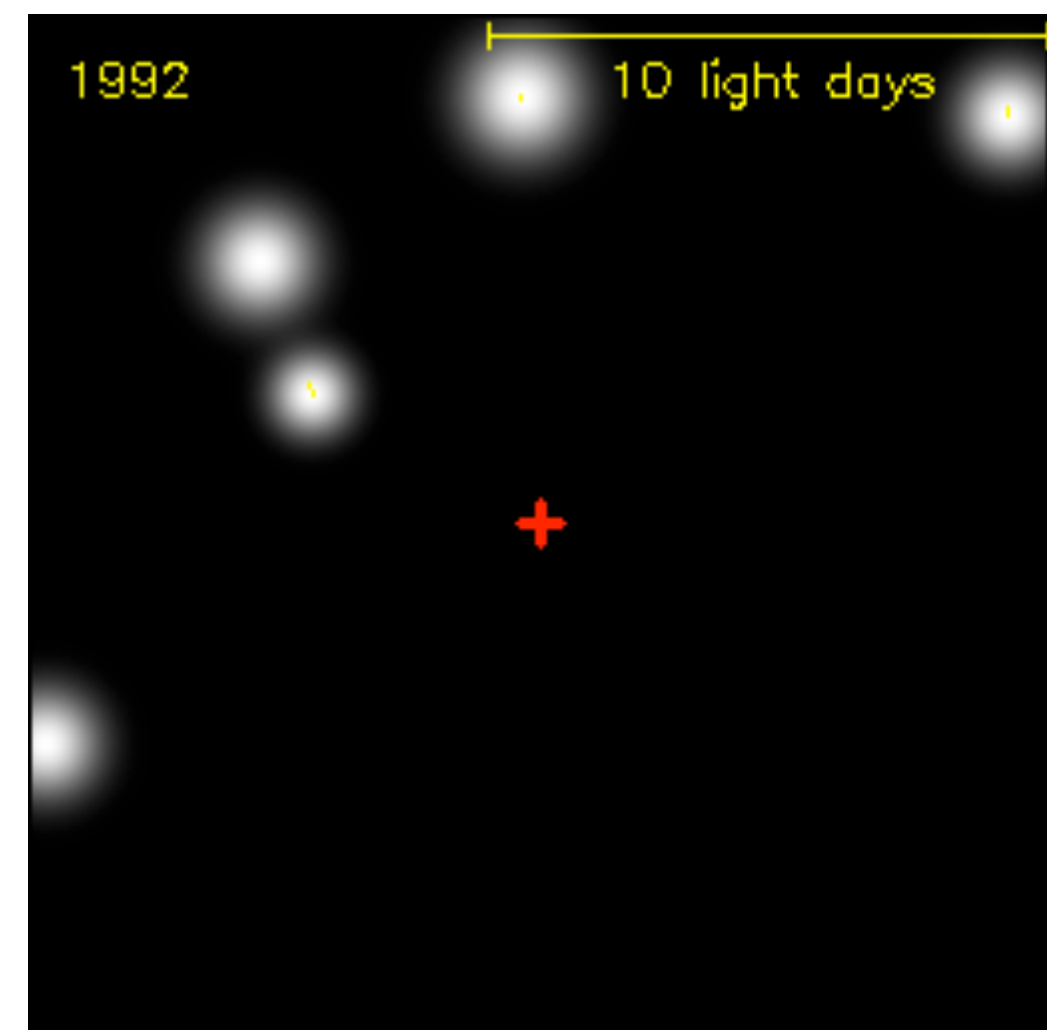
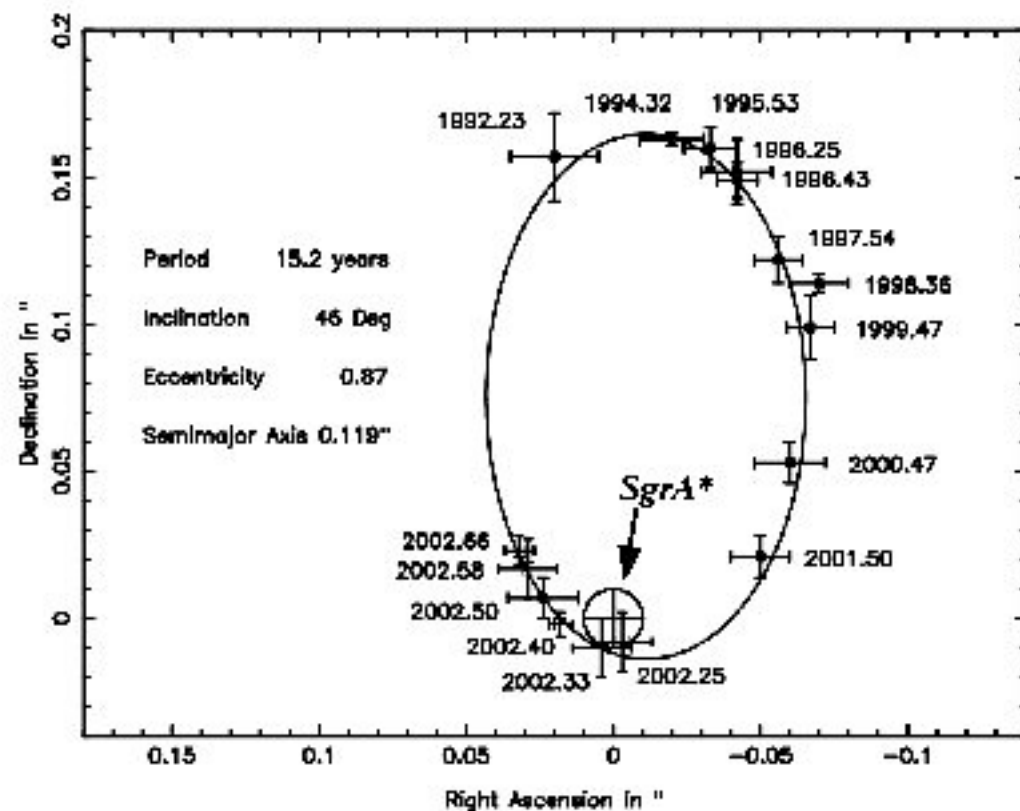
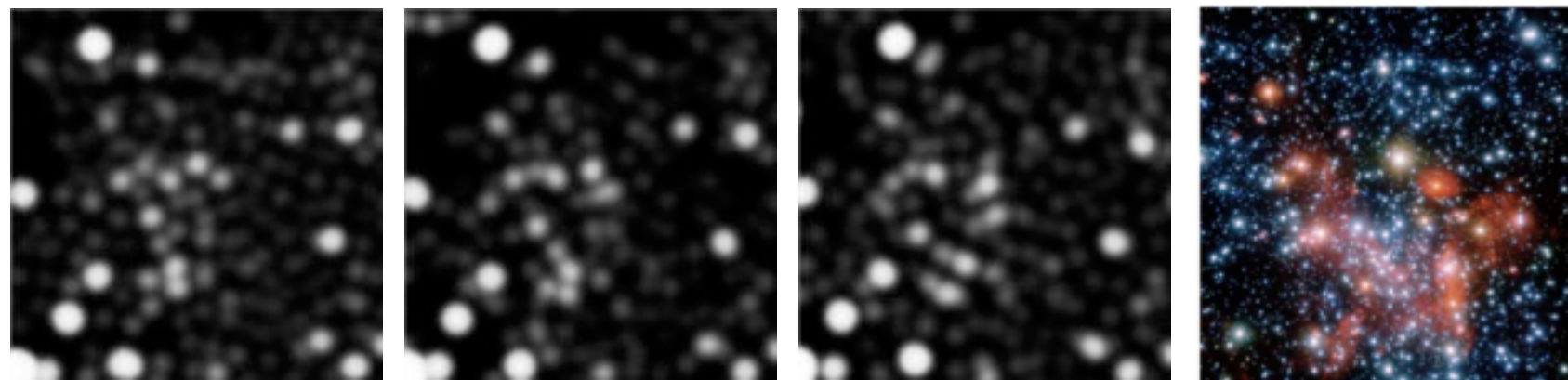
銀河系の中心には巨大ブラックホールがある



Zooming in on the centre of the Milky Way

<http://www.youtube.com/watch?v=XhHUNvEKUY8> (1:15)

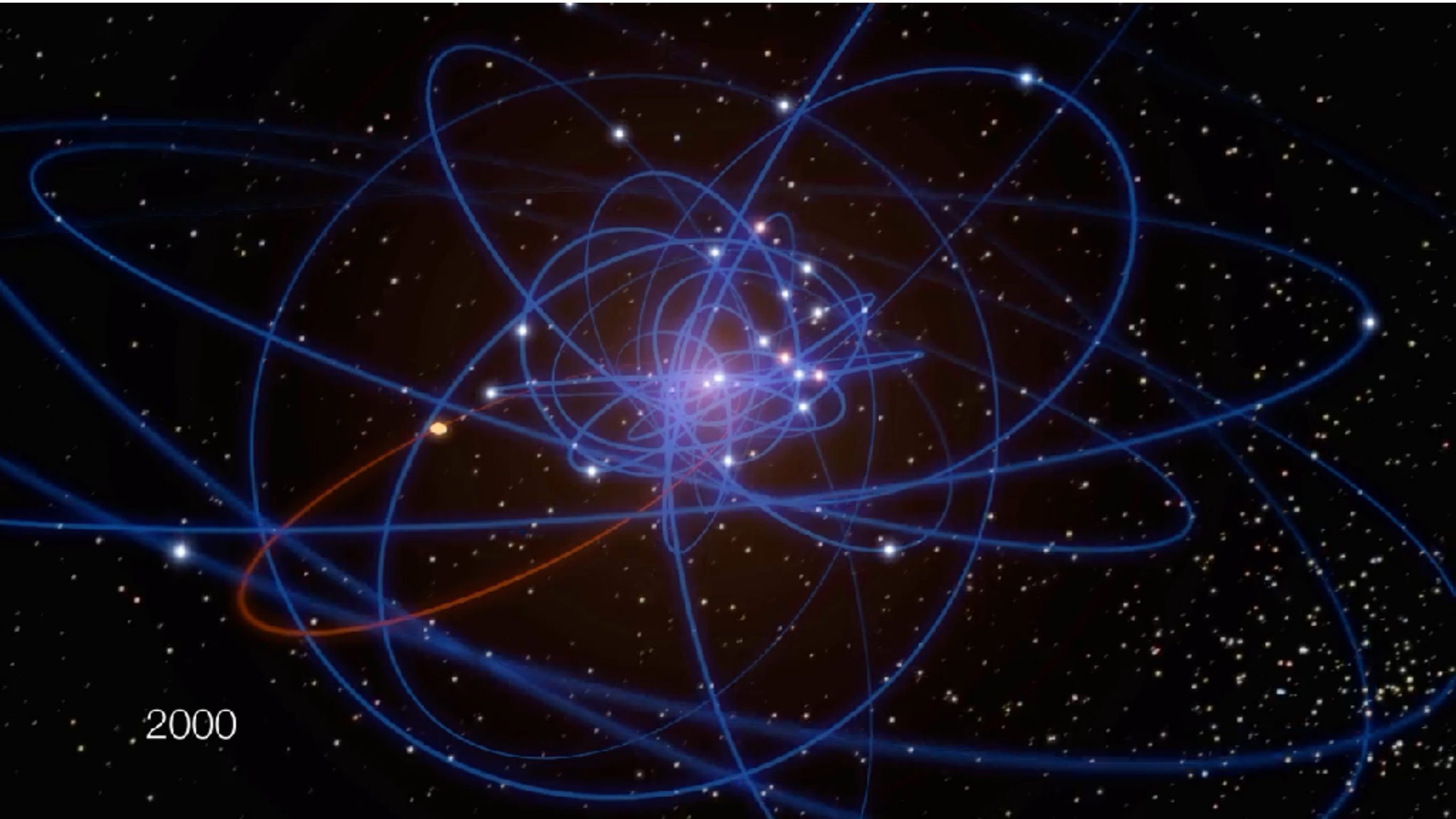
S2 orbit around Sgr A*



<http://www.extinctionshift.com/SignificantFindings08.htm>

<http://www.bighthub.com/science/space/articles/13435.aspx#>

天の川銀河 中心付近の星の動き（アニメーション）

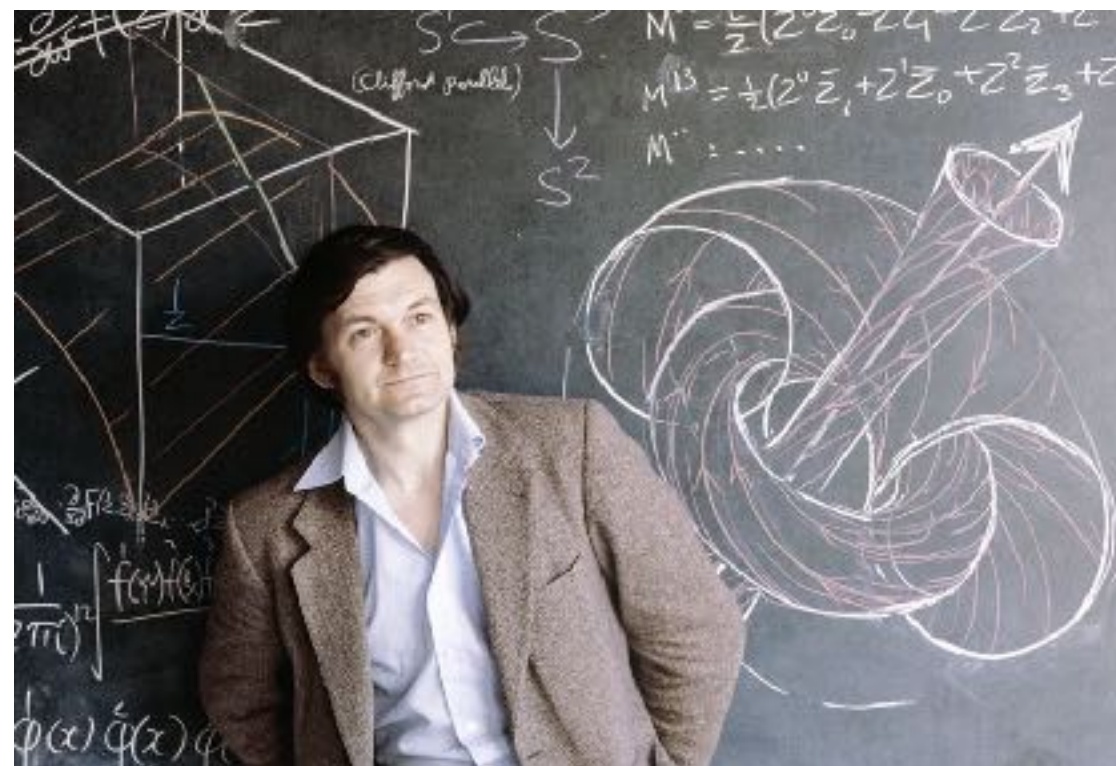


Reinhard Genzel and Andrea Ghez independently tracked the activity around the supermassive black hole at the Milky Way's center over a period of decades.

<https://www.quantamagazine.org/physics-nobel-awarded-for-black-hole-breakthroughs-20201006>

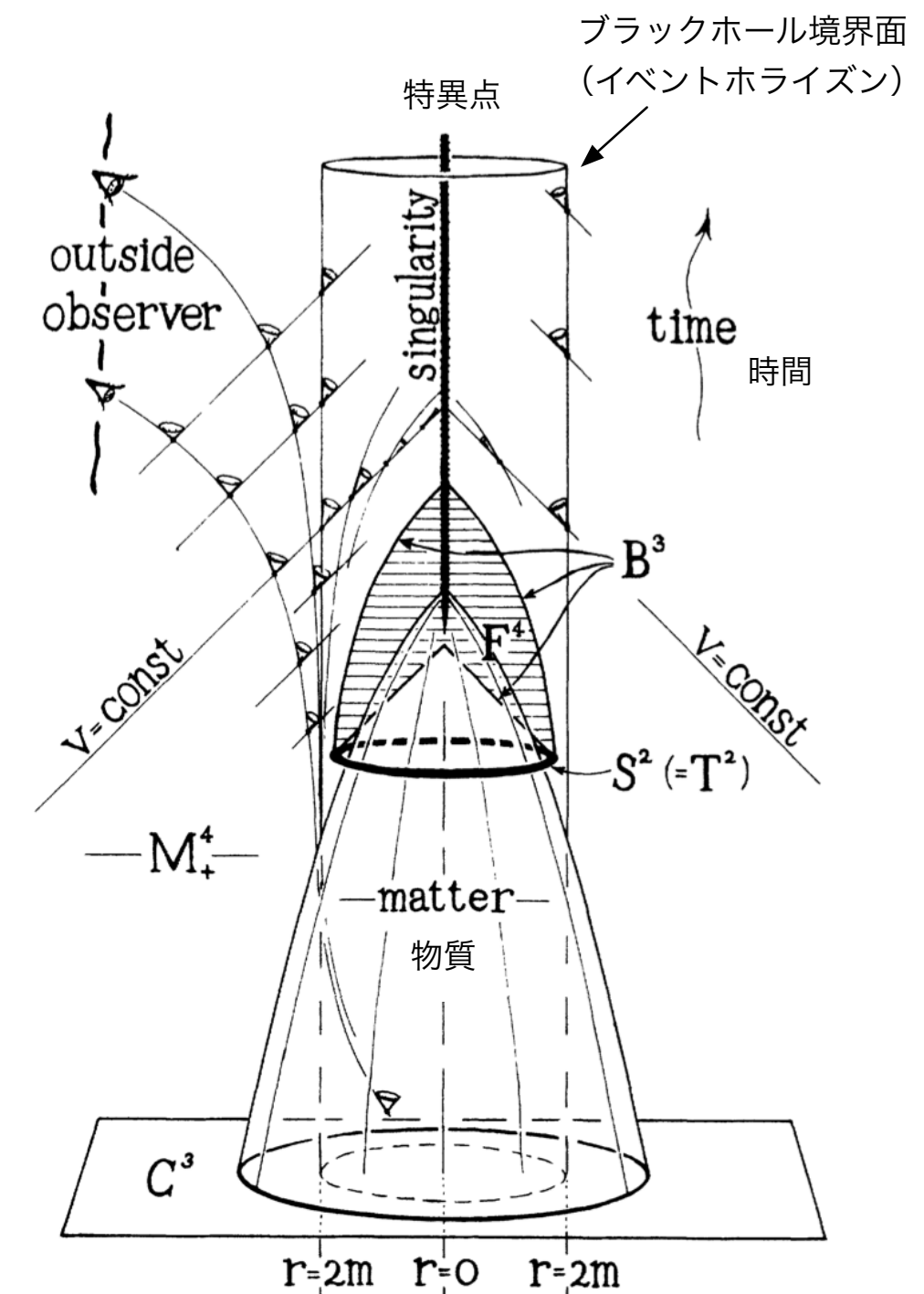
ロジャー・ペンローズ

「ブラックホール形成が一般相対性理論におけるごく自然な帰結となることの発見に対して」



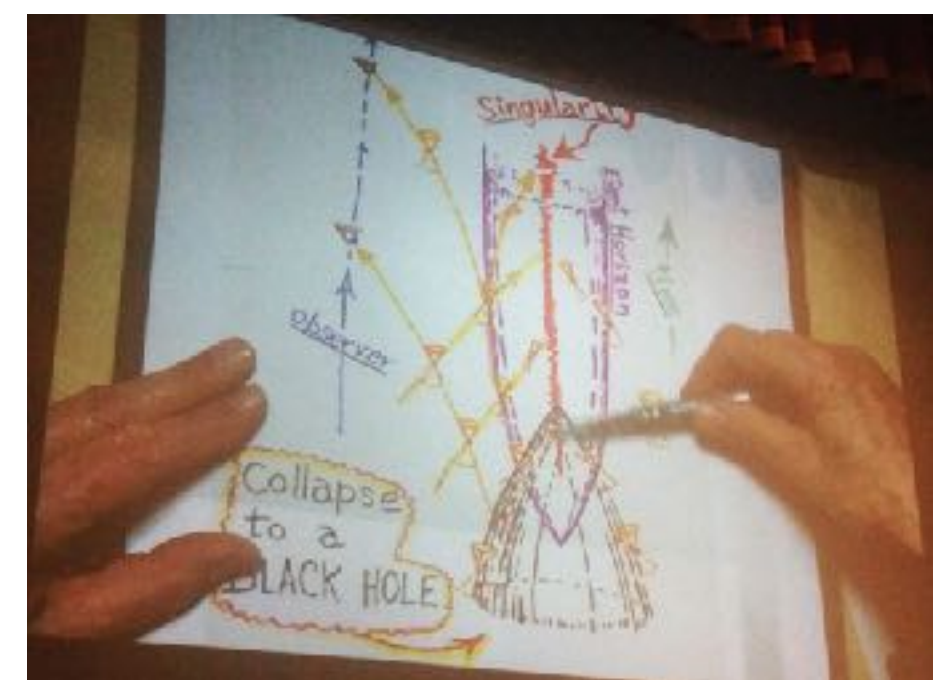
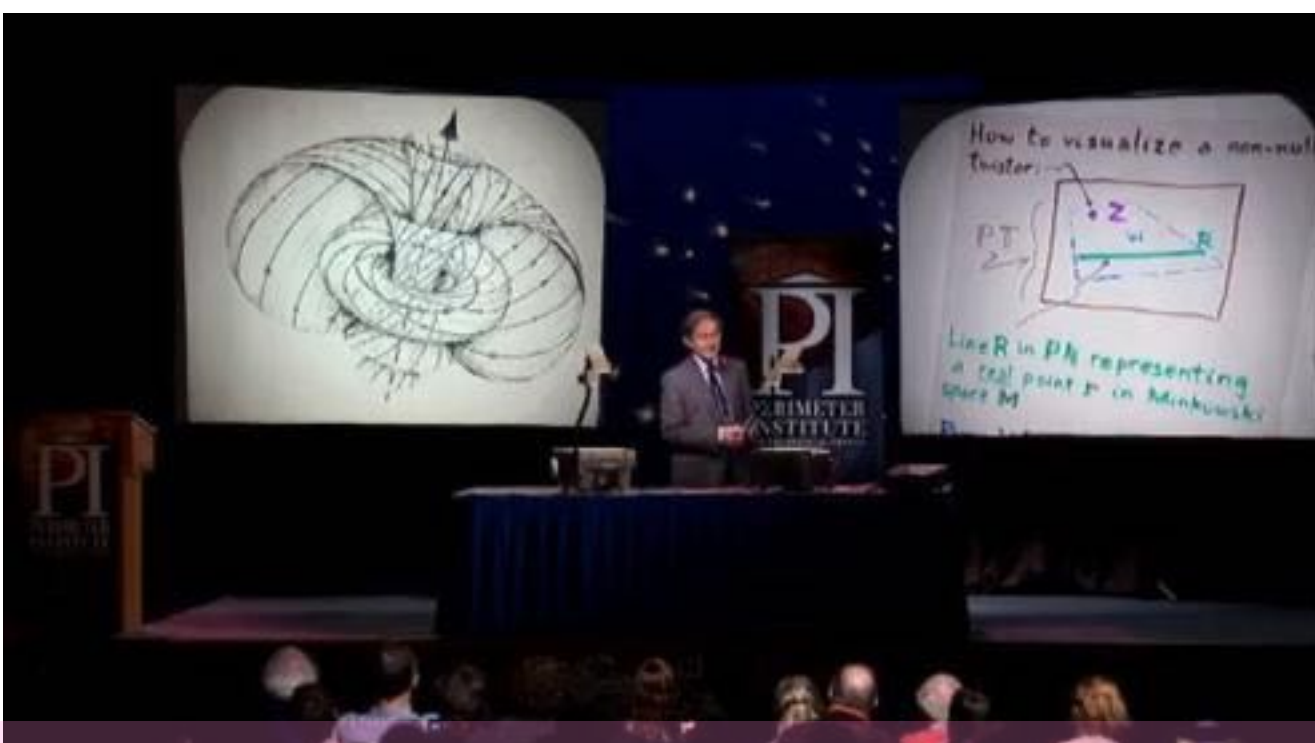
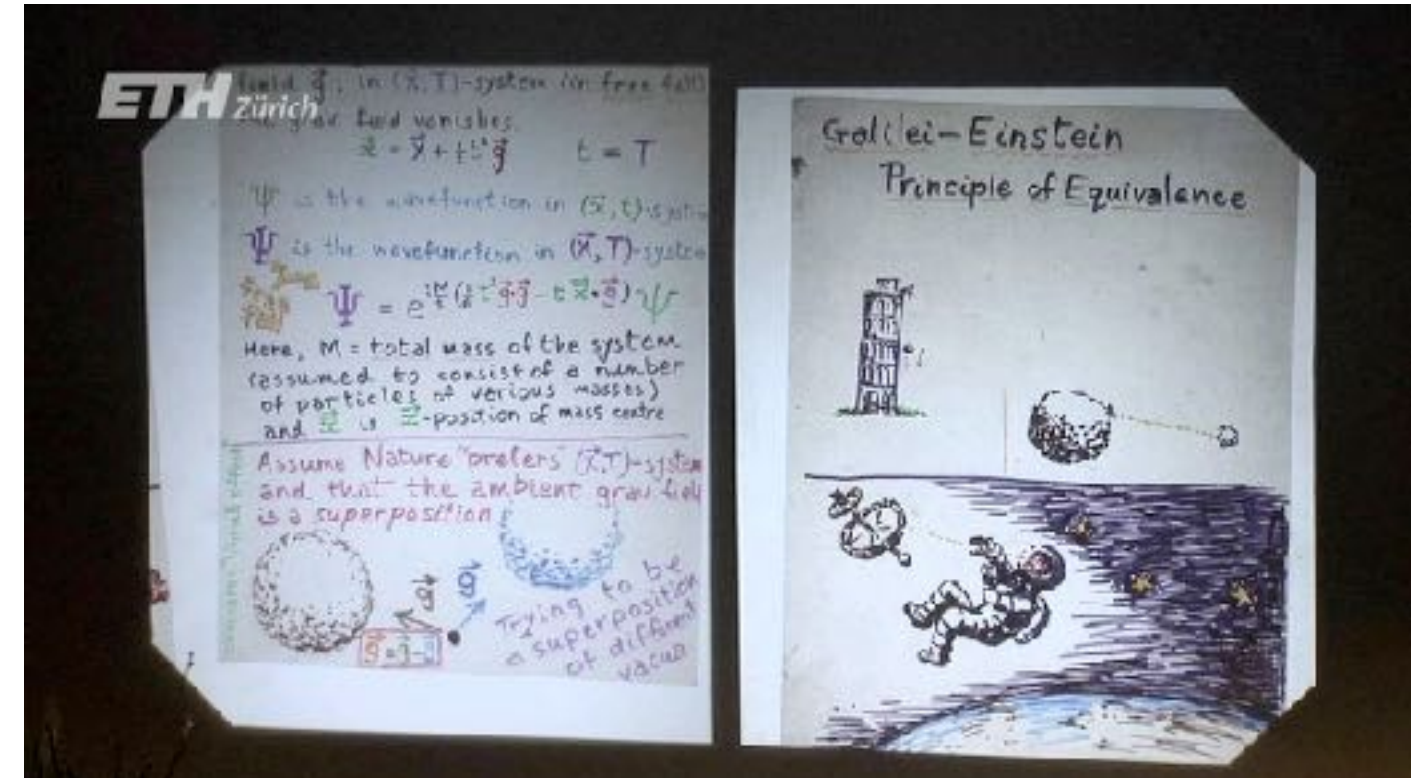
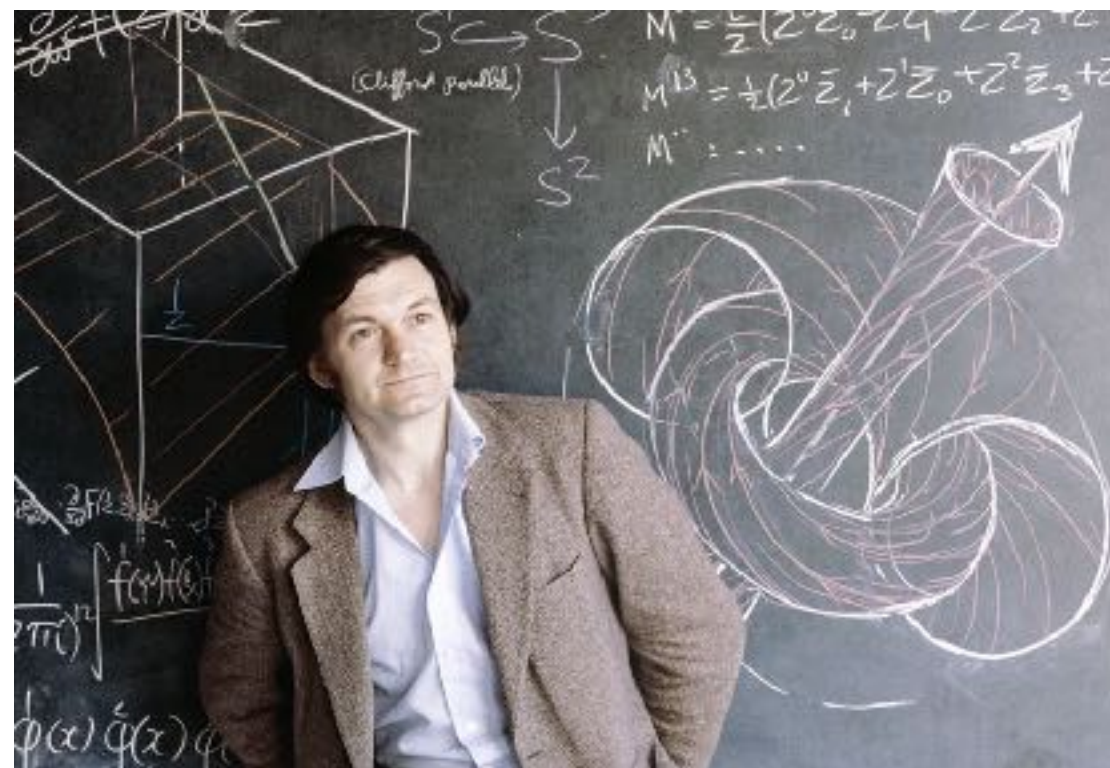
ペンローズが描いたブラックホール形成の図。横の広がりが空間（2次元で表している）、縦方向上向きに時間の進みを表す。物質が重力崩壊してつぶれ、光（円錐で描かれているのが光の広がり方を示す）が遠方へ到達しない領域が出現する。中心では特異点が発生するが、それはブラックホール境界面の内側にあるので、遠方の物理を乱さない。

(R. Penrose, Phys. Rev. Lett. 14 (1965) 57の図を加工。)

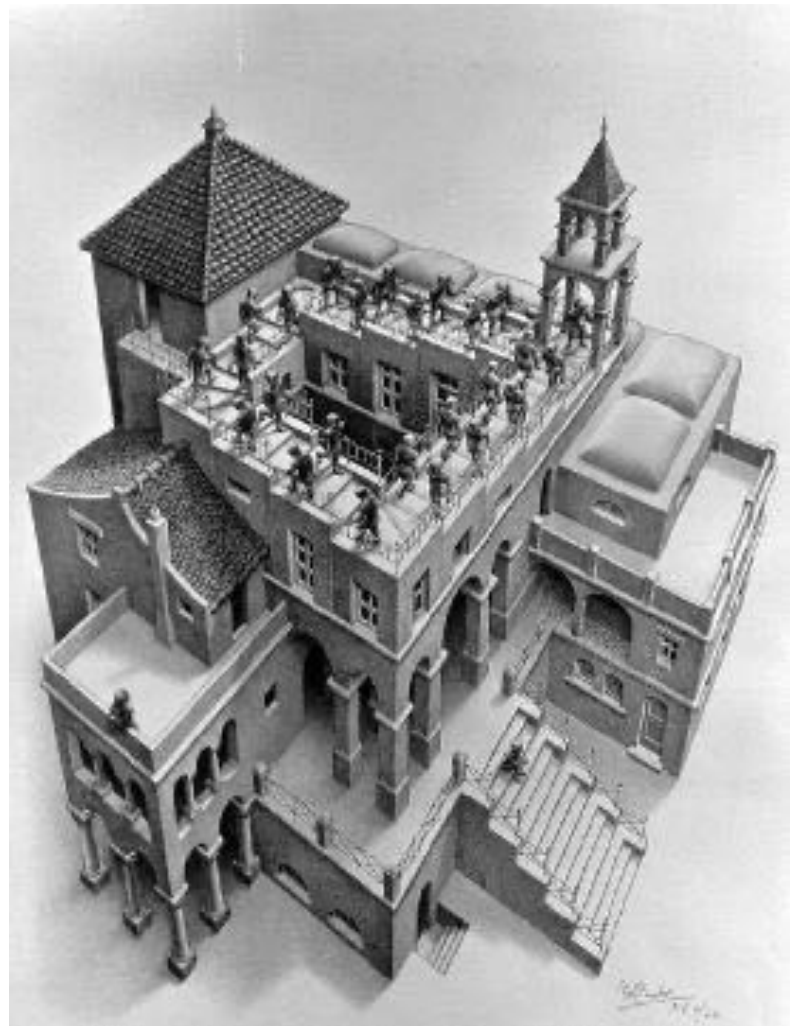


ロジャー・ペンローズ

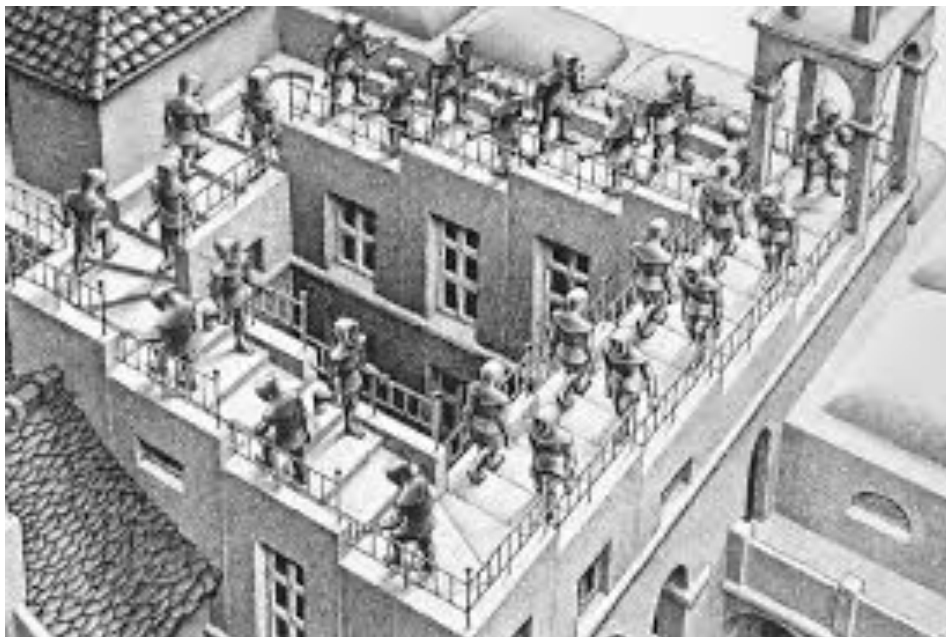
「ブラックホール形成が一般相対性理論におけるごく自然な帰結となることの発見に対して」



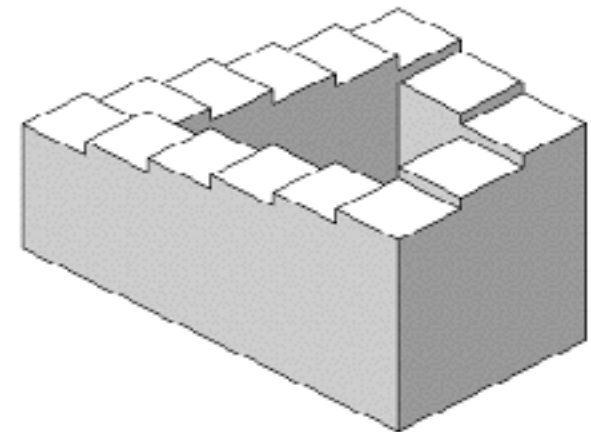
ロジャー・ペンローズ & M. C. エッシャー



[Ascending and Descending](#) by M. C. Escher



[Relativity \(1953\)](#) by M. C. Escher

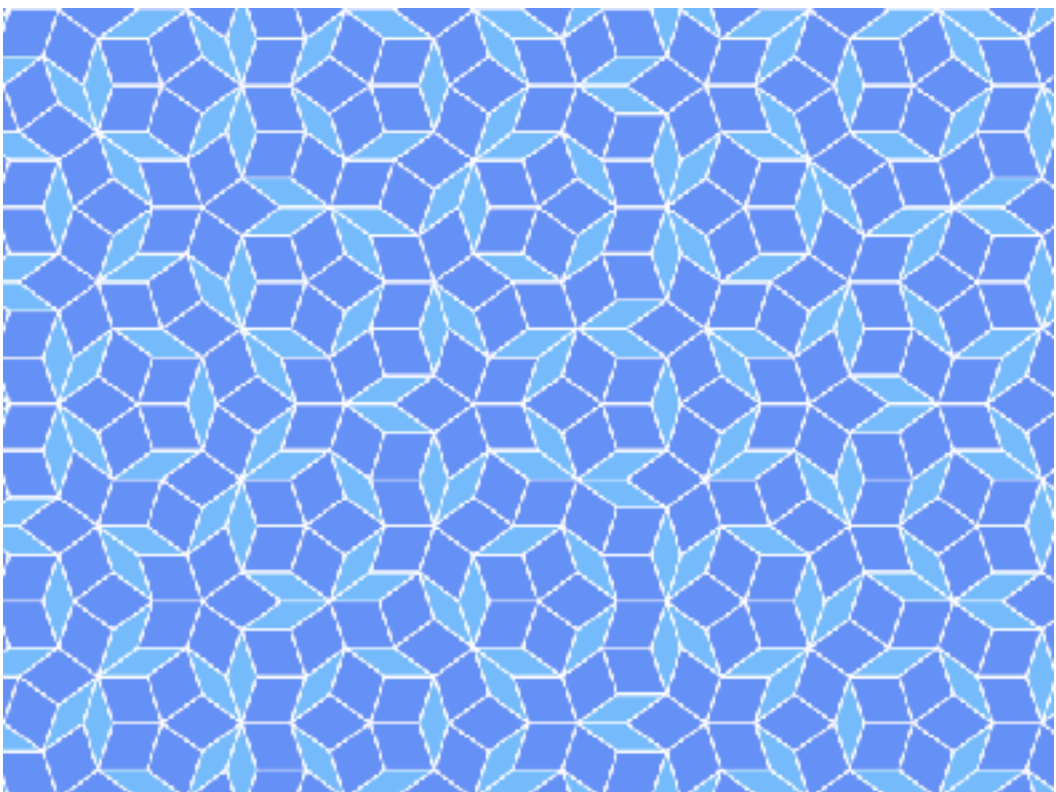
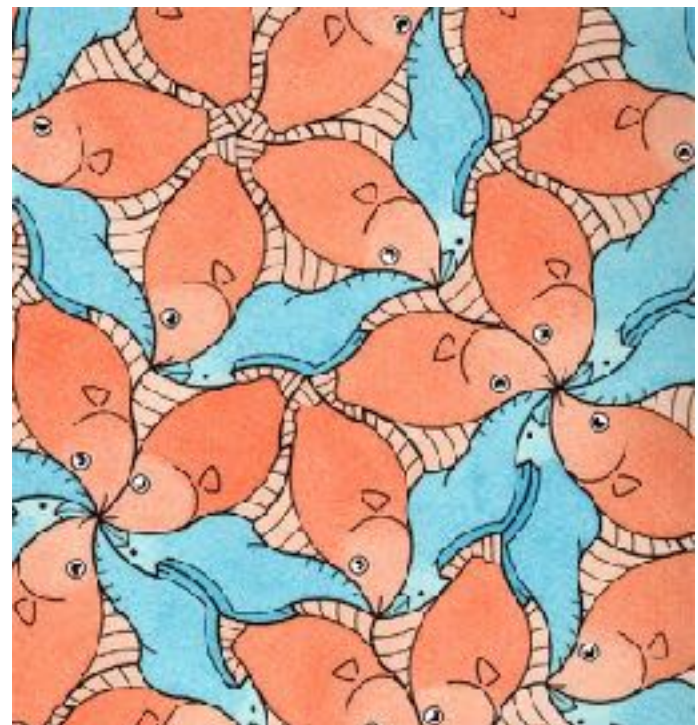


Penrose Stairs



Penrose Triangle

ロジャー・ペンローズ & M. C. エッシャー

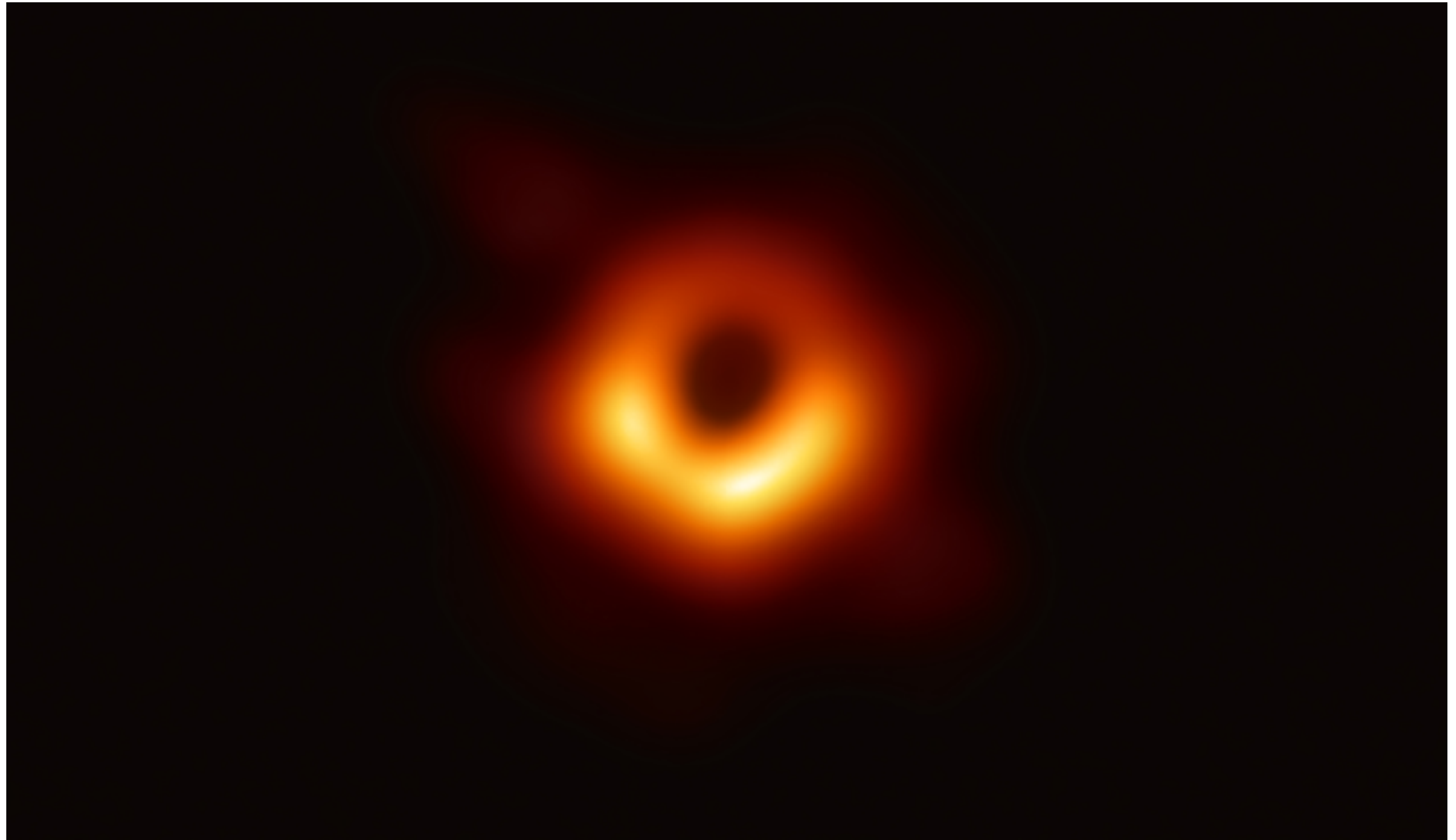


Penrose Tiling



最近のニュースから

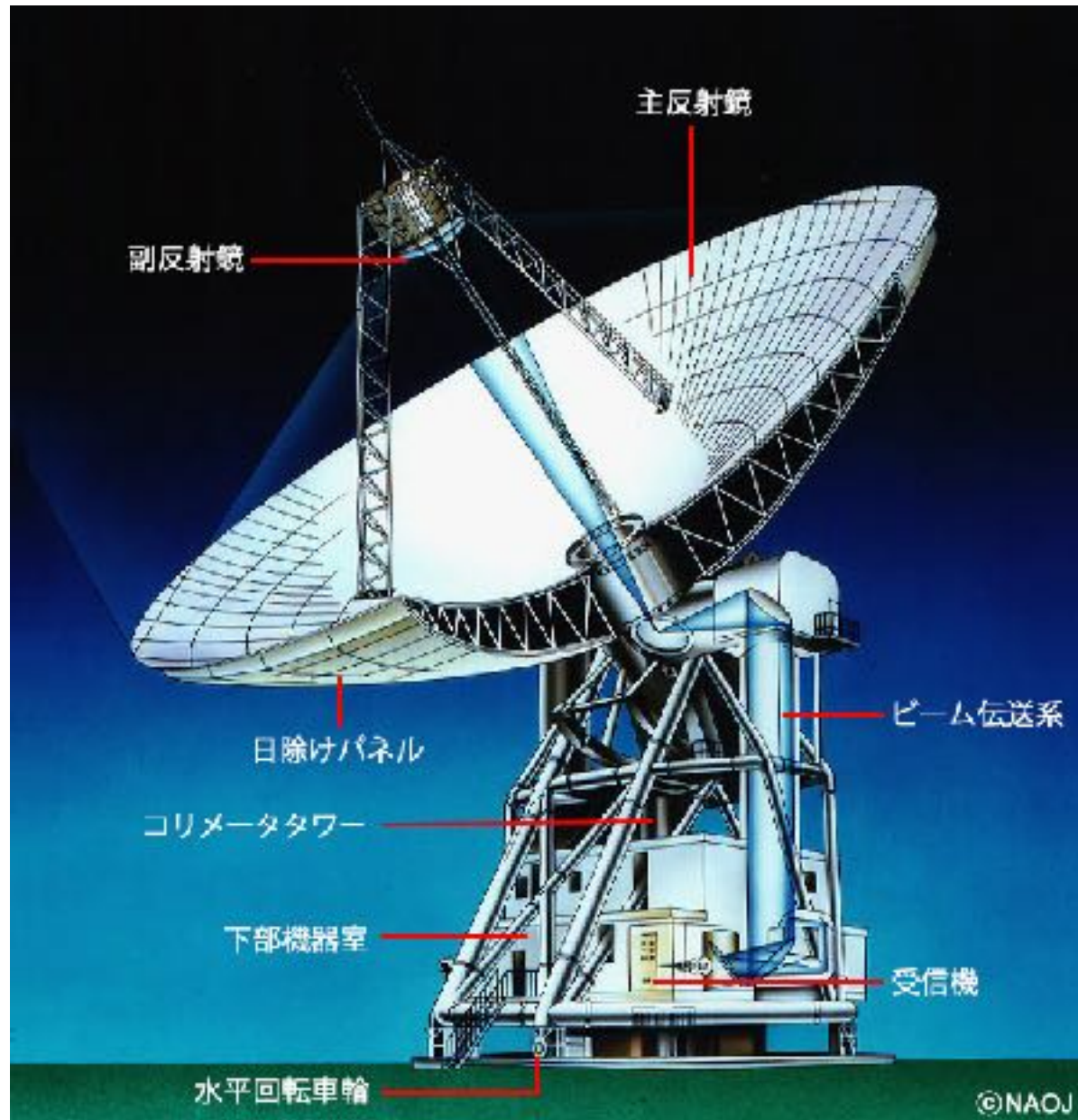
2019年4月10日、国立天文台グループ「ブラックホールの直接撮像に初めて成功」



地球から5500万光年

<https://alma-telescope.jp/news/press/eht-201904>

電波望遠鏡 口径が大きいほど集光力高い, 分解能高い

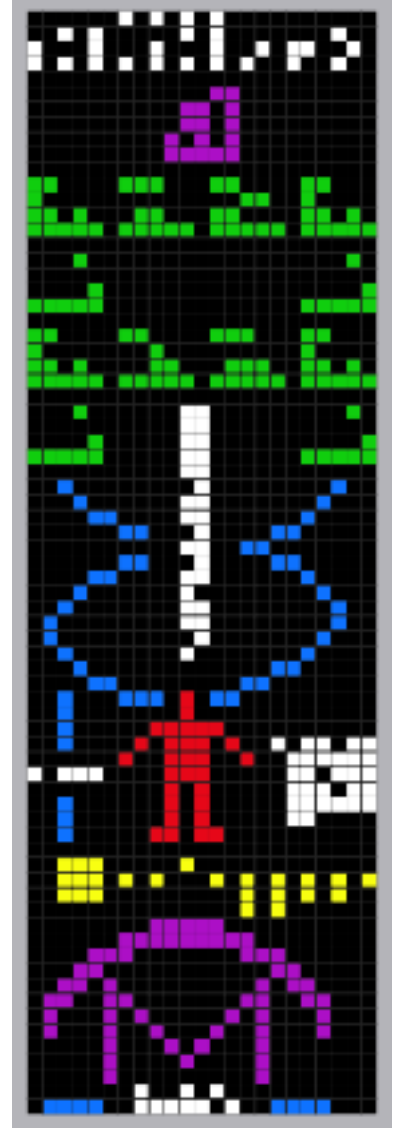


分解能 = 波長 / 口径

野辺山45m望遠鏡

アレシボ電波望遠鏡 305メートル球面電波望遠鏡（1963—2020）

(Arecibo Observatory, プエルトリコ)



1964 水星の自転周期55日の発見

1968 かにパルサー中心に中性子星発見

1974 連星中性子星発見

1989 小惑星カスティリア直接観測

1992 パルサーを公転する太陽系外惑星発見

アレシボ・メッセージ (1974)

SETI (1999—)

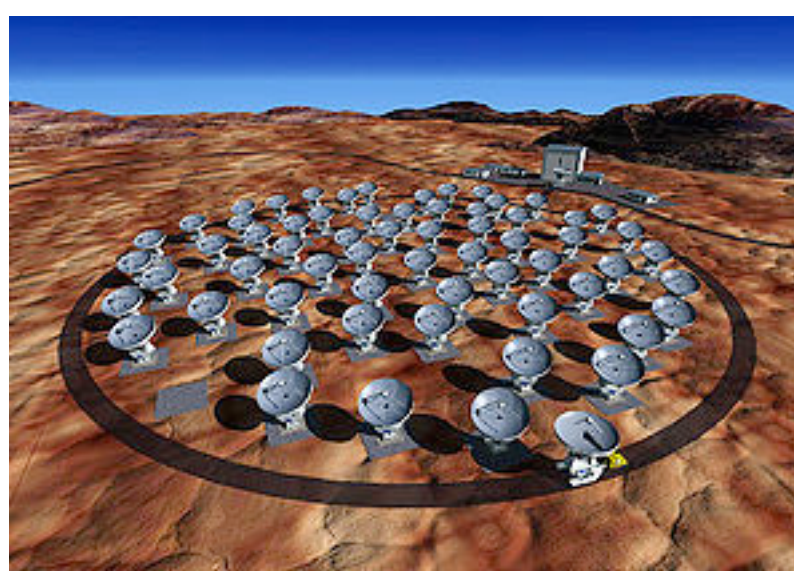
アルマ望遠鏡 Atacama Large Millimeter/Submillimeter Array

日本が、欧米と共同で、チリのアタカマに建設した電波望遠鏡

全66台のアンテナが設置され、日本は16台を担当。「いざよい」と命名。
標高5000m地点に設置されている。

直径12メートルのアンテナを50台組み合わせるアンテナ群と、直径12メートルのアンテナ4台と直径7メートルアンテナ12台からなる。最大18.5キロメートルまでアンテナ間隔を広げることができ、最大の空間分解能は、0.05 マイクロラジアン。

「大阪にある一円玉を東京から見分けられるほどの
高い解像度」



中国「天眼（FAST）」500メートル球面電波望遠鏡（2016－）
(Five-hundred-meter Aperture Spherical radio Telescope: FAST)



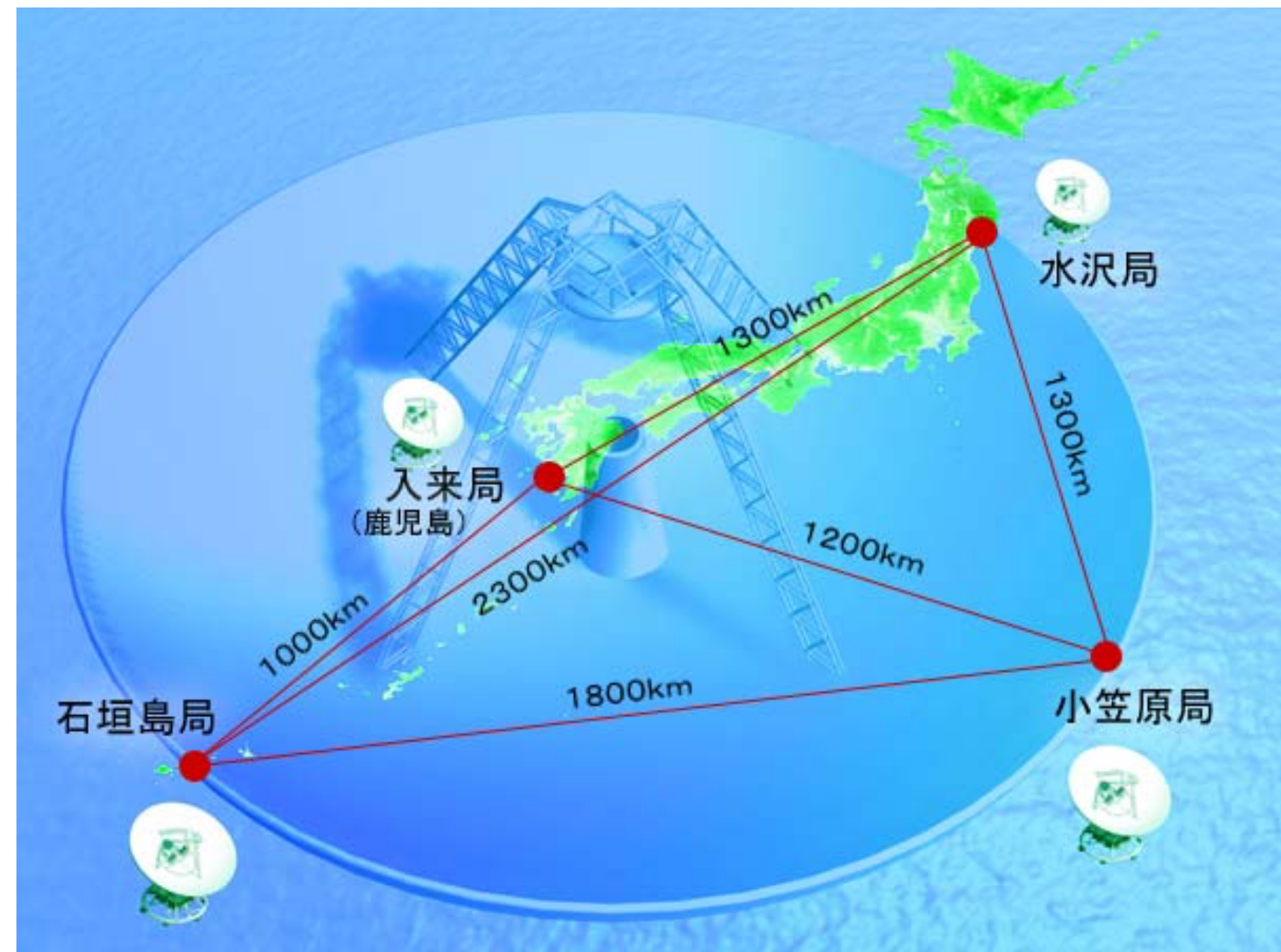
中国南西部の貴州省、185億円、天頂から40度の範囲を観測可能、
1万人強制移住、半径5km以内携帯電話禁止

電波干渉計



 NOBEYAMA
国立天文台 野辺山宇宙電波観測所

VLBI = Very Long Baseline Interferometer
VERA = VLBI Exploration of Radio Astrometry



イベント・ホライズン・テレスコープ(EHT)

— 各地の電波望遠鏡をつなぎ、地球サイズの仮想望遠鏡を構成 —





First M87 Event Horizon Telescope Results. I. The Shadow of the Supermassive Black Hole

The Event Horizon Telescope Collaboration

(See the end matter for the full list of authors.)

Received 2019 March 1; revised 2019 March 12; accepted 2019 March 12; published 2019 April 10

Abstract

When surrounded by a transparent emission region, black holes are expected to reveal a dark shadow caused by gravitational light bending and photon capture at the event horizon. To image and study this phenomenon, we have assembled the Event Horizon Telescope, a global very long baseline interferometry array observing at a wavelength of 1.3 mm. This allows us to reconstruct event-horizon-scale images of the supermassive black hole candidate in the center of the giant elliptical galaxy M87. We have resolved the central compact radio source as an asymmetric bright emission ring with a diameter of $42 \pm 3 \mu\text{as}$, which is circular and encompasses a central depression in brightness with a flux ratio $\gtrsim 10:1$. The emission ring is recovered using different calibration and imaging schemes, with its diameter and width remaining stable over four different observations carried out in different days. Overall, the observed image is consistent with expectations for the shadow of a Kerr black hole as predicted by general relativity. The asymmetry in brightness in the ring can be explained in terms of relativistic beaming of the emission from a plasma rotating close to the speed of light around a black hole. We compare our images to an extensive library of ray-traced general-relativistic magnetohydrodynamic simulations of black holes and derive a central mass of $M = (6.5 \pm 0.7) \times 10^9 M_\odot$. Our radio-wave observations thus provide powerful evidence for the presence of supermassive black holes in centers of galaxies and as the central engines of active galactic nuclei. They also present a new tool to explore gravity in its most extreme limit and on a mass scale that was so far not accessible.

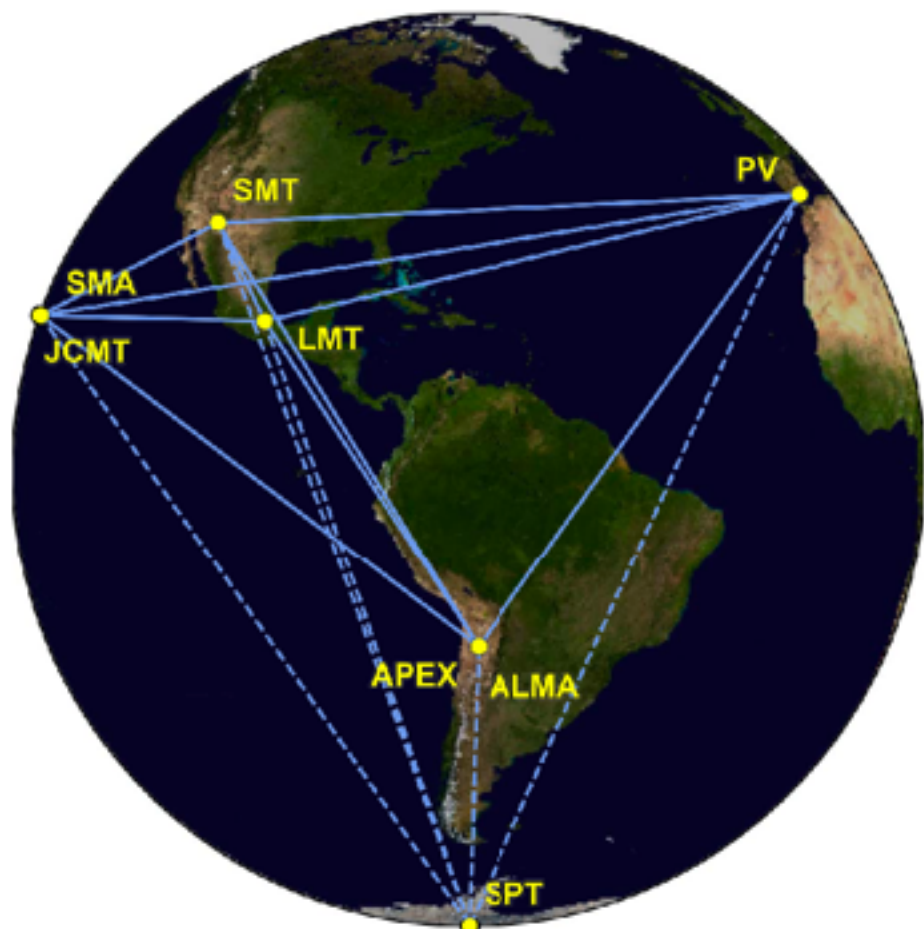


Figure 1. Eight stations of the EHT 2017 campaign over six geographic locations as viewed from the equatorial plane. Solid baselines represent mutual

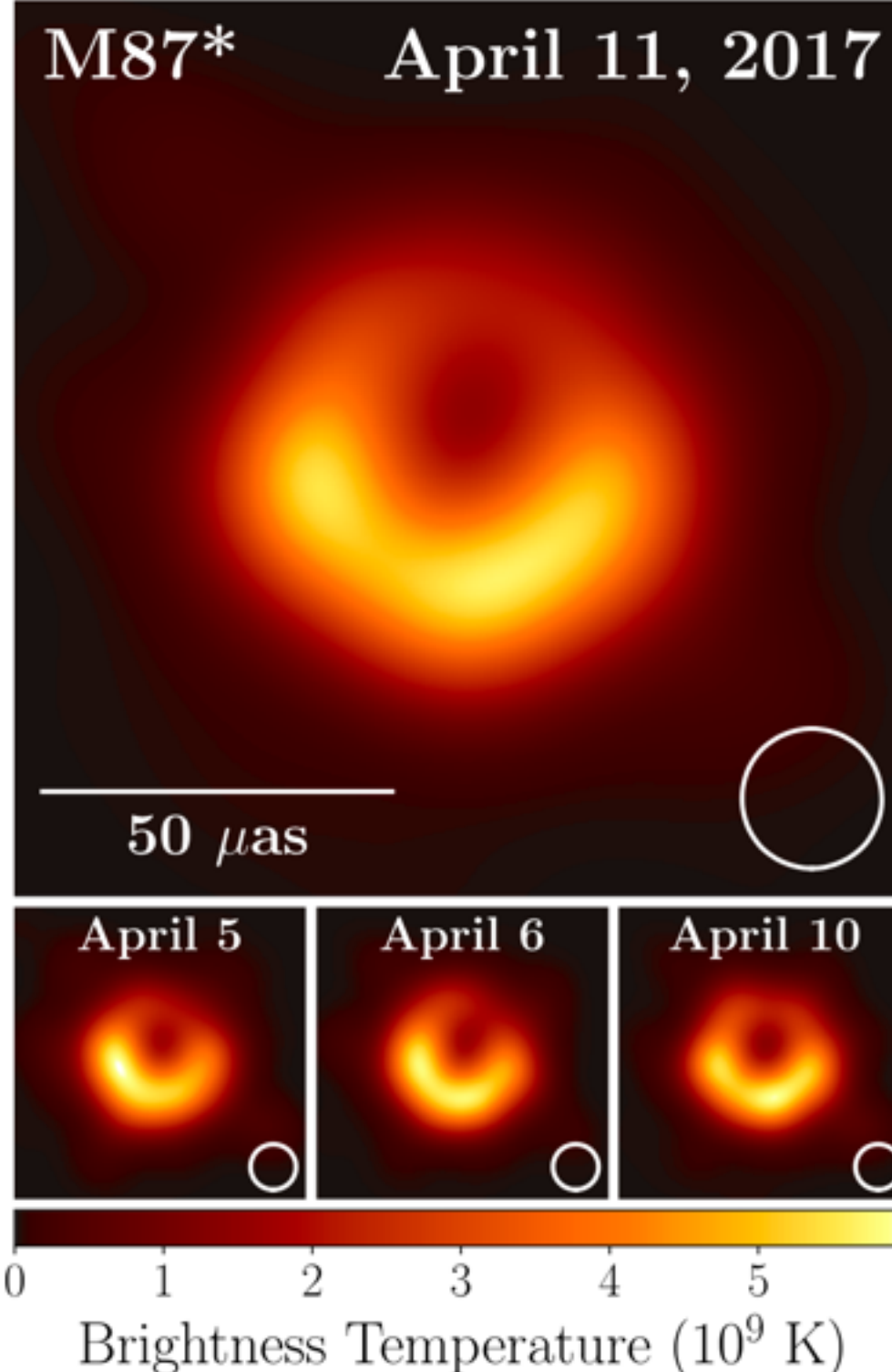
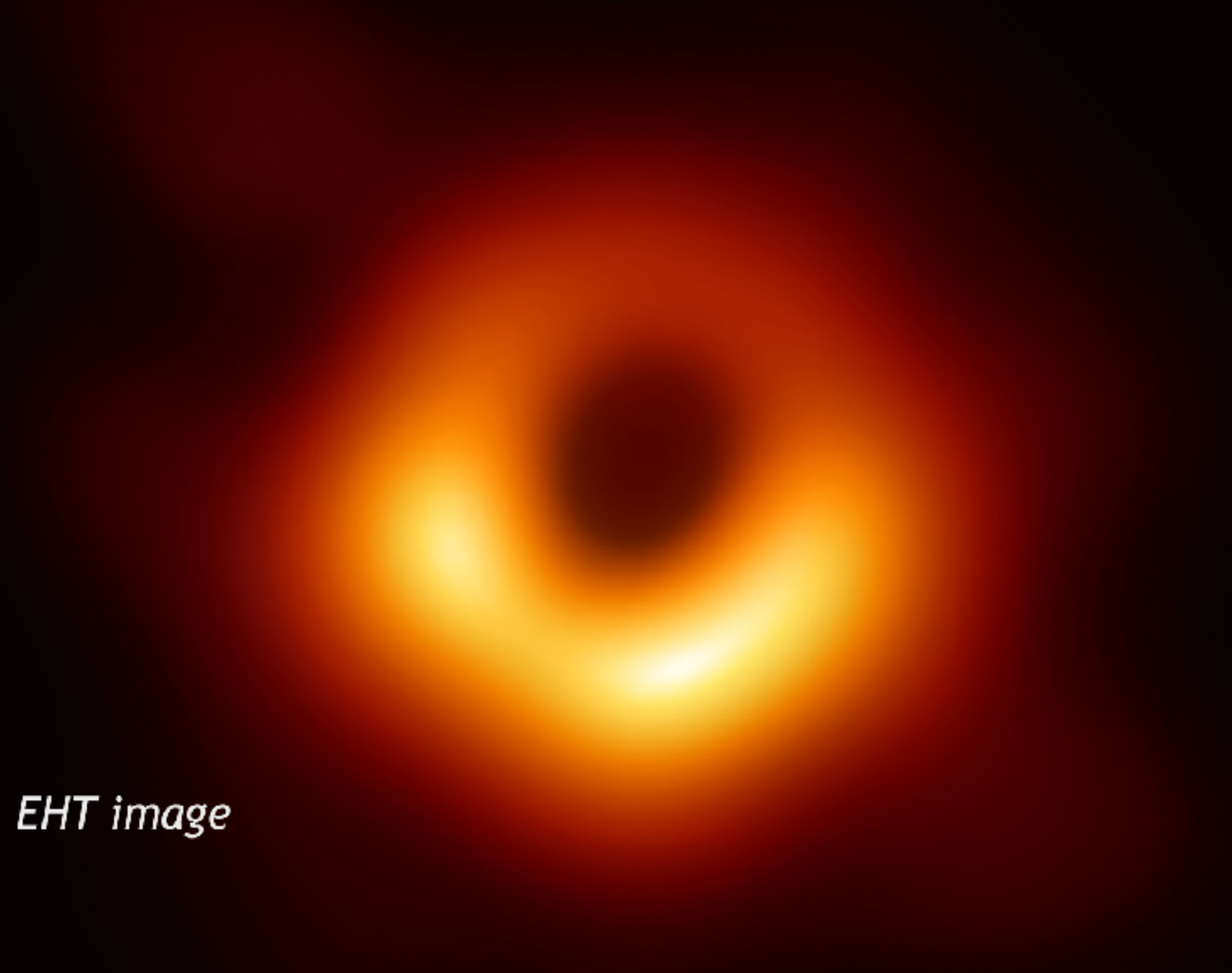


Figure 3. Top: EHT image of M87* from observations on 2017 April 11 as a representative example of the images collected in the 2017 campaign. The image is the average of three different imaging methods after convolving each with a circular Gaussian kernel to give matched resolutions. The largest of the three kernels ($20 \mu\text{as}$ FWHM) is shown in the lower right. The image is shown in units of brightness temperature, $T_b = S\lambda^2/2k_B\Omega$, where S is the flux density, λ is the observing wavelength, k_B is the Boltzmann constant, and Ω is the solid angle of the resolution element. Bottom: similar images taken over different days showing the stability of the basic image structure and the equivalence among different days. North is up and east is to the left.

最近のニュースから

ブラックホールシャドウのメカニズム解説映像



EHT image

<https://www.nao.ac.jp/news/sp/20190410-eht/videos.html>

0'58"

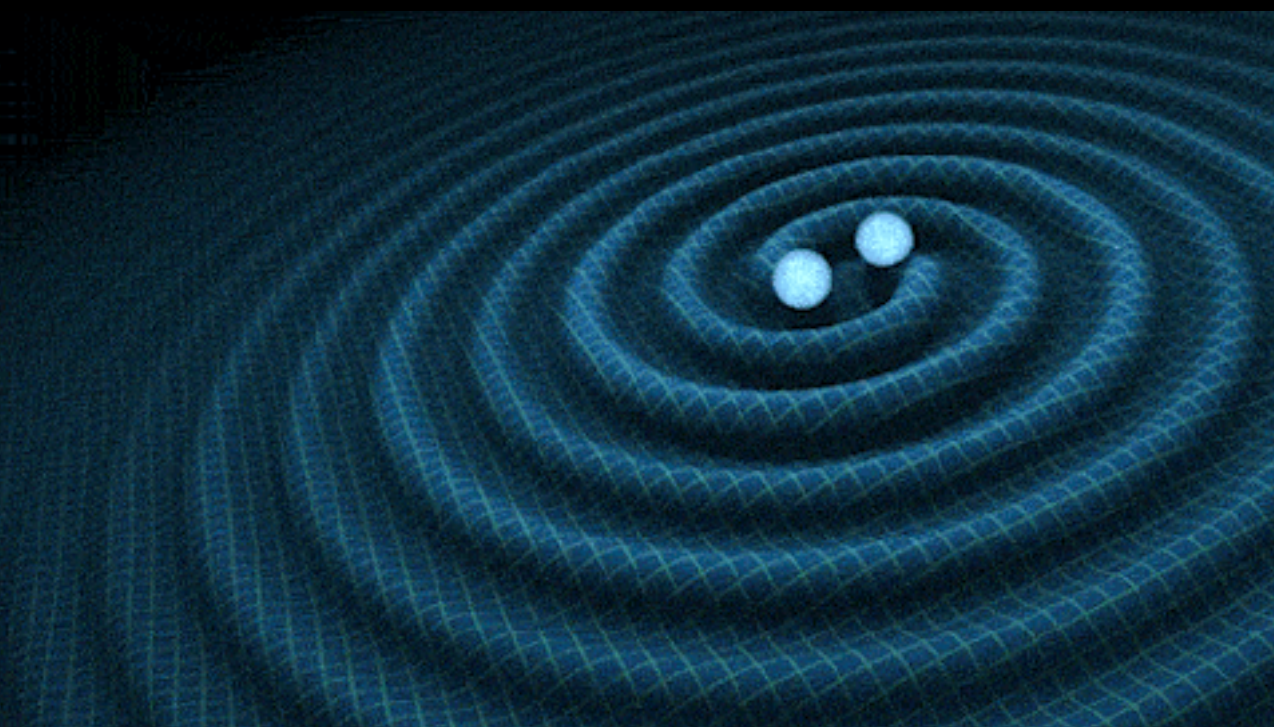
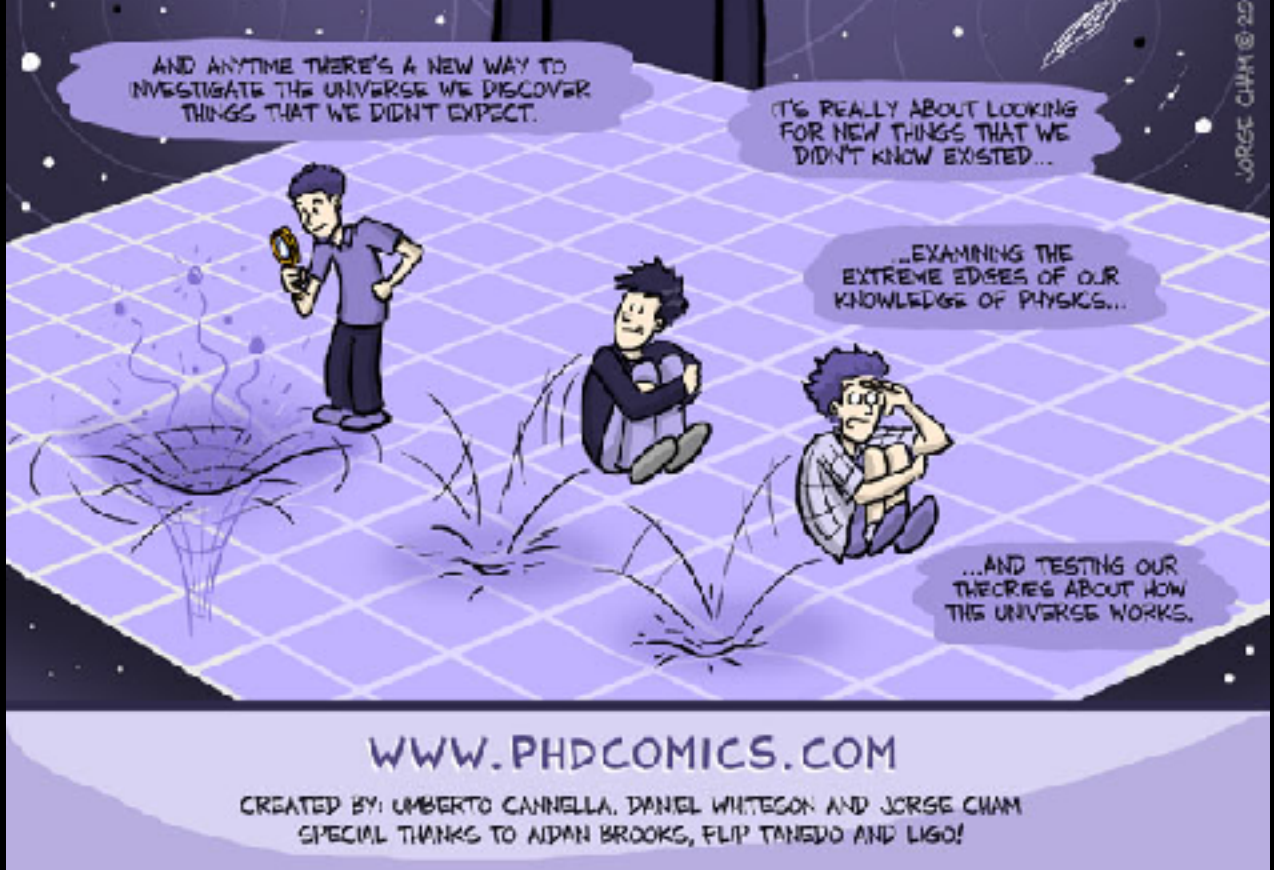
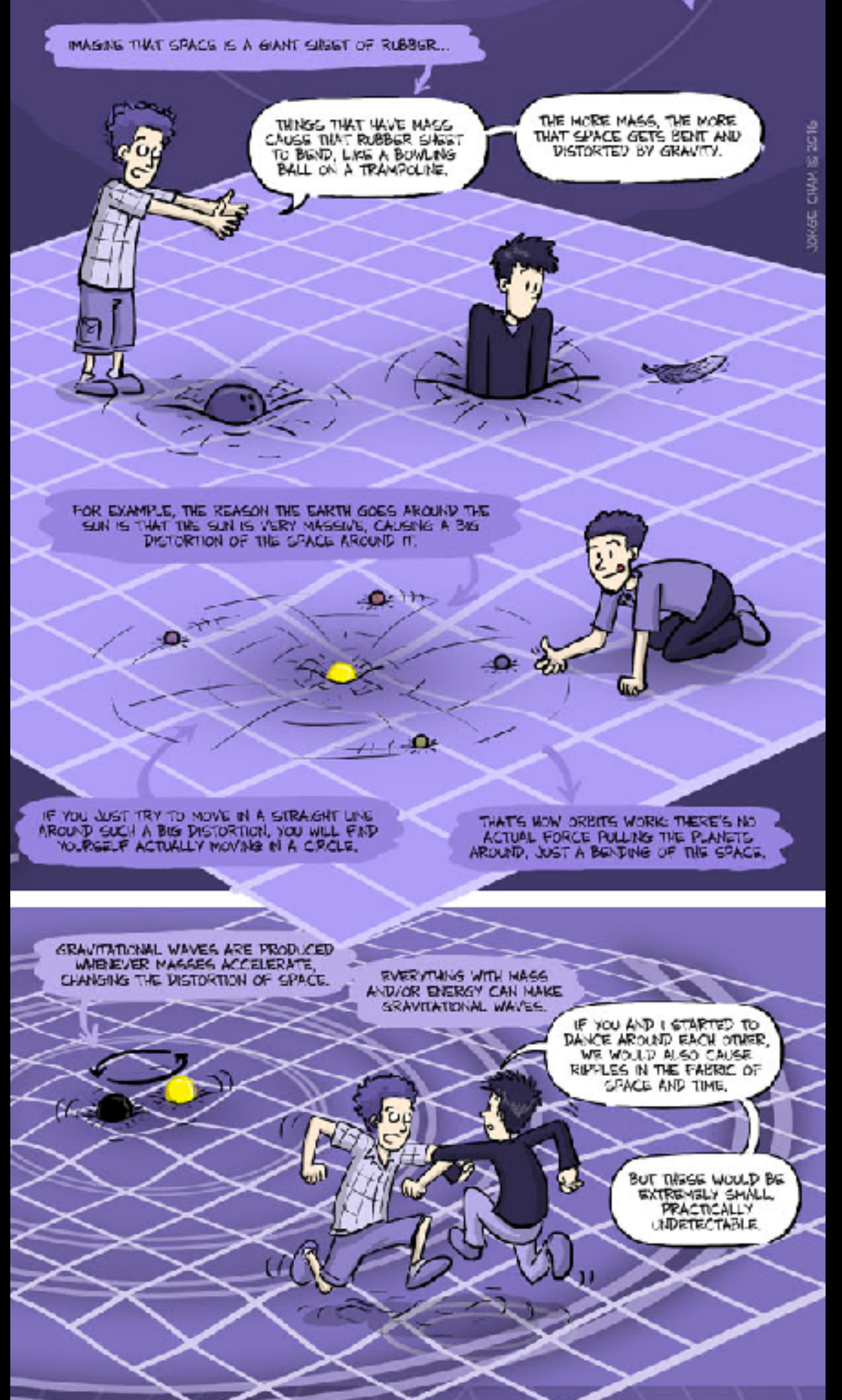
最近の宇宙研究の進展から

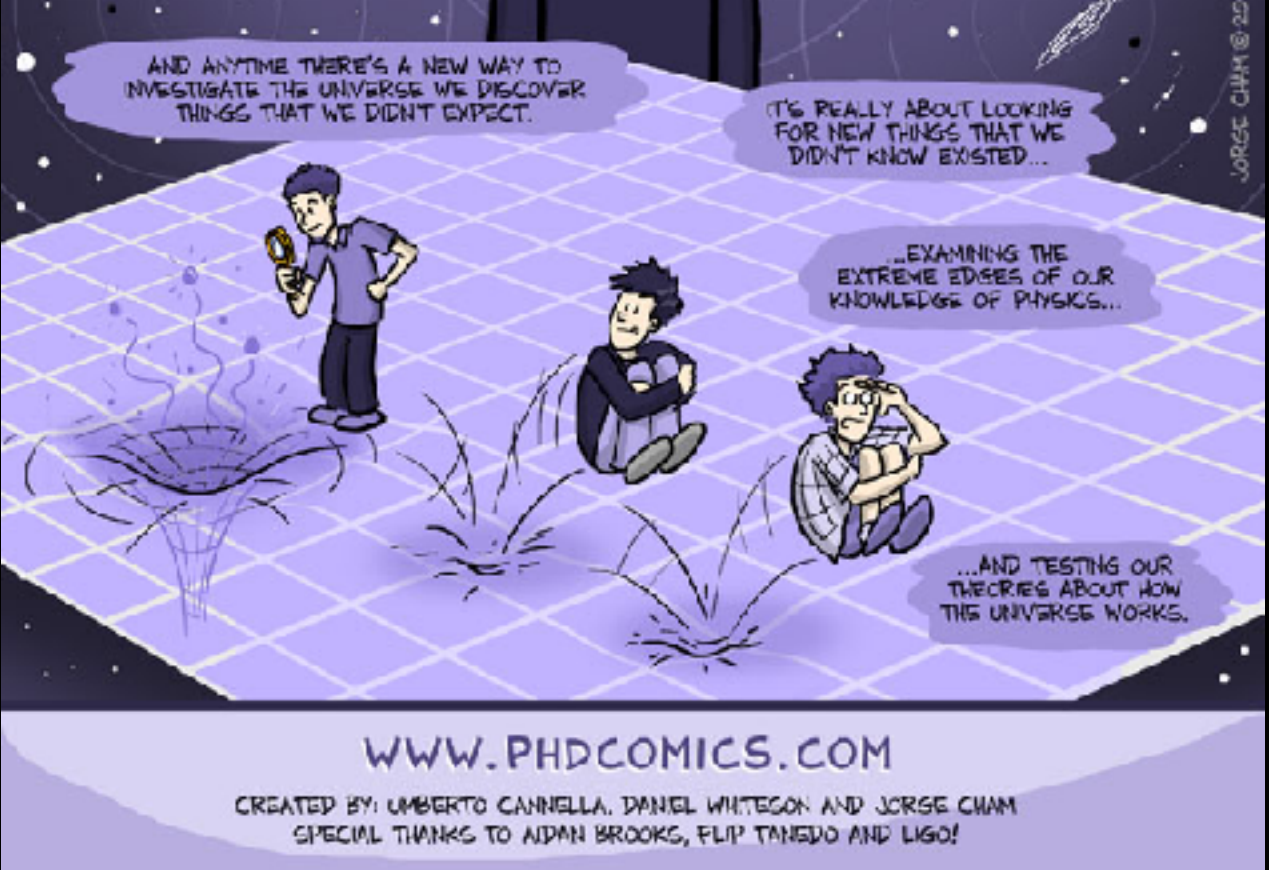
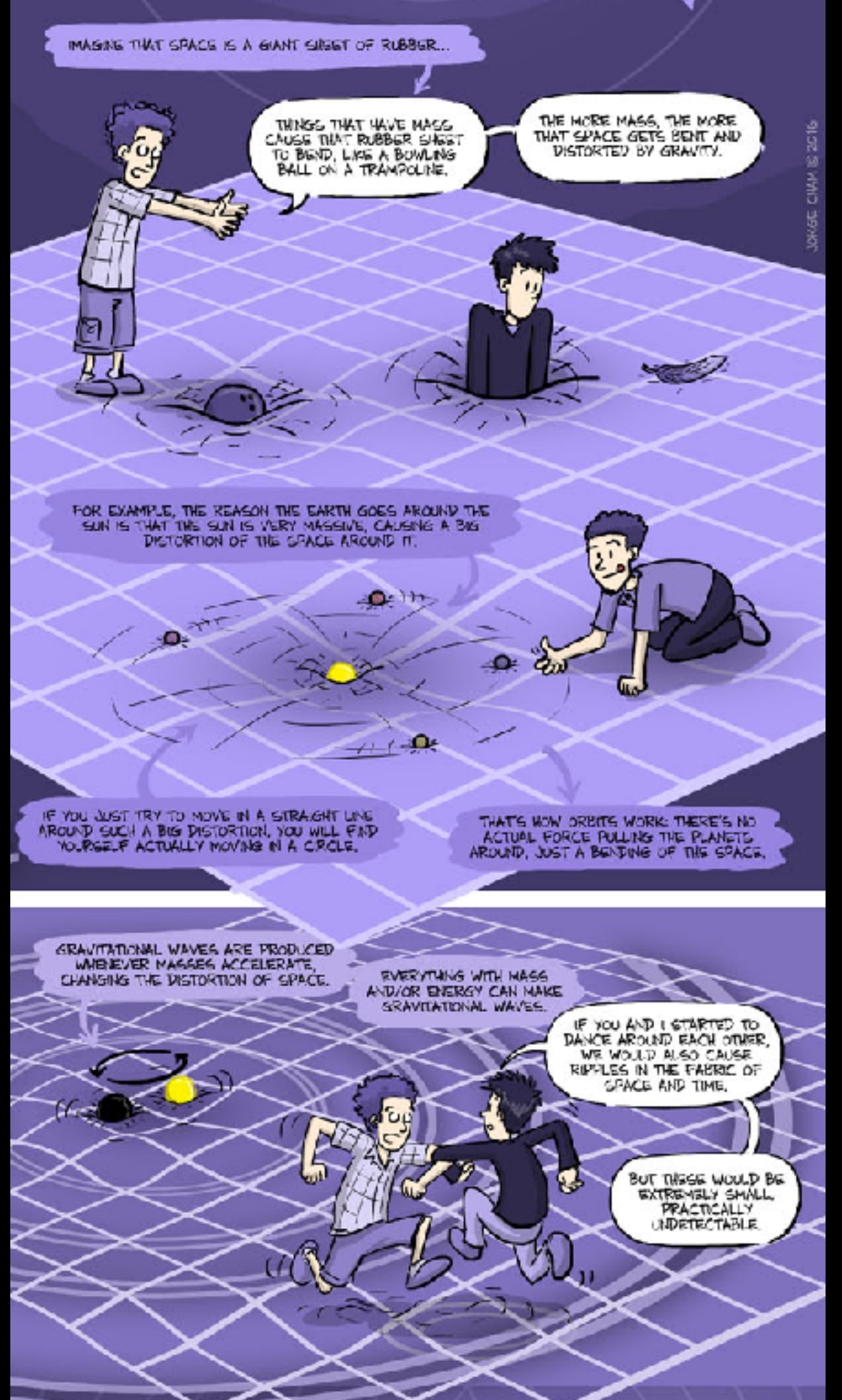
1. 太陽系内惑星探査
2. 太陽系外惑星探査 2018年ノーベル物理学賞
3. ブラックホールの観測 2020年ノーベル物理学賞
- 4. 重力波観測の現状** 2017年ノーベル物理学賞
5. 時計を使った相対性理論の検証

<http://www.oit.ac.jp/is/shinkai/>

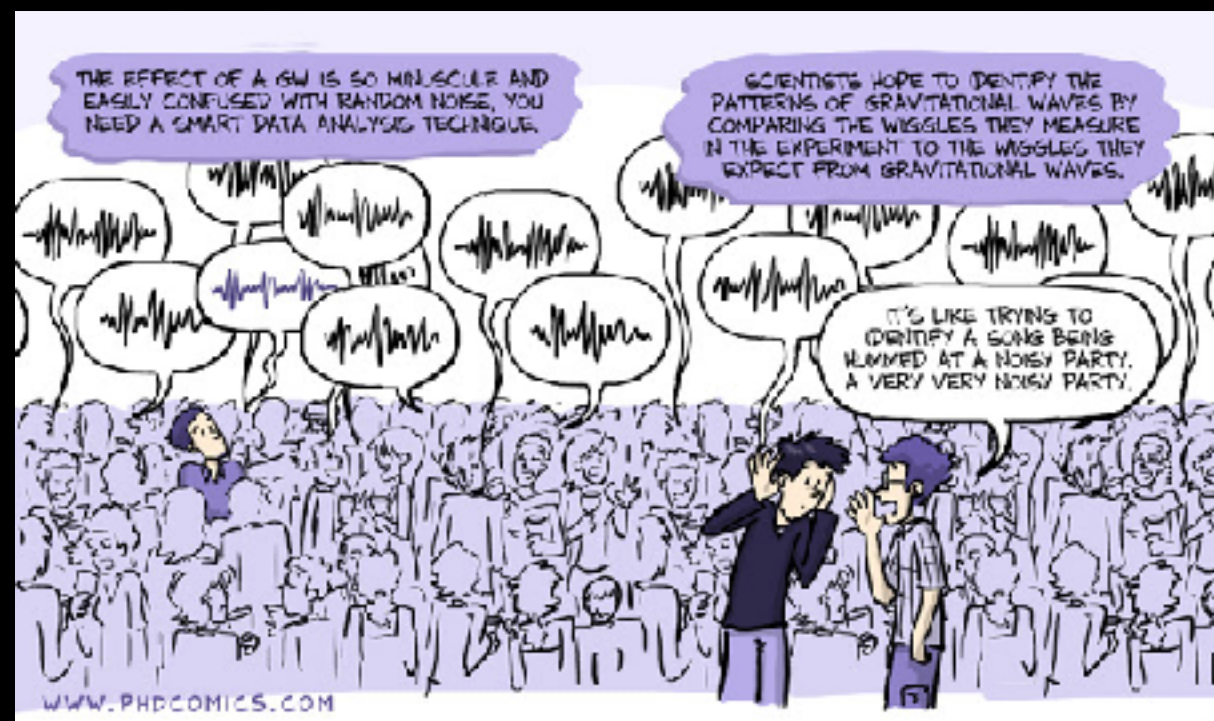
2021/3/10 サークルすばる@大阪中央会館

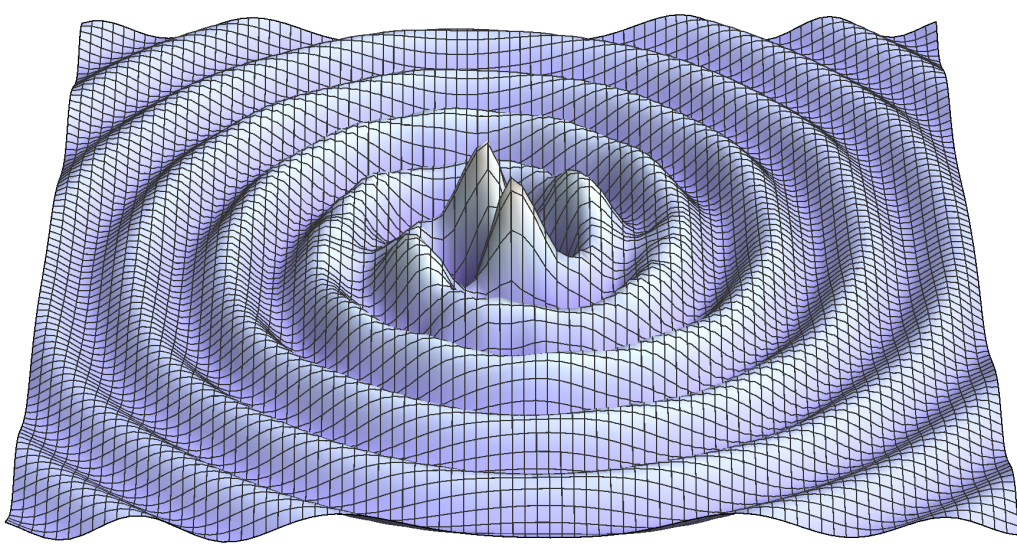






www.phdcomics.com
“gravitational waves explained”





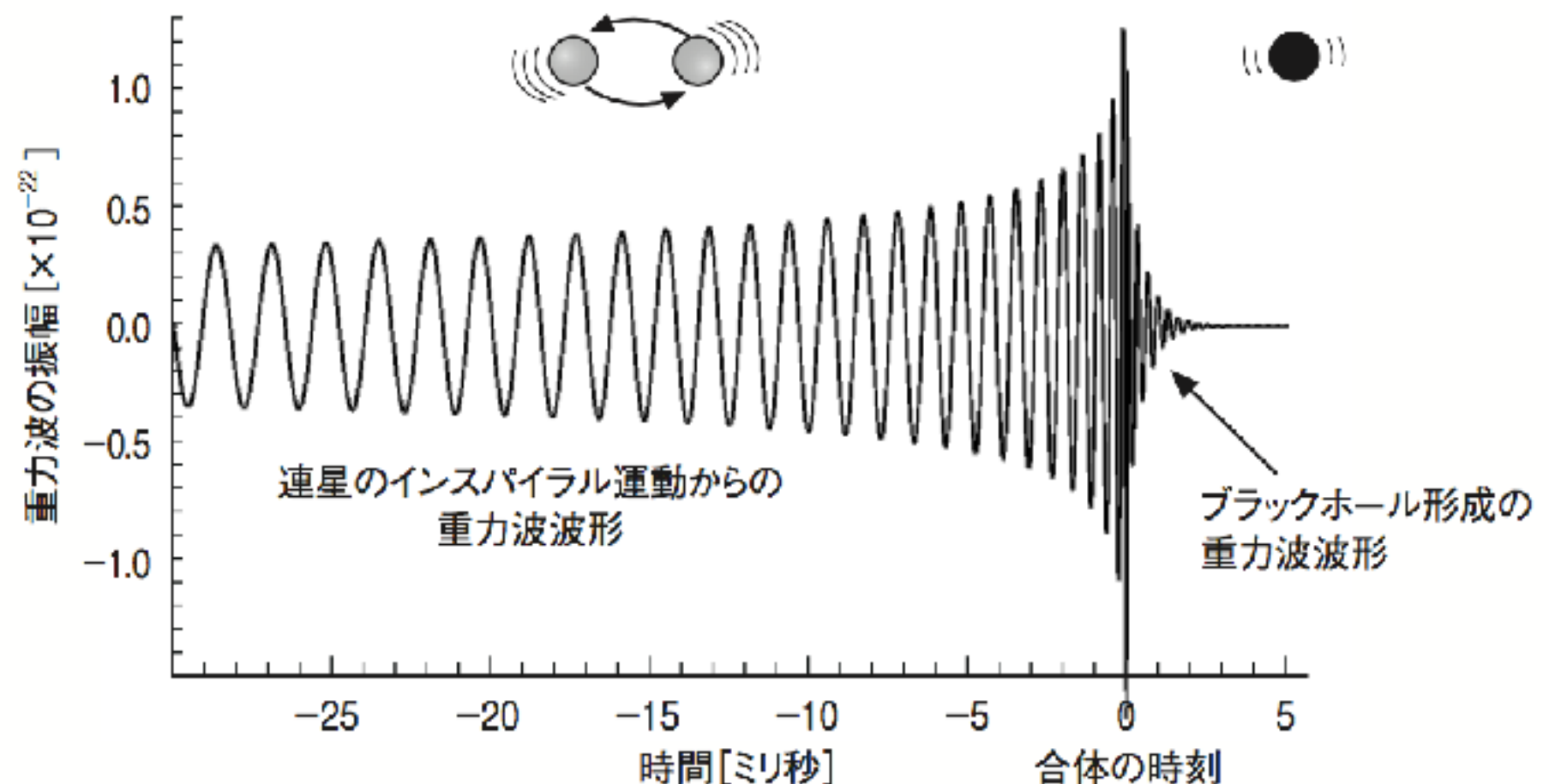
重力波の直接観測をしたい！

連星中性子星
連星ブラックホール

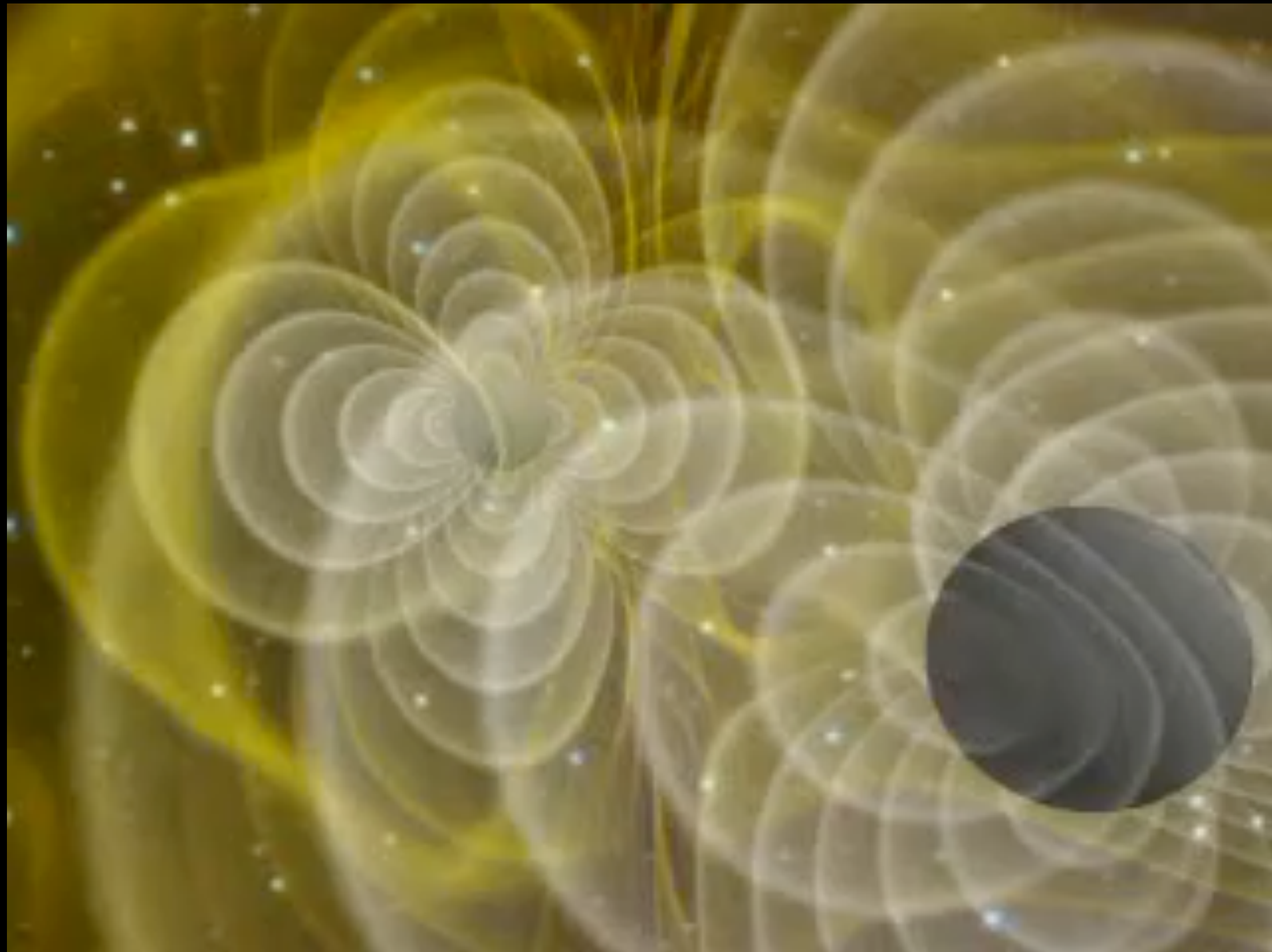
インスパイラル

合体

リングダウン



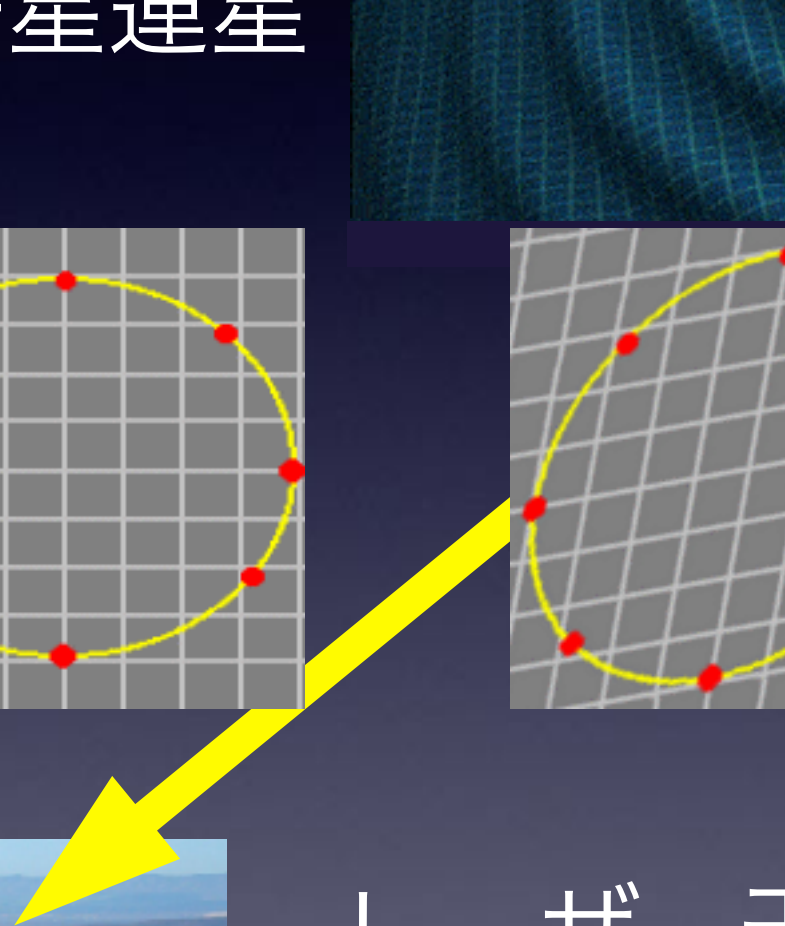
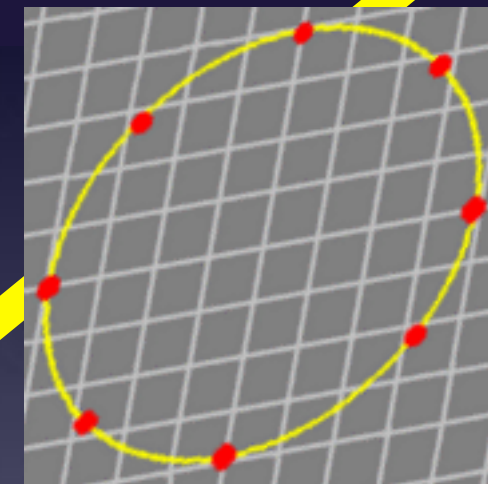
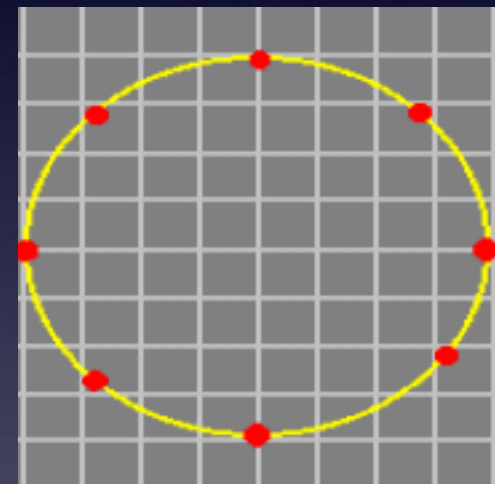
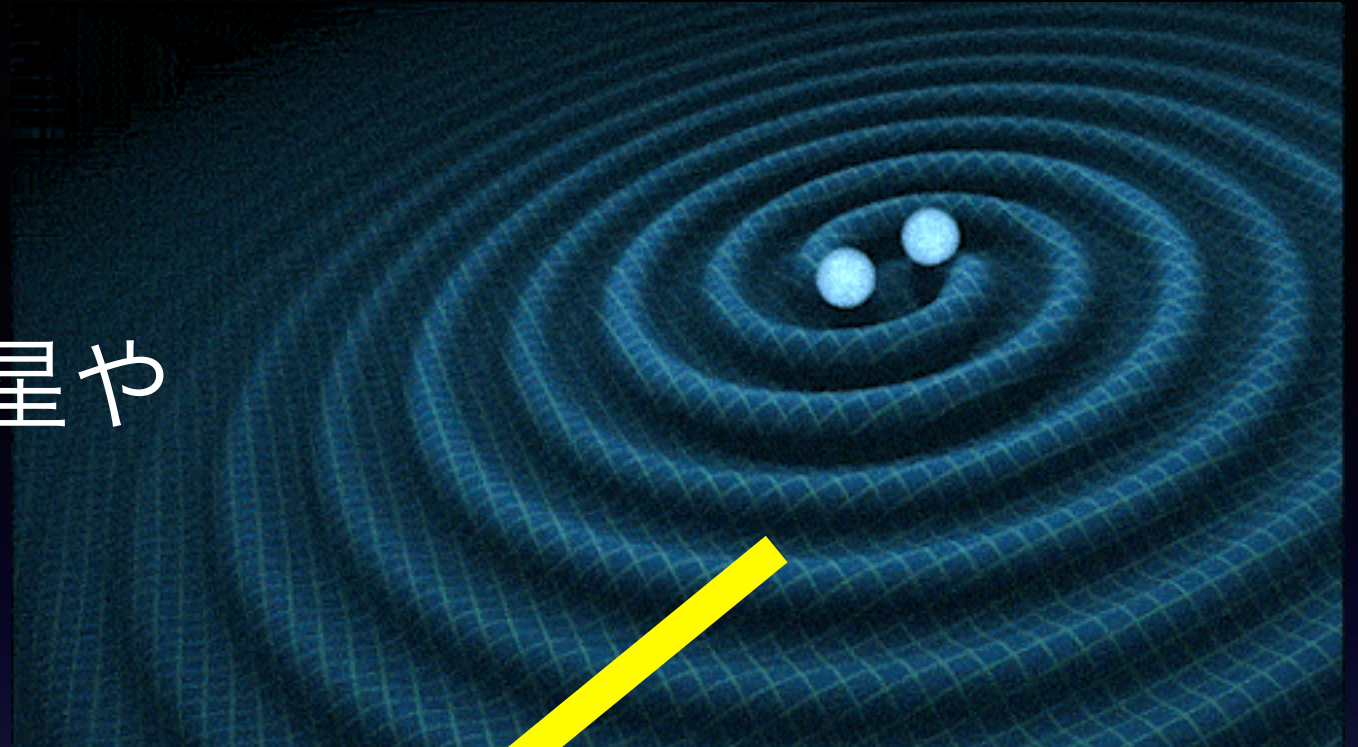
ブラックホールの合体シミュレーション



NCSA-AEI group (1998)

重力波の発生と伝播

ブラックホール連星や
中性子星連星



レーザー干渉計

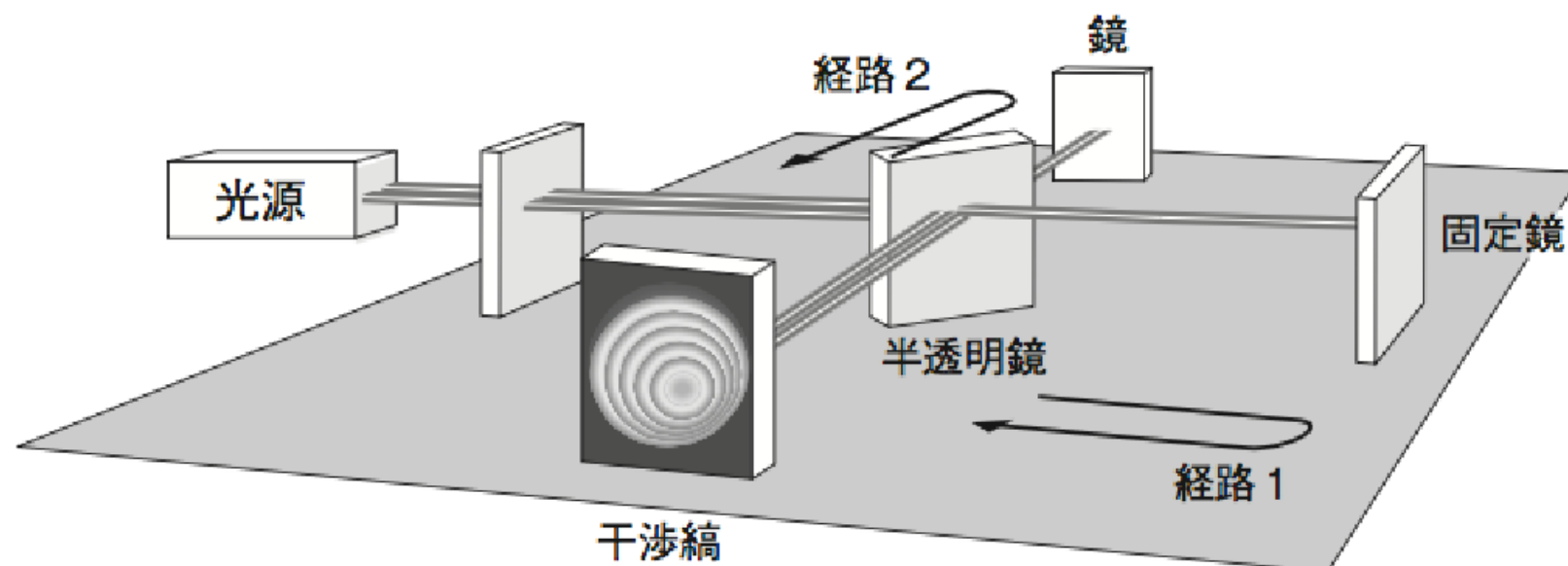
LIGO=Laser Interferometer
Gravitational-Wave Observatory

LIGO (ライゴ：レーザー干渉計重力波天文台)

Laser Interferometer Gravitational-Wave Observatory (1992年予算承認)

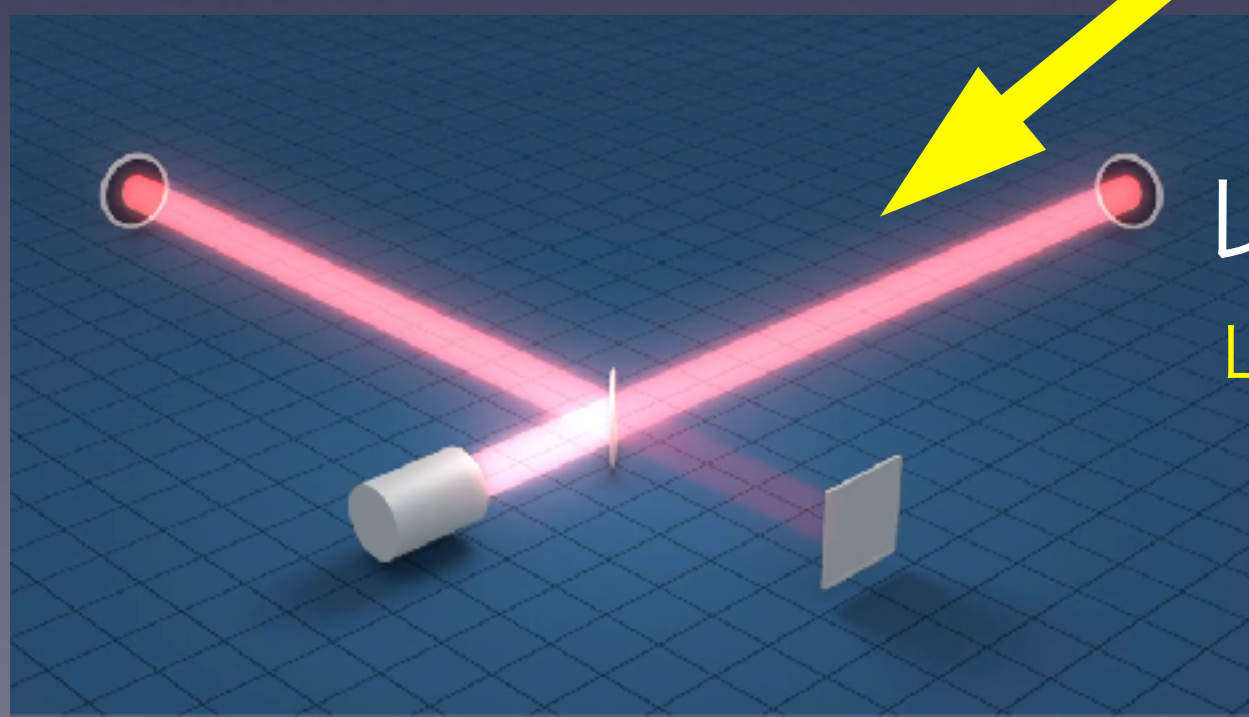
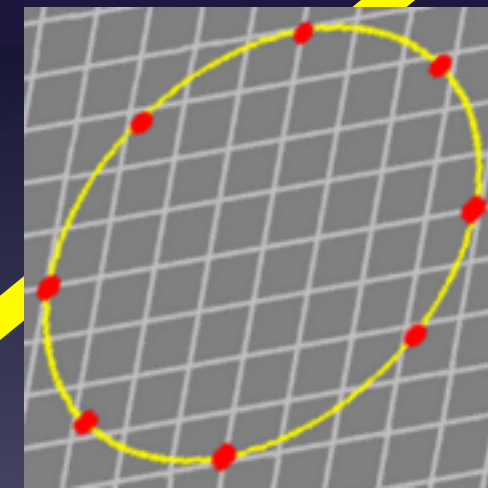
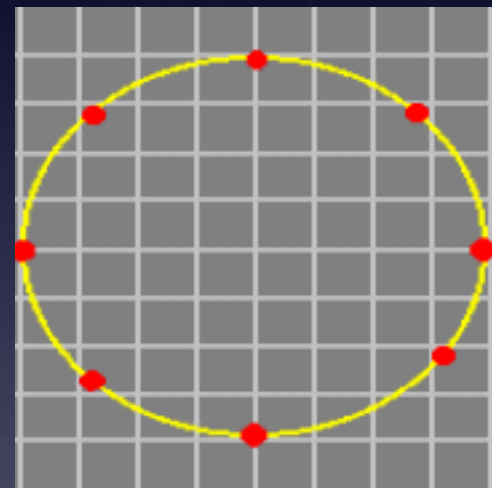
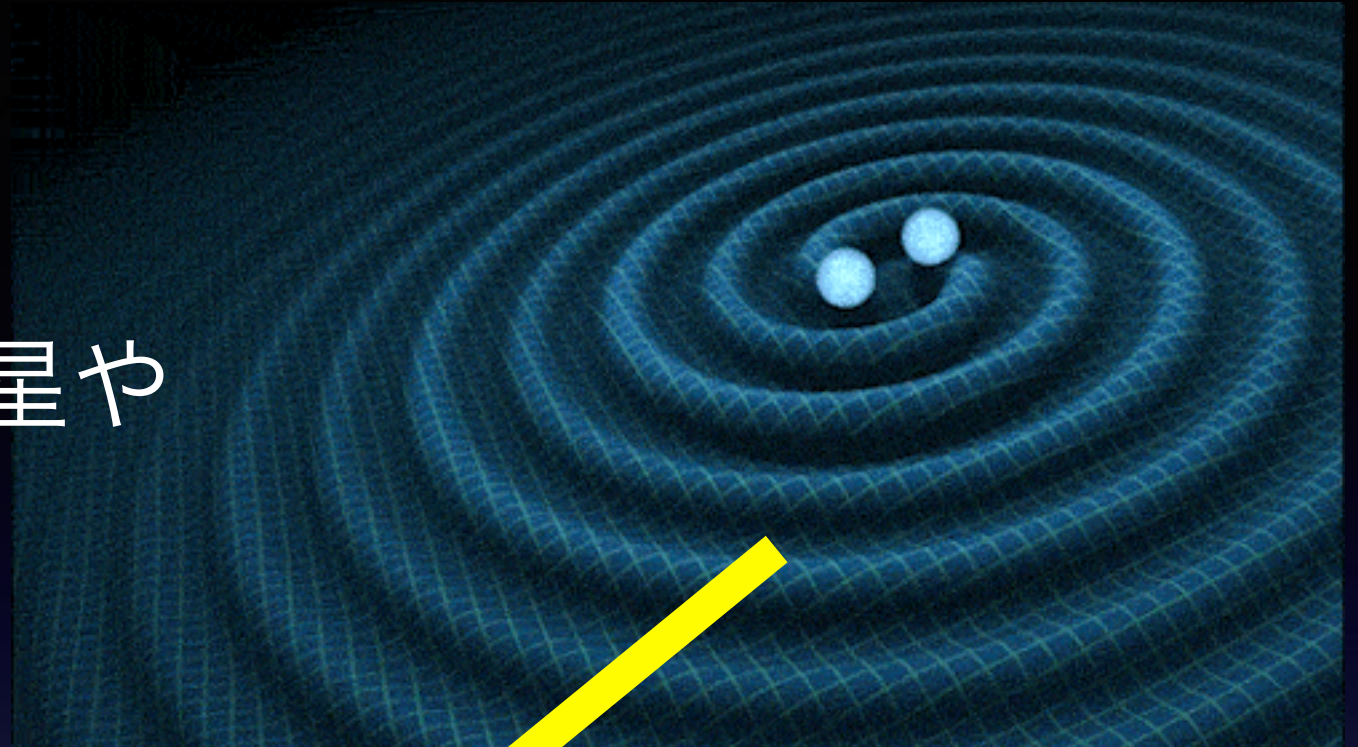


<https://mediaassets.caltech.edu/gwave>



重力波の発生と伝播

ブラックホール連星や
中性子星連星



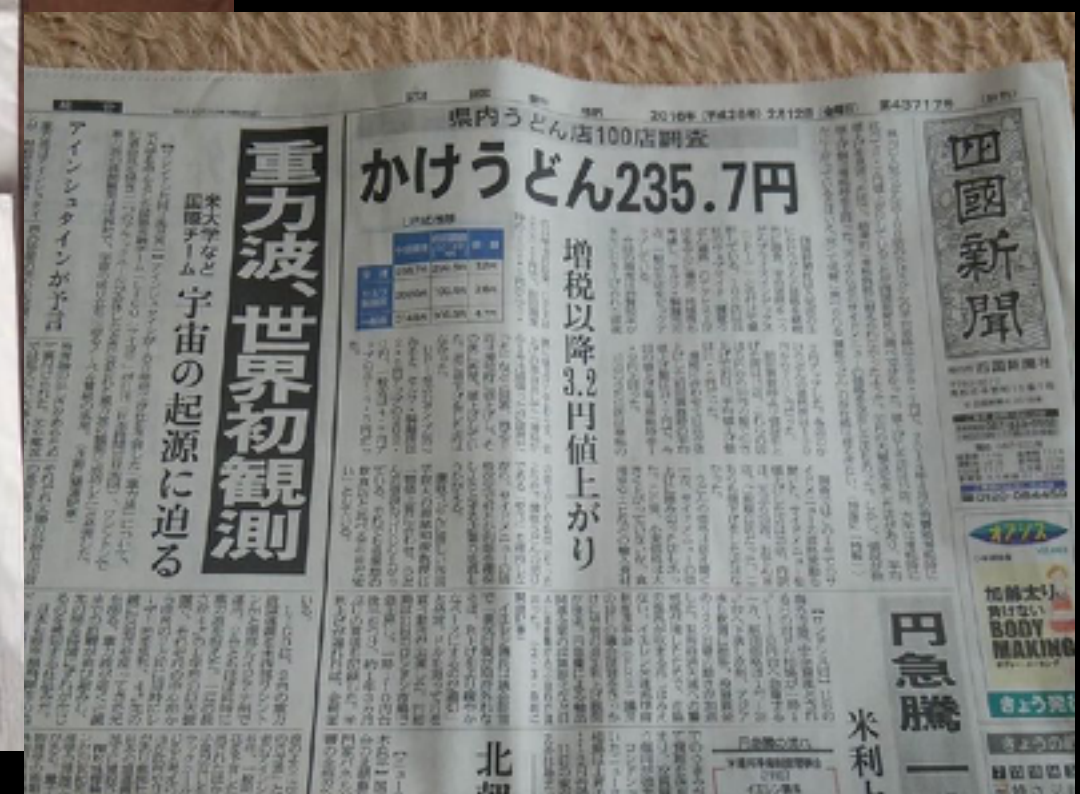
レーザー干渉計

LIGO=Laser Interferometer
Gravitational-Wave Observatory

2016年2月, LIGOが重力波を初めて検出した, と発表した



四国新聞だけ
ちがった. . . 残念 (笑)

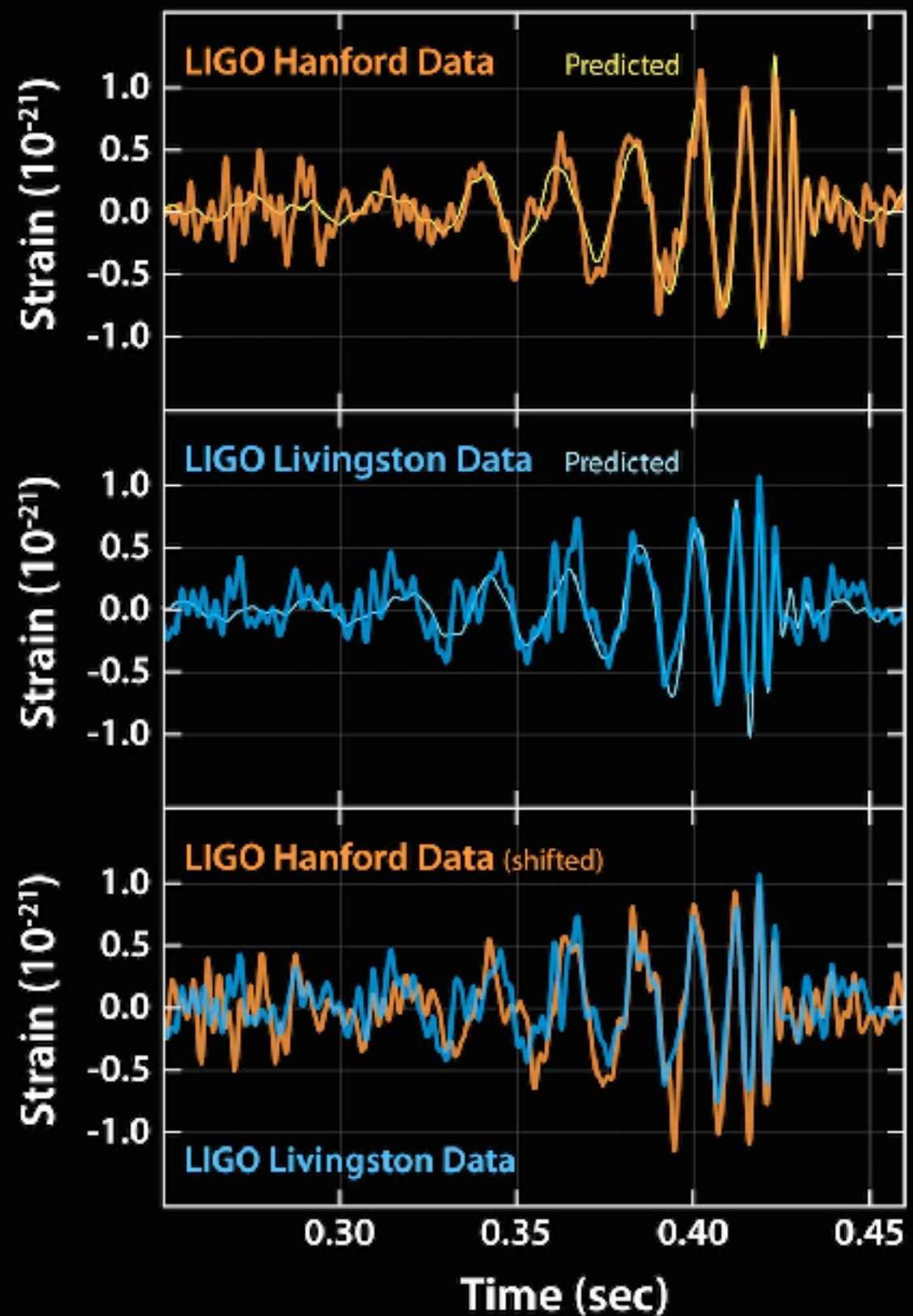


2016年2月, LIGOが重力波を初めて検出した, と発表した

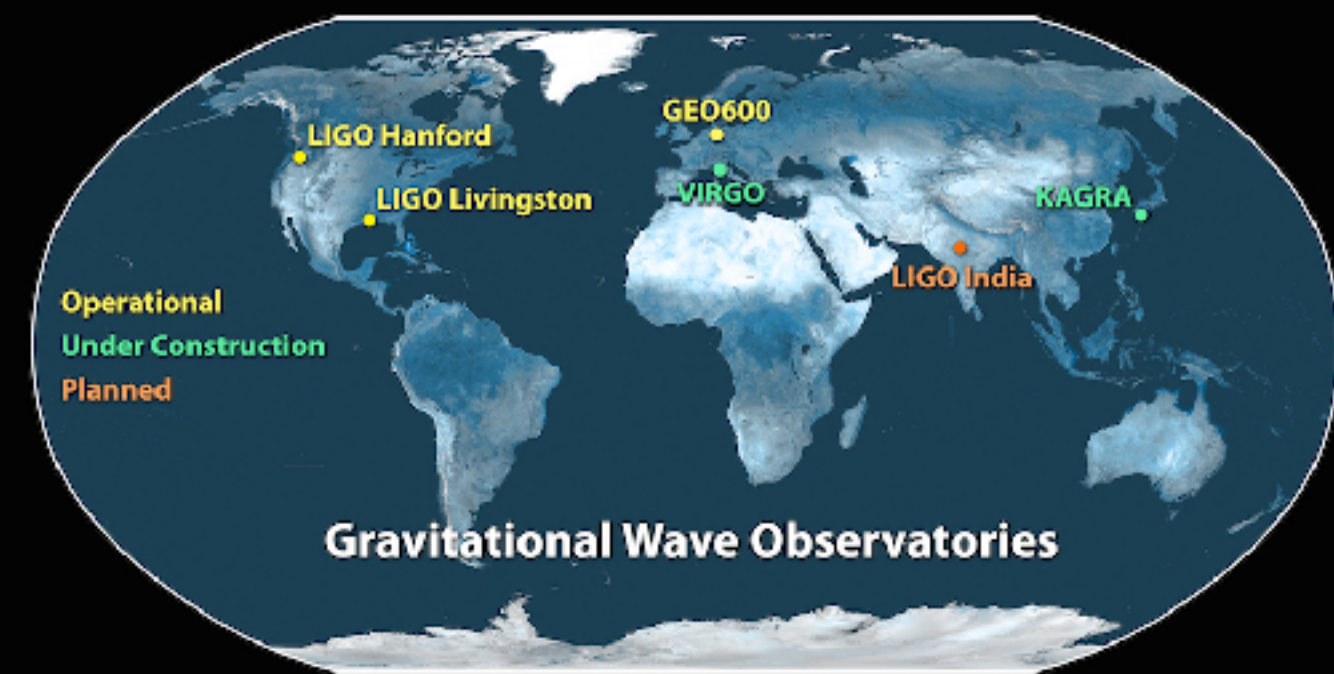
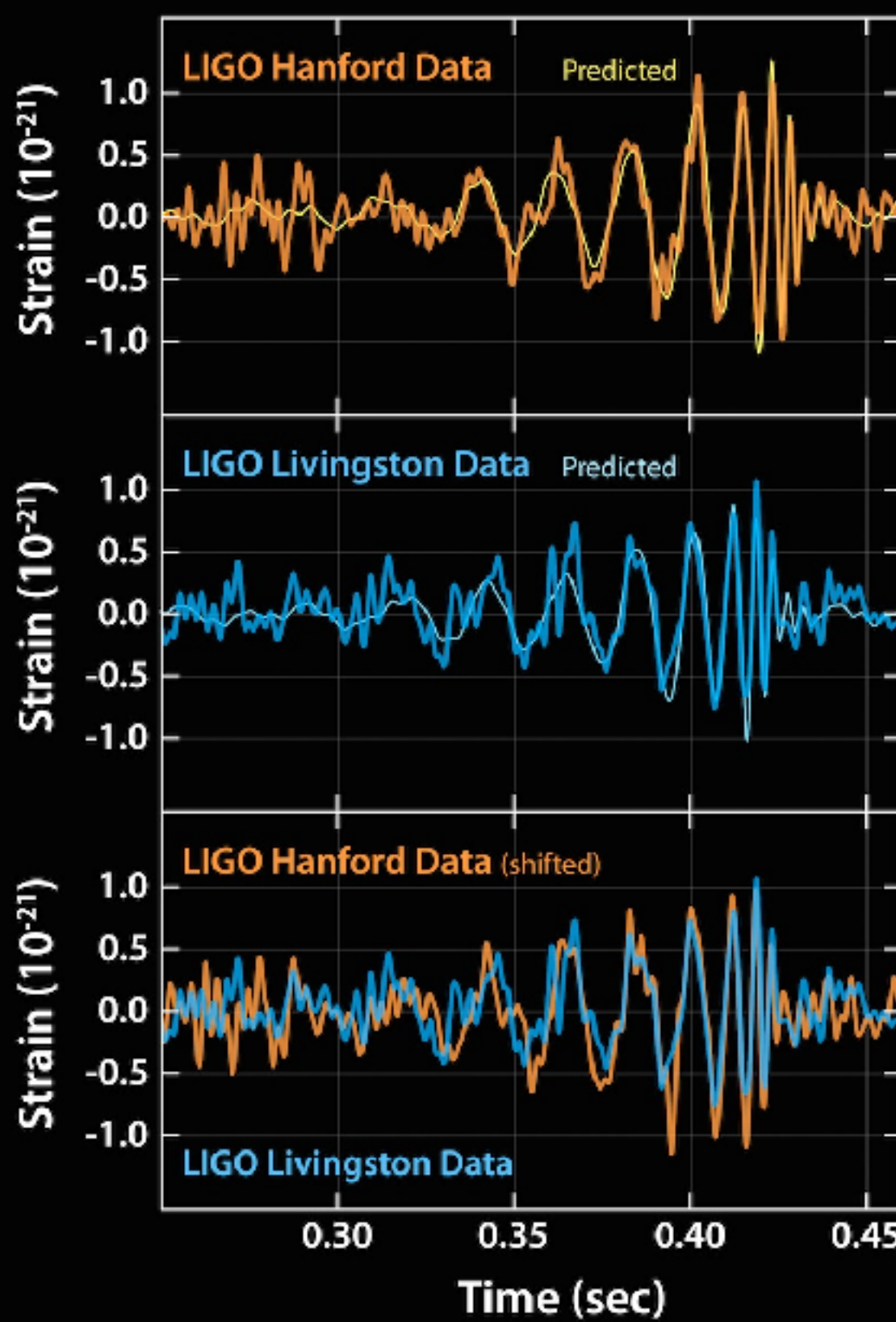
2015年9月14日



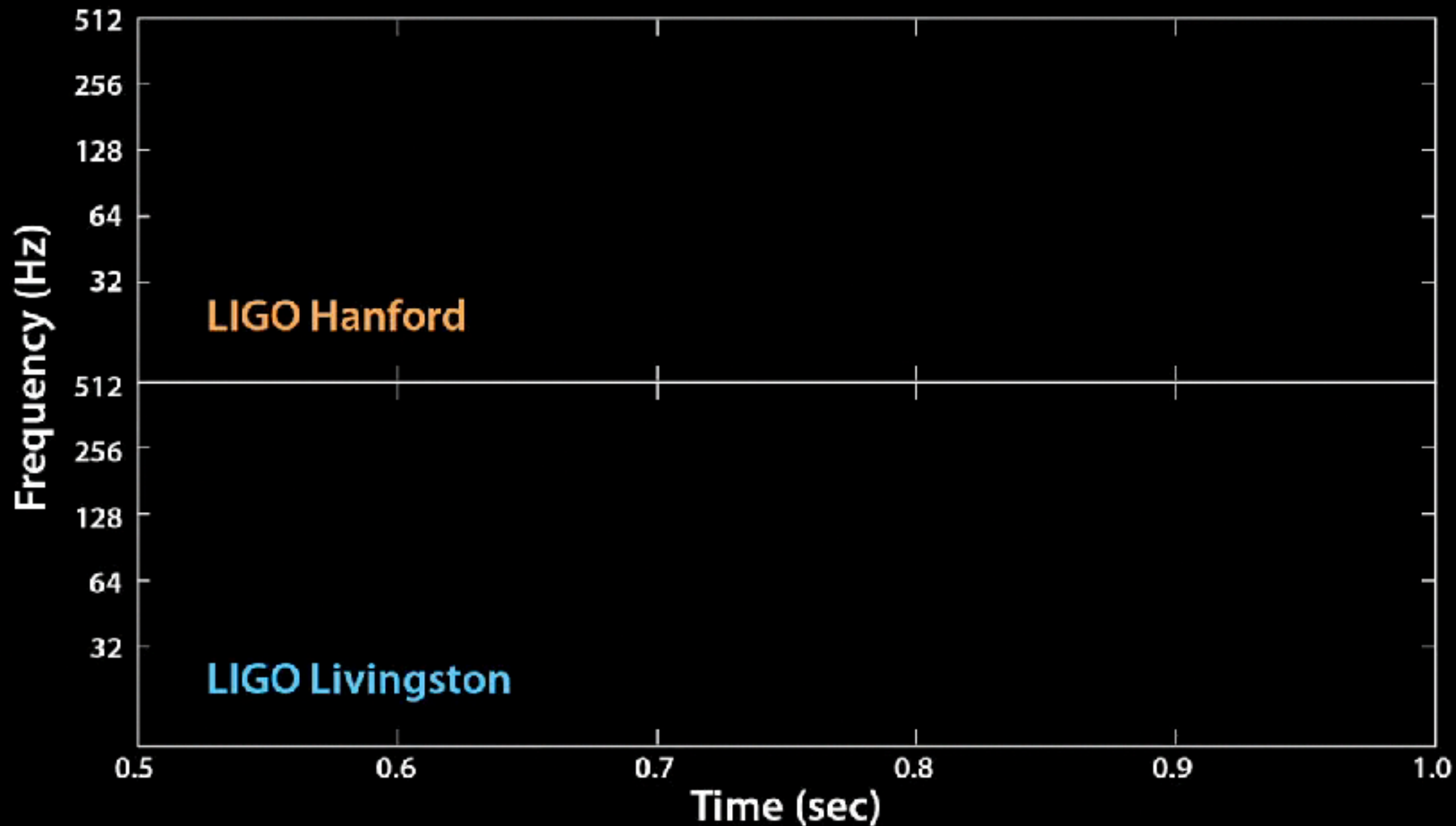
ブラックホール連星の合体
によって生じた重力波だった



2015年9月14日



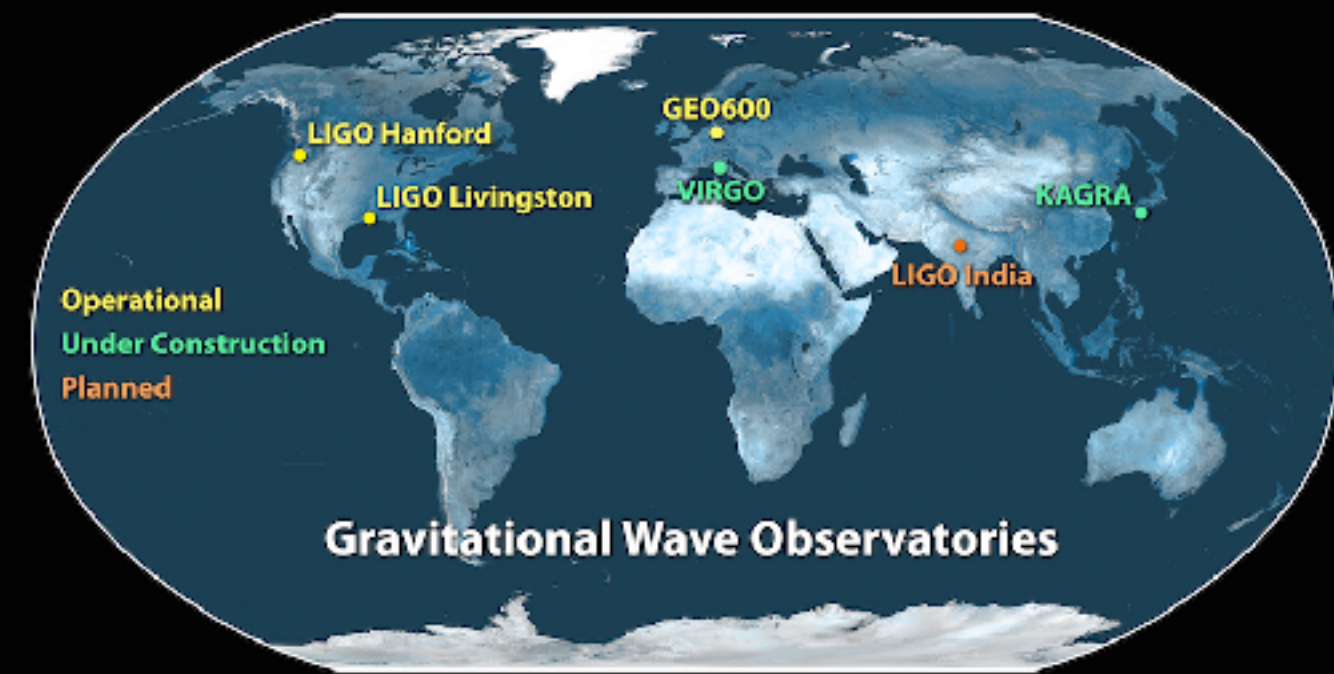
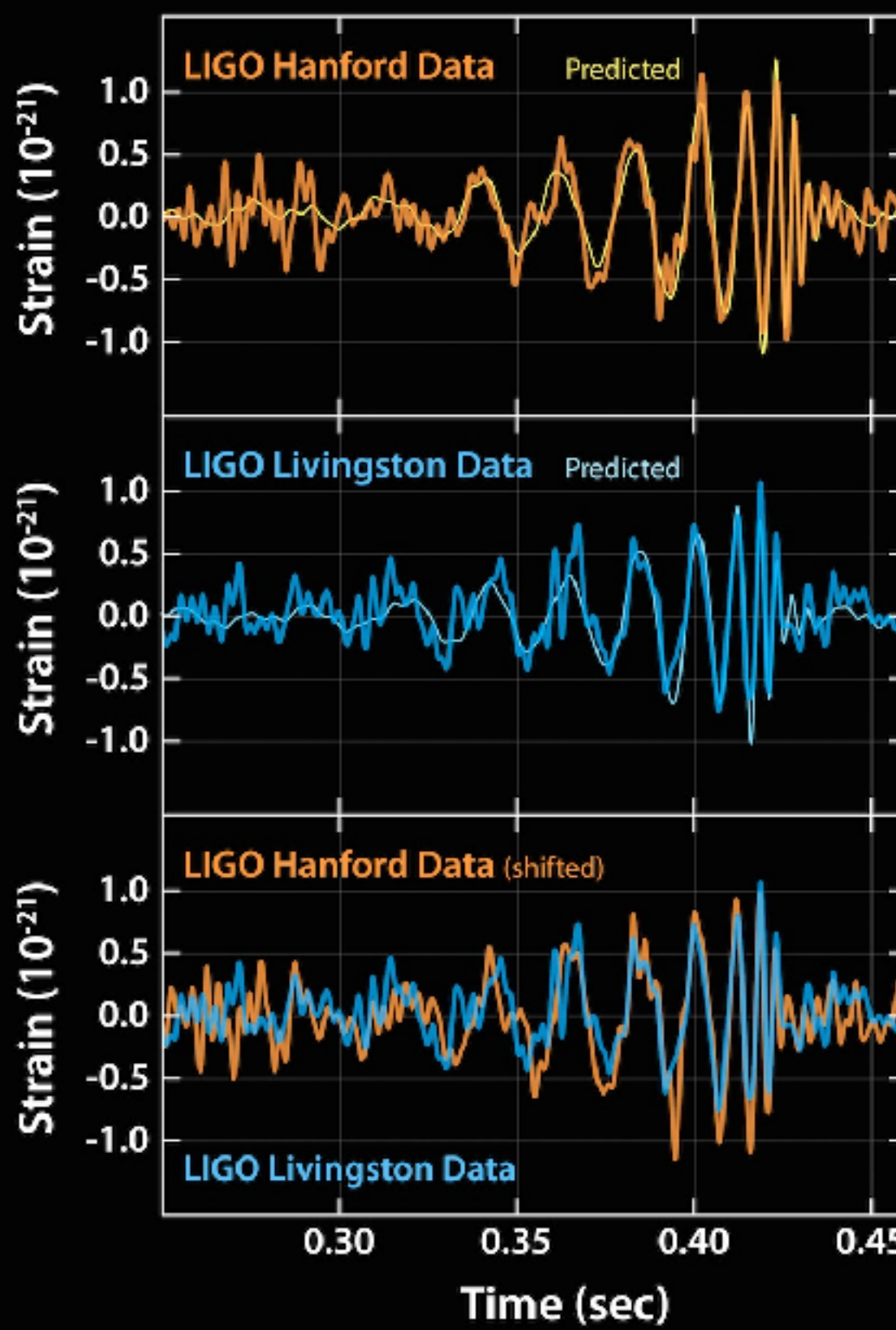
重力波波形を音にすると. . .



はじめ2回は実周波数、後の2回は聞えやすいように+400Hz

<https://mediaassets.caltech.edu/gwave>

2015年9月14日

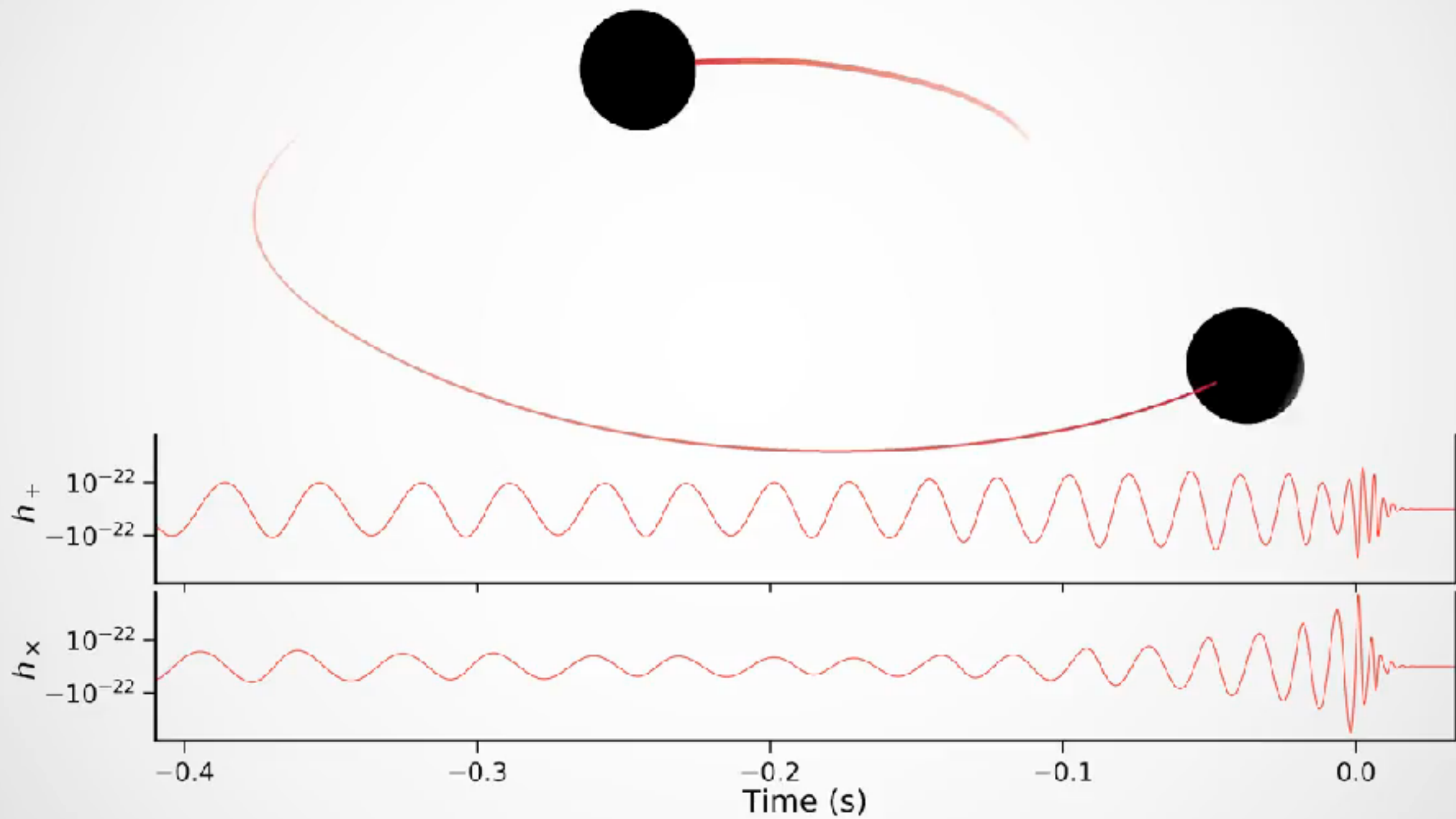


太陽の36倍と29倍のブラックホールが合体して、
太陽の62倍のブラックホール
になった。

3倍の質量が消失

$$E = mc^2$$

13億光年先



Animation of the inspiral and collision of two black holes consistent with the masses and spins of GW170104. The top part of the movie shows the black hole horizons (surfaces of "no return"). The initial two black holes orbit each other, until they merge and form one larger remnant black hole. The shown black holes are spinning, and angular momentum is exchanged among the two black holes and with the orbit. This results in a quite dramatic change in the orientation of the orbital plane, clearly visible in the movie. Furthermore, the spin-axes of the black holes change, as visible through the colored patch on each black hole horizon, which indicates the north pole.

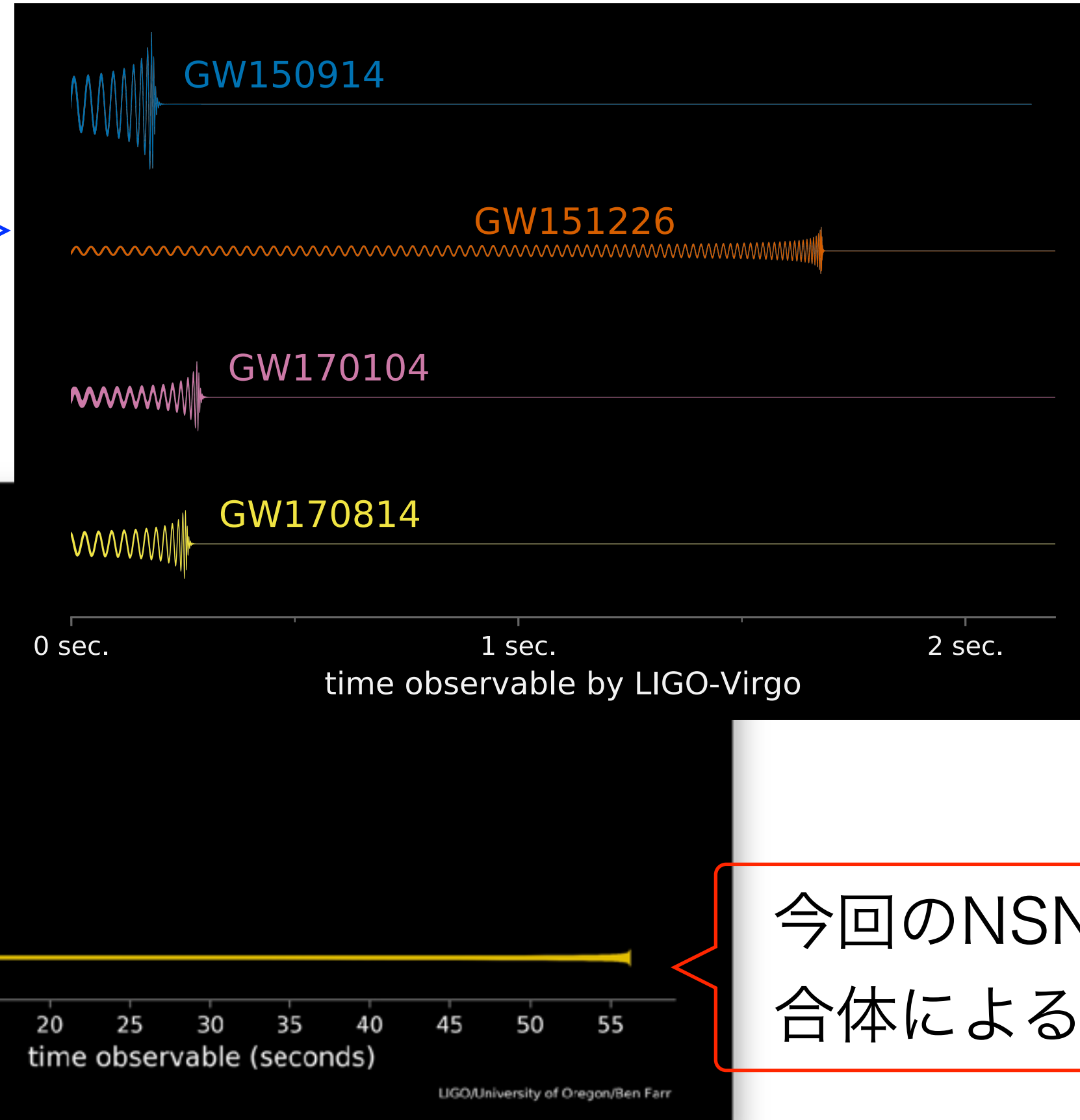
The lower part of the movie shows the two distinct gravitational waves (called 'polarizations') that the merger is emitting into the direction of the camera. The modulations of the polarizations depend sensitively on the orientation of the orbital plane, and thus encode information about the orientation of the orbital plane and its change during the inspiral. Presently, LIGO can only measure one of the polarizations and therefore obtains only limited information about the orientation of the binary. This disadvantage will be remedied with the advent of additional gravitational wave detectors in Italy, Japan and India.

Finally, the slowed-down replay of the merger at the end of the movie makes it possible to observe the distortion of the newly formed remnant black hole, which decays quickly. Furthermore, the remnant black hole is "kicked" by the emitted gravitational waves, and moves upward. (Credit: A. Babul/H. Pfeiffer/CITA/SXS.) - See more at: <http://ligo.org/detections/GW170104.php#sthash.NZPaW2LT.dpu>

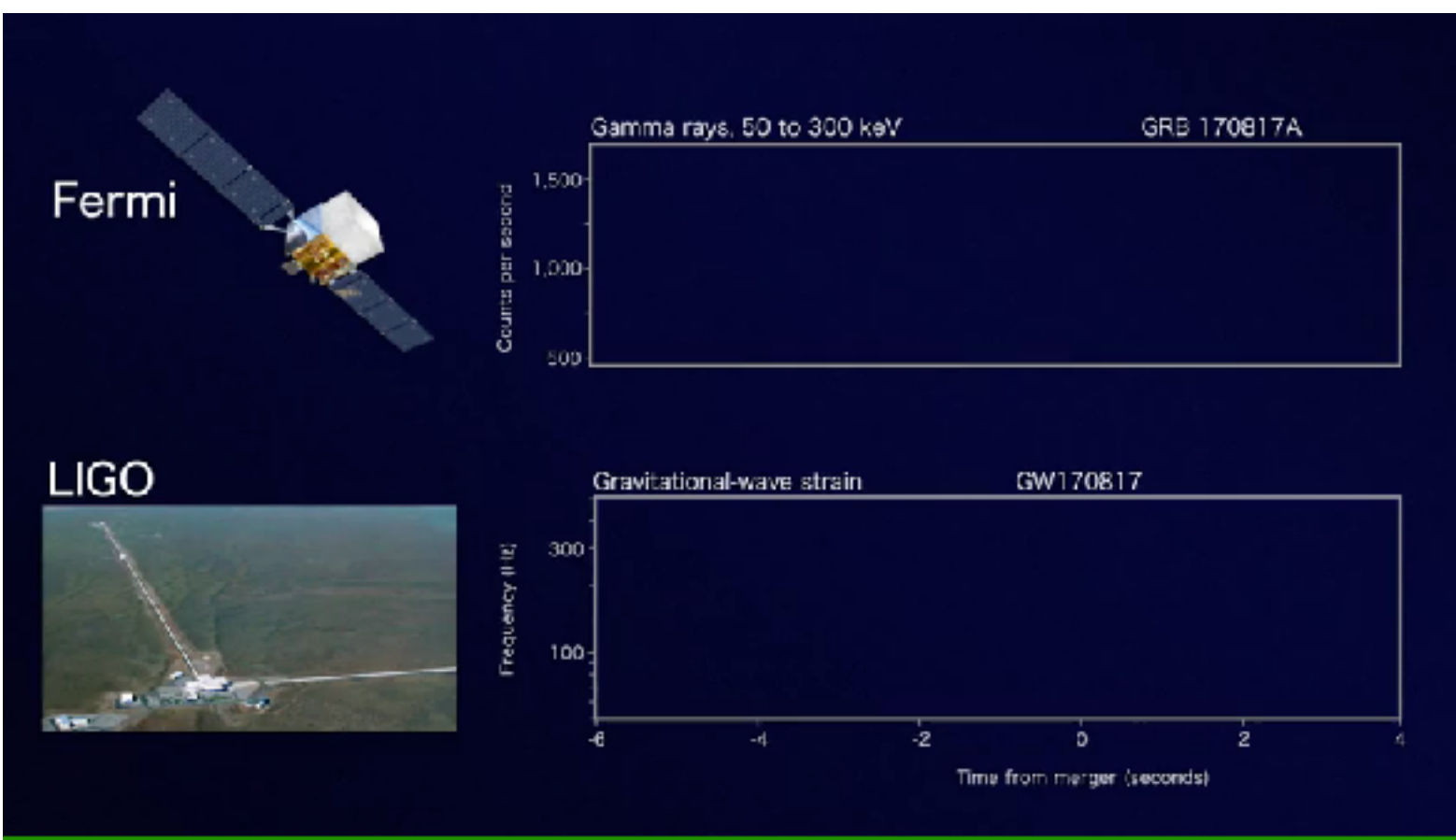
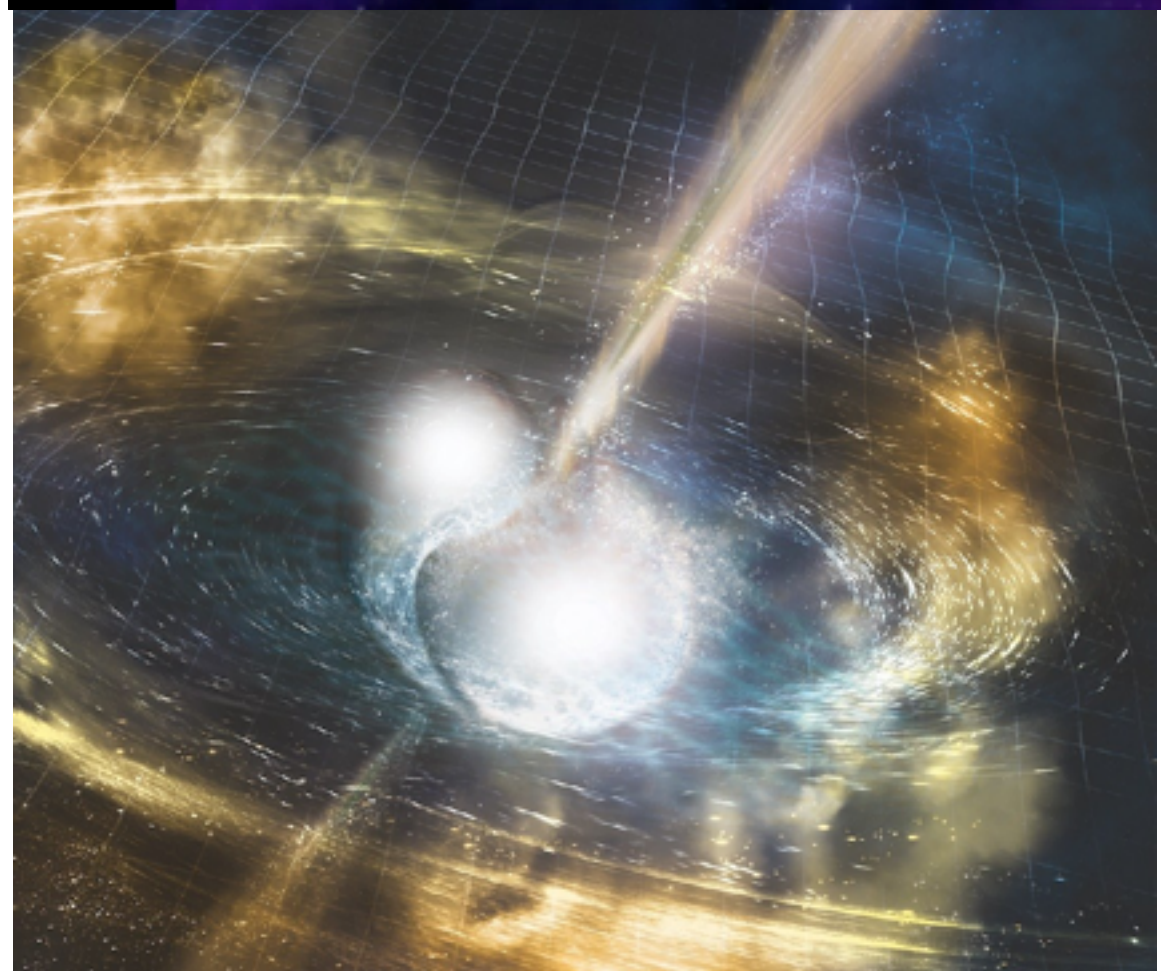
連星中性子星合体 重力波検出、多くの天文台が同時観測

GW170817

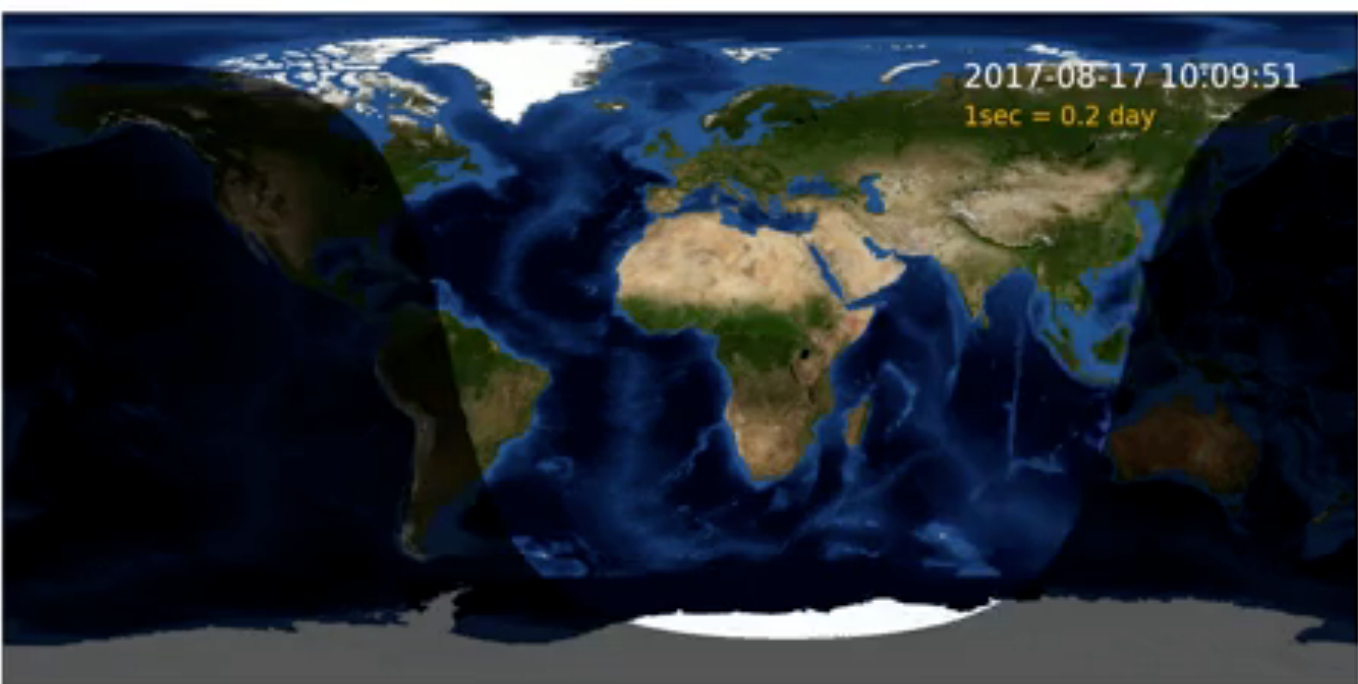
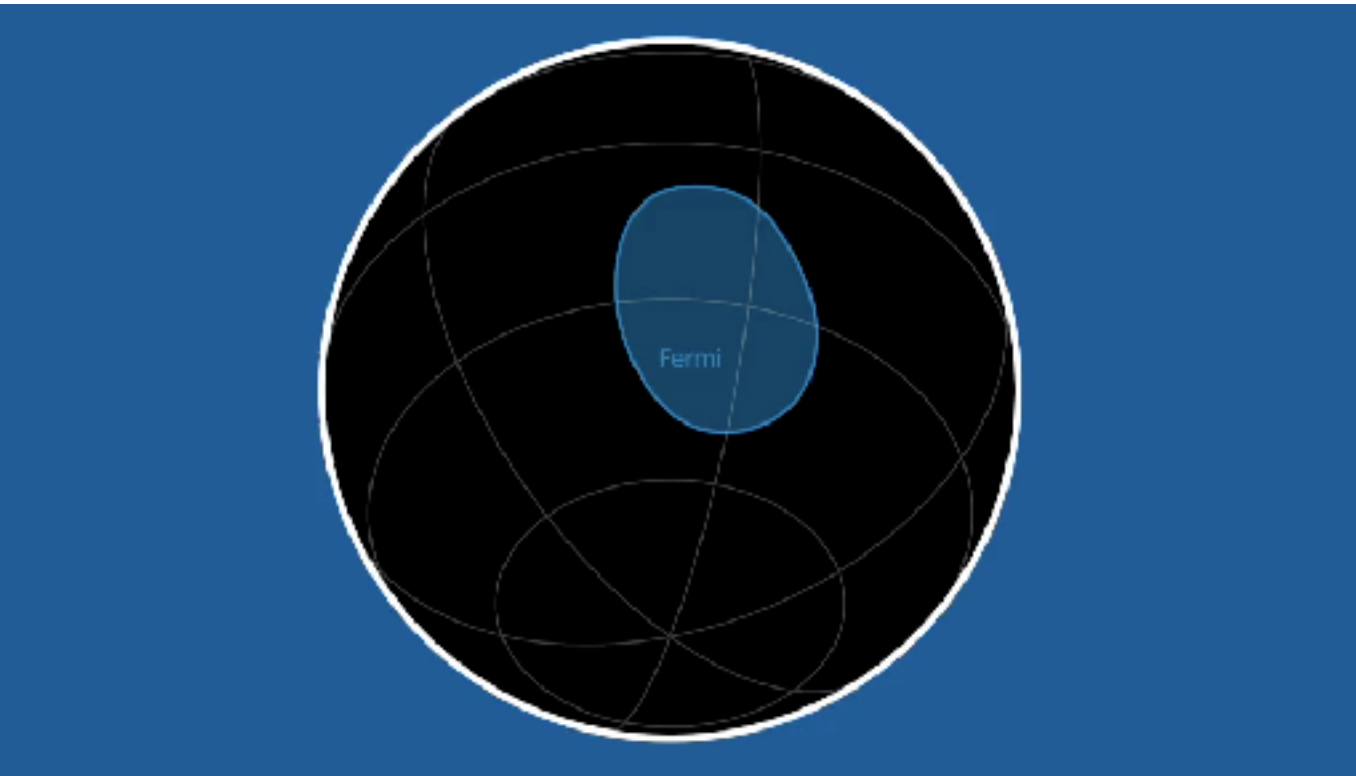
これまでの
BHBH合体
による重力波



連星中性子星合体 重力波検出、多くの天文台が同時観測 GW170817



連星中性子星合体 重力波検出、多くの天文台が同時観測 GW170817



波源はNGC4993 (40Mpc先) !

1億3000万光年先

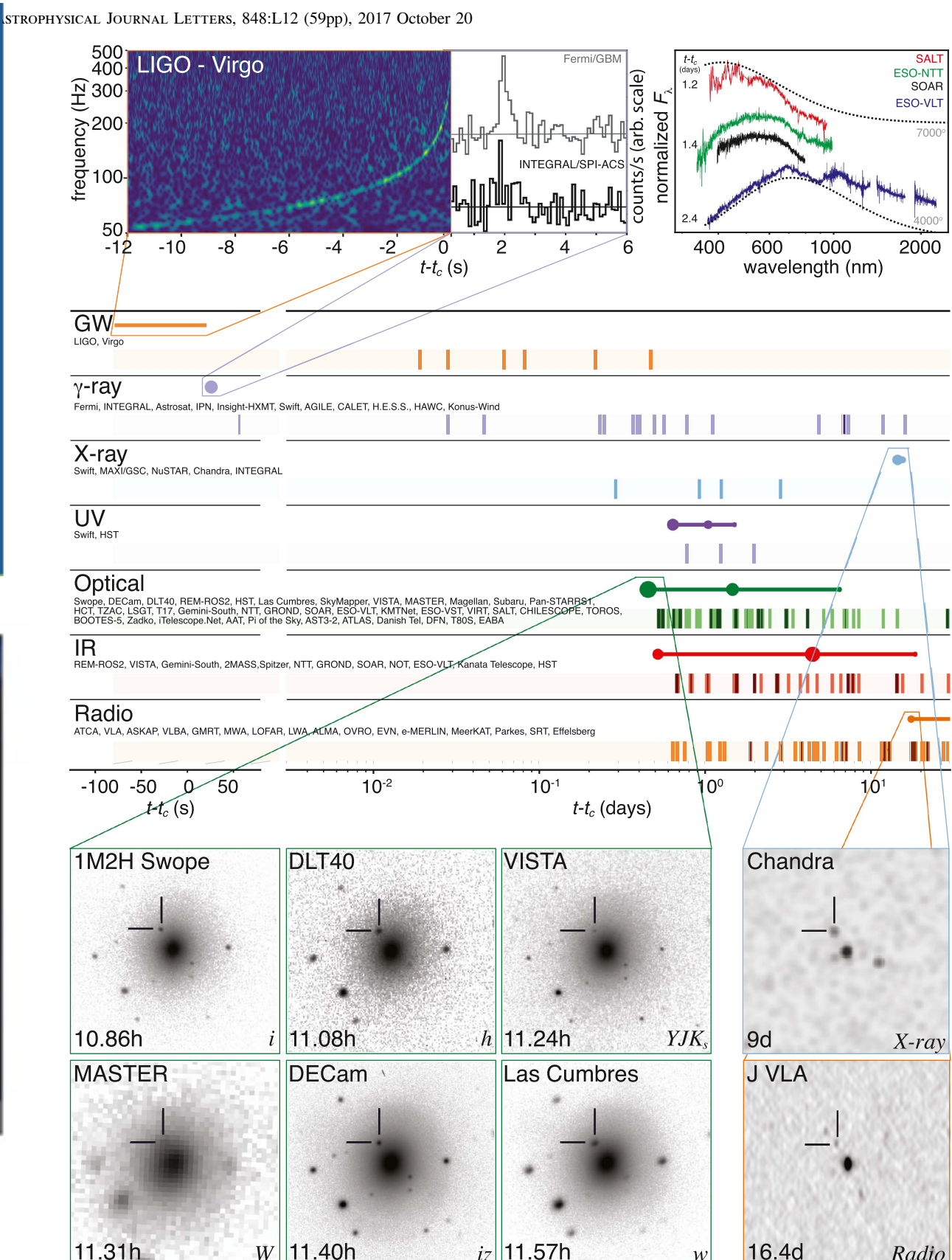


Figure 2. Timeline of the discovery of GW170817, GRB 170817A, SSS17a/AT 2017gfo, and the follow-up observations are shown by messenger and wavelength relative to the time t_c of the gravitational-wave event. Two types of information are shown for each band/messenger. First, the shaded dashes represent the time interval where the signal was detected.

連星中性子星合体 重力波検出、多くの天文台が同時観測 GW170817

**FIRST COSMIC EVENT OBSERVED
IN GRAVITATIONAL WAVES AND LIGHT**
Colliding Neutron Stars Mark New Beginning of Discoveries

Gravitational wave lasted over 100 seconds

On August 17, 2017, 12:41 UTC, LIGO (US) and Virgo (Europe) detect gravitational waves from the merger of two neutron stars, each around 1.5 times the mass of our Sun. This is the first detection of spacetime ripples from neutron stars.

Within two seconds, NASA's Fermi Gamma-ray Space Telescope detects a short gamma-ray burst from a region of the sky overlapping the LIGO/Virgo position. Optical telescope observations pinpoint the origin of this signal to NGC 4993, a galaxy located 130 million light years distant.

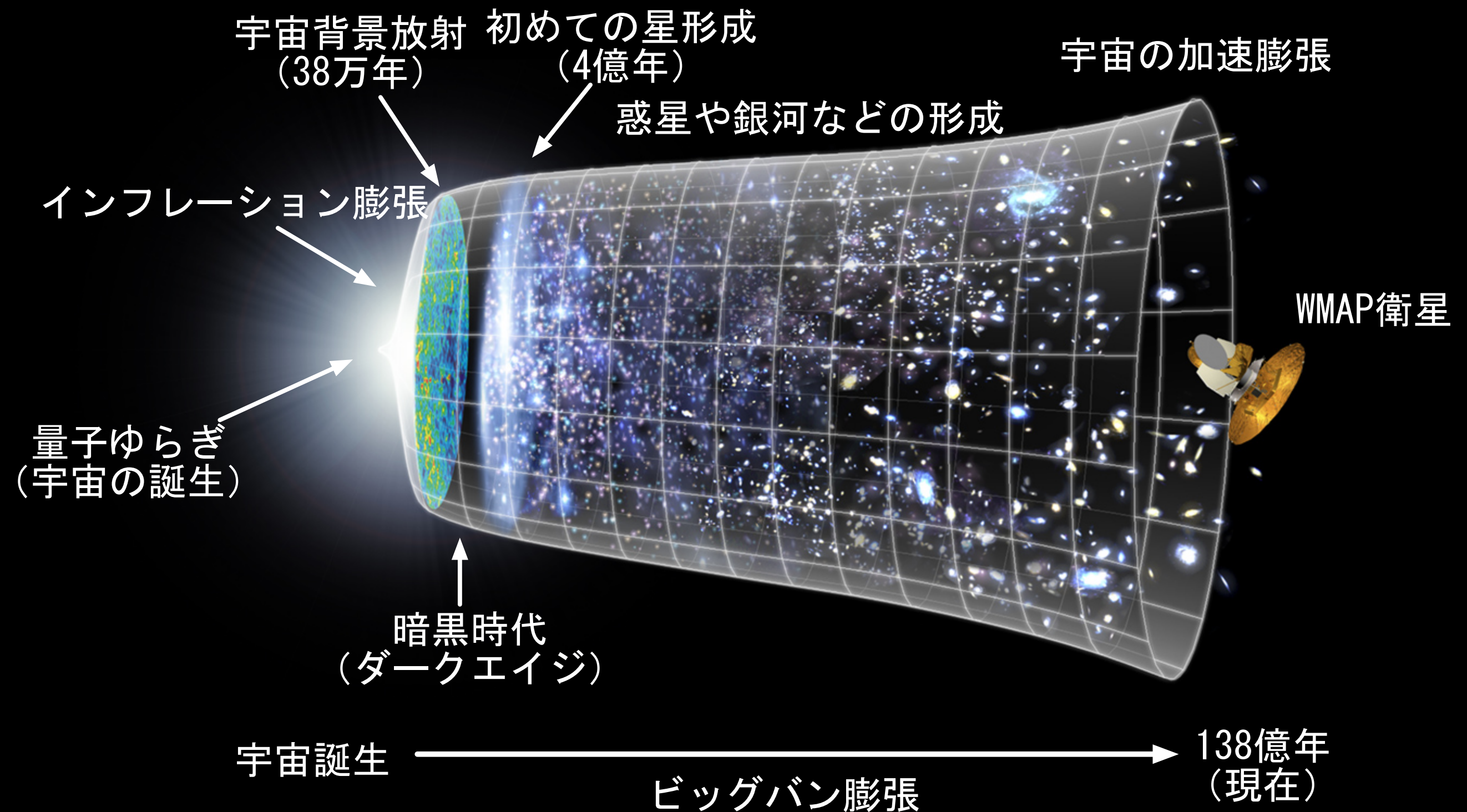
Collision creates light across the entire electromagnetic spectrum. Joint observations independently confirm Einstein's General Theory of Relativity, help measure the age of the Universe, and provide clues to the origins of heavy elements like gold and platinum

LIGO Georgia Tech Center for Relativistic Astrophysics NSF

周期表 (periodic table)

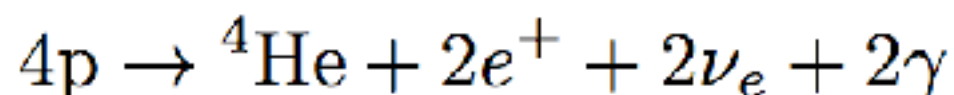
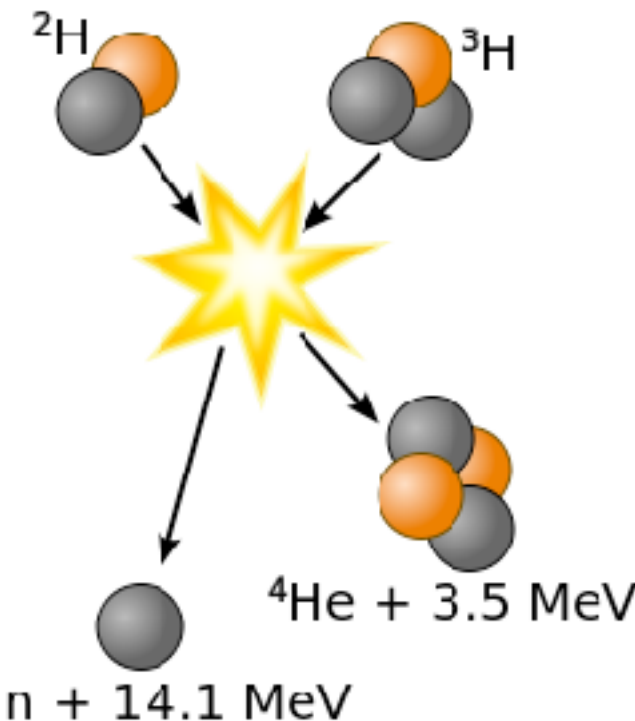
Period	1	元素周期表 (Periodic Table)																		18			
	IA																	VIII A					
1	H 水素 hydrogen 1.008	2 II A		3 III B		4 IV B		5 V B		6 VI B		7 VII B		8 VIII B		9 VIII B		10 I B		11 I B		12 II B	
1	1s	1 H 水素 hydrogen 1.008	2 II A	3 Li リチウム lithium 6.941	4 Be ベリリウム beryllium 9.012	5 Sc スカンジウム scandium 44.96	6 Ti チタン titanium 47.87	7 V バナジウム vanadium 50.94	8 Cr クロム chromium 52.00	9 Mn マンガン manganese 54.94	10 Fe 鉄 iron 55.85	11 Co コバルト cobalt 58.93	12 Ni ニッケル nickel 58.69	13 Cu 銅 copper 63.55	14 Zn 亜鉛 zinc 65.41	15 Al アルミニウム aluminum 26.98	16 Si ケイ素 silicon 28.09	17 P リン phosphorus 30.97	18 S 硫黄 sulfur 32.07	19 Cl 塩素 chlorine 35.45	20 Ar アルゴン argon 39.95	21 Ne ヘリウム helium 4.003	
2	2s	↑ 非金属元素	↓ 金属元素	常温で気体	单体は半導体	常温で液体	单体は強磁性体	放射性同位体のみからなる元素	→ 非金属元素	↓ 金属元素	5 B ホウ素 boron 10.81	6 C 炭素 carbon 12.01	7 N 窒素 nitrogen 14.01	8 O 酸素 oxygen 16.00	9 F フッ素 fluorine 19.00	10 Ne ネオン neon 20.18							
3	3s	11 Na ナトリウム sodium 22.99	12 Mg マグネシウム magnesium 24.31	3d	21 Sc スカンジウム scandium 44.96	22 Ti チタン titanium 47.87	23 V バナジウム vanadium 50.94	24 Cr クロム chromium 52.00	25 Mn マンガン manganese 54.94	26 Fe 鉄 iron 55.85	27 Co コバルト cobalt 58.93	28 Ni ニッケル nickel 58.69	29 Cu 銅 copper 63.55	30 Zn 亜鉛 zinc 65.41	31 Ga ガリウム gallium 69.72	32 Ge ゲルマニウム germanium 72.64	33 As ヒ素 arsenic 74.92	34 Se セレン selenium 78.96	35 Br 臭素 bromine 79.90	36 Kr クリプトン krypton 83.80			
4	4s	19 K カリウム potassium 39.10	20 Ca カルシウム calcium 40.08	4d	39 Y イットリウム yttrium 88.91	40 Zr ジルコニウム zirconium 91.22	41 Nb ニオブ niobium 92.91	42 Mo モリブデン molybdenum 95.94	43 Tc テクネチウム technetium 98	44 Ru ルテニウム ruthenium 101.1	45 Rh ロジウム rhodium 102.9	46 Pd パラジウム palladium 106.4	47 Ag 銀 silver 107.9	48 Cd カドミウム cadmium 112.4	49 In インジウム indium 114.8	50 Sn スズ tin 118.7	51 Sb アンチモン antimony 121.8	52 Te テルル tellurium 127.6	53 I ヨウ素 iodine 126.9	54 Xe キセノン xenon 131.3			
5	5s	37 Rb ルビジウム rubidium 85.47	38 Sr ストロンチウム strontium 87.62	5d	55 Cs セシウム cesium 132.9	56 Ba バリウム barium 137.3	57-71 ランタノイド lanthanides	72 Hf ハフニウム hafnium 178.5	73 Ta タンタル tantalum 180.9	74 W タンゲステン tungsten 183.8	75 Re レニウム rhodium 186.2	76 Os オスミウム osmium 190.2	77 Ir イリジウム iridium 192.2	78 Pt 白金 platinum 195.1	79 Au 金 gold 197.0	80 Hg 水銀 mercury 200.6	81 Tl タリウム thallium 204.4	82 Pb 鉛 lead 207.2	83 Bi ビスマス bismuth 209.0	84 Po ポロニウム polonium 209	85 At アスタチン astatine 210	86 Rn ラドン radon 222	
6	6s	87 Fr フランシウム francium 223	88 Ra ラジウム radium 226	6d	89-103 アクチノイド actinides	104 Rf ラザホージュウム rutherfordium 261	105 Db ドブニウム dubnium 262	106 Sg シーボーギュウム seaborgium 266	107 Bh ボーリウム bohrium 264	108 Hs ハッシウム hassium 277	109 Mt マイトイリウム meitnerium 268	110 Ds ダームスタチウム darmstadtium 281	111 Rg レントゲニウム roentgentium 272	112 Cn コベルニシウム copernicum 285	113 Nh ニホニウム nihonium 284	114 Fl フレロビウム flerovium 289	115 Mc モスコビウム moscovium 288	116 Lv リバモリウム livermorium 292	117 Ts テネシン tennesine 293	118 Og オガネソン oganesson 294	↑ 非金属元素		
7	7s	14f	57 La ランタン lanthanum 138.9	58 Ce セリウム cerium 140.1	59 Pr プラセオジム praseodymium 140.9	60 Nd ネオジム neodymium 144.2	61 Pm プロメチウム promethium 145	62 Sm サマリウム samarium 150.4	63 Eu ユウロピウム europium 152.0	64 Gd ガドリニウム gadolinium 157.3	65 Tb テルビウム terbium 158.9	66 Dy ジスプロシウム dysprosium 162.5	67 Ho ホルミウム holmium 164.9	68 Er エルビウム erbium 167.3	69 Tm ツリウム thulium 168.9	70 Yb イッテルビウム ytterbium 173.0	71 Lu ルテチウム lutetium 175.0						
	5f	89 Ac アクチニウム actinium 227	90 Th トリウム thorium 232.0	91 Pa プロトアクチニウム protactinium 231.0	92 U ウラン uranium 238.0	93 Np ネプツニウム neptunium 237	94 Pu ブルトニウム plutonium 239	95 Am アメリシウム americium 243	96 Cm キュリウム curium 247	97 Bk バークリウム berkelium 247	98 Cf カリホルニウム californium 251	99 Es アインスタニウム einsteinium 252	100 Fm フェルミウム fermium 257	101 Md メンデレビウム mendelevium 258	102 No ノーベリウム nobelium 259	103 Lr ローレンシウム lawrencium 262	↓ 金属元素						

ランタノイド lanthanides (レアアース金属) (rare earth metals)	57 La ランタン lanthanum 138.9	58 Ce セリウム cerium 140.1	59 Pr プラセオジム praseodymium 140.9	60 Nd ネオジム neodymium 144.2	61 Pm プロメチウム promethium 145	62 Sm サマリウム samarium 150.4	63 Eu ユウロピウム europium 152.0	64 Gd ガドリニウム gadolinium 157.3	65 Tb テルビウム terbium 158.9	66 Dy ジスプロシウム dysprosium 162.5	67 Ho ホルミウム holmium 164.9	68 Er エルビウム erbium 167.3	69 Tm ツリウム thulium 168.9	70 Yb イッテルビウム ytterbium 173.0	71 Lu ルテチウム lutetium 175.0
アクチノイド actinides	89 Ac アクチニウム actinium 227	90 Th トリウム thorium 232.0	91 Pa プロトアクチニウム protactinium 231.0	92 U ウラン uranium 238.0	93 Np ネプツニウム neptunium 237	94 Pu ブルトニウム plutonium 239	95 Am アメリシウム americium 243	96 Cm キュリウム curium 247	97 Bk バークリウム berkelium 247	98 Cf カリホルニウム californium 251	99 Es アインスタニウム einsteinium 252	100 Fm フェルミウム fermium 257	101 Md メンデレビウム mendelevium 258	102 No ノーベリウム nobelium 259	103 Lr ローレンシウム lawrencium 262



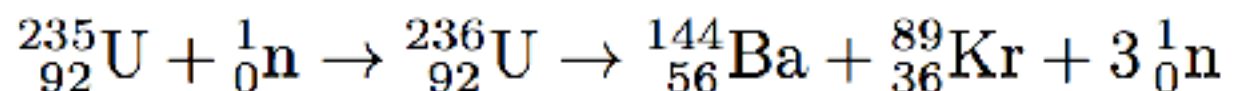
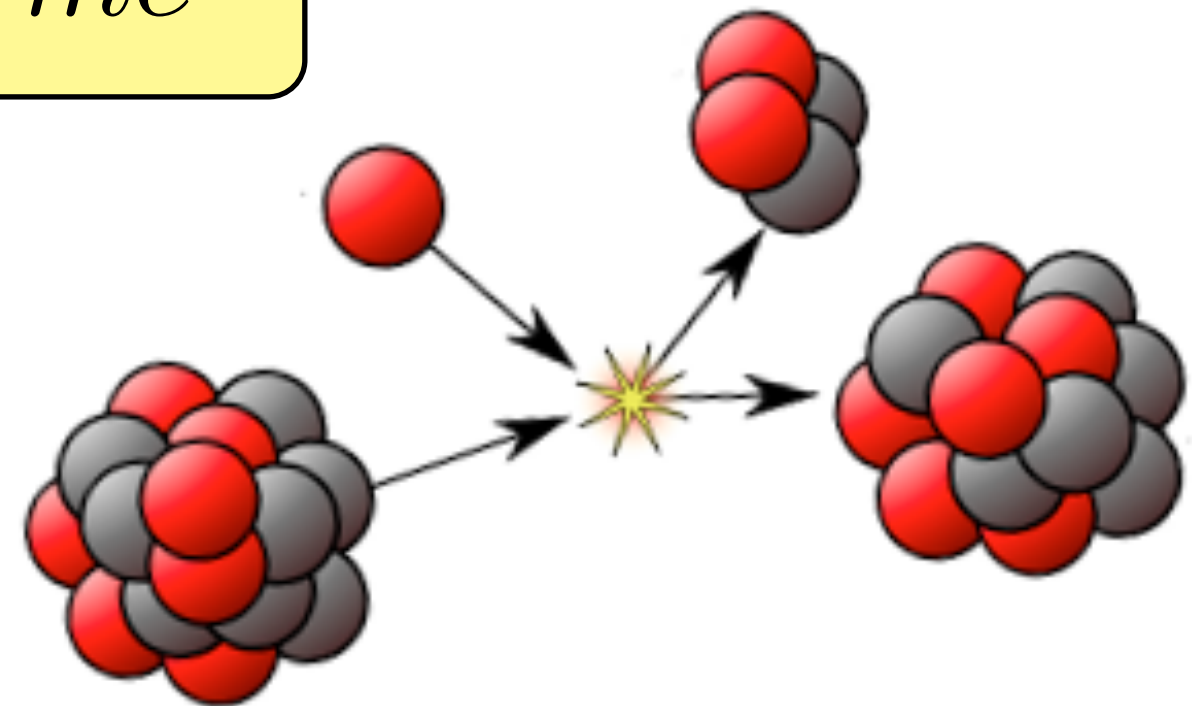
核反応 原子核の組み替えによって莫大なエネルギーが放出

$$E = mc^2$$



核融合
(nuclear fusion)

合体した方が安定
(エネルギー放出)

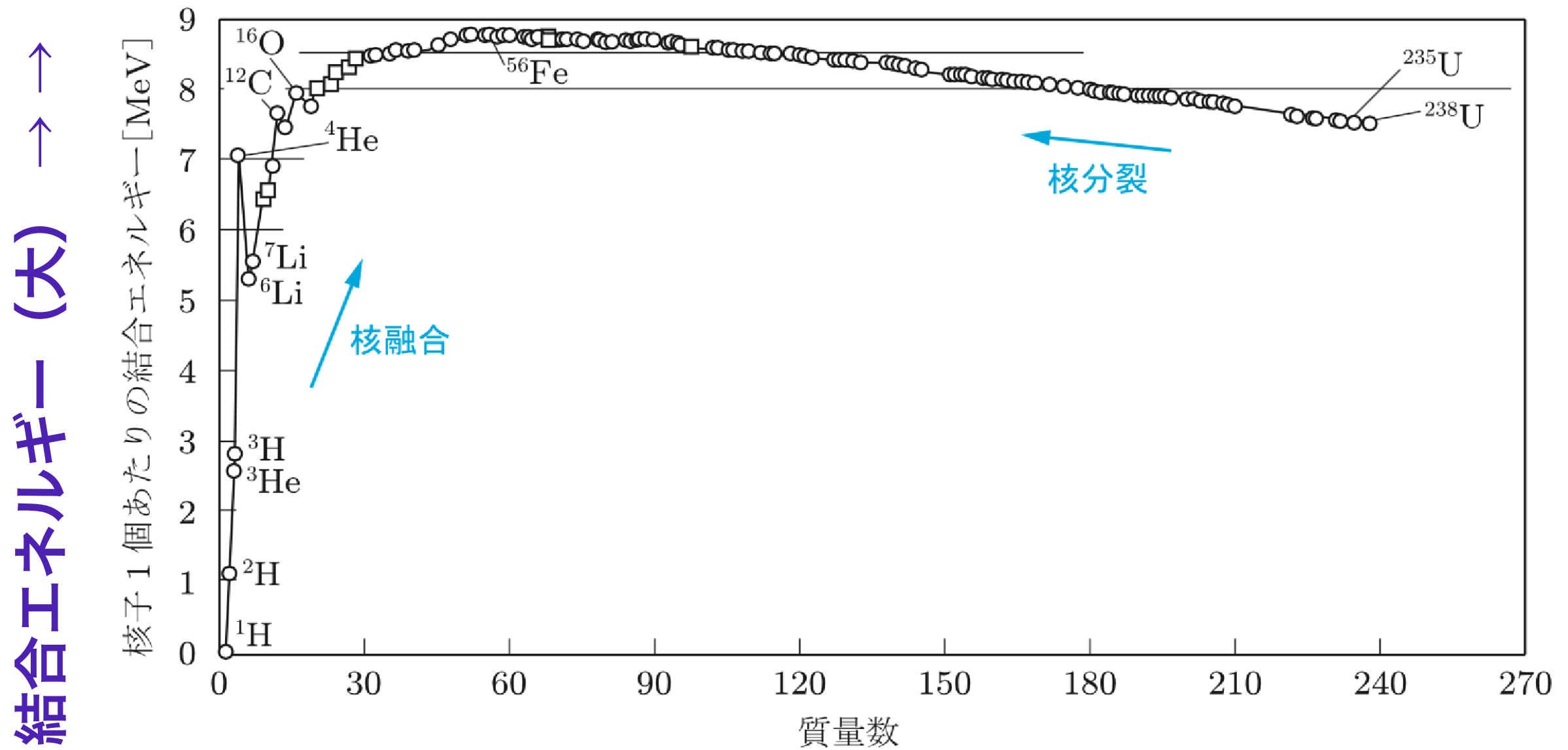


核分裂
(nuclear fission)

分裂した方が安定
(エネルギー放出)

結合エネルギー

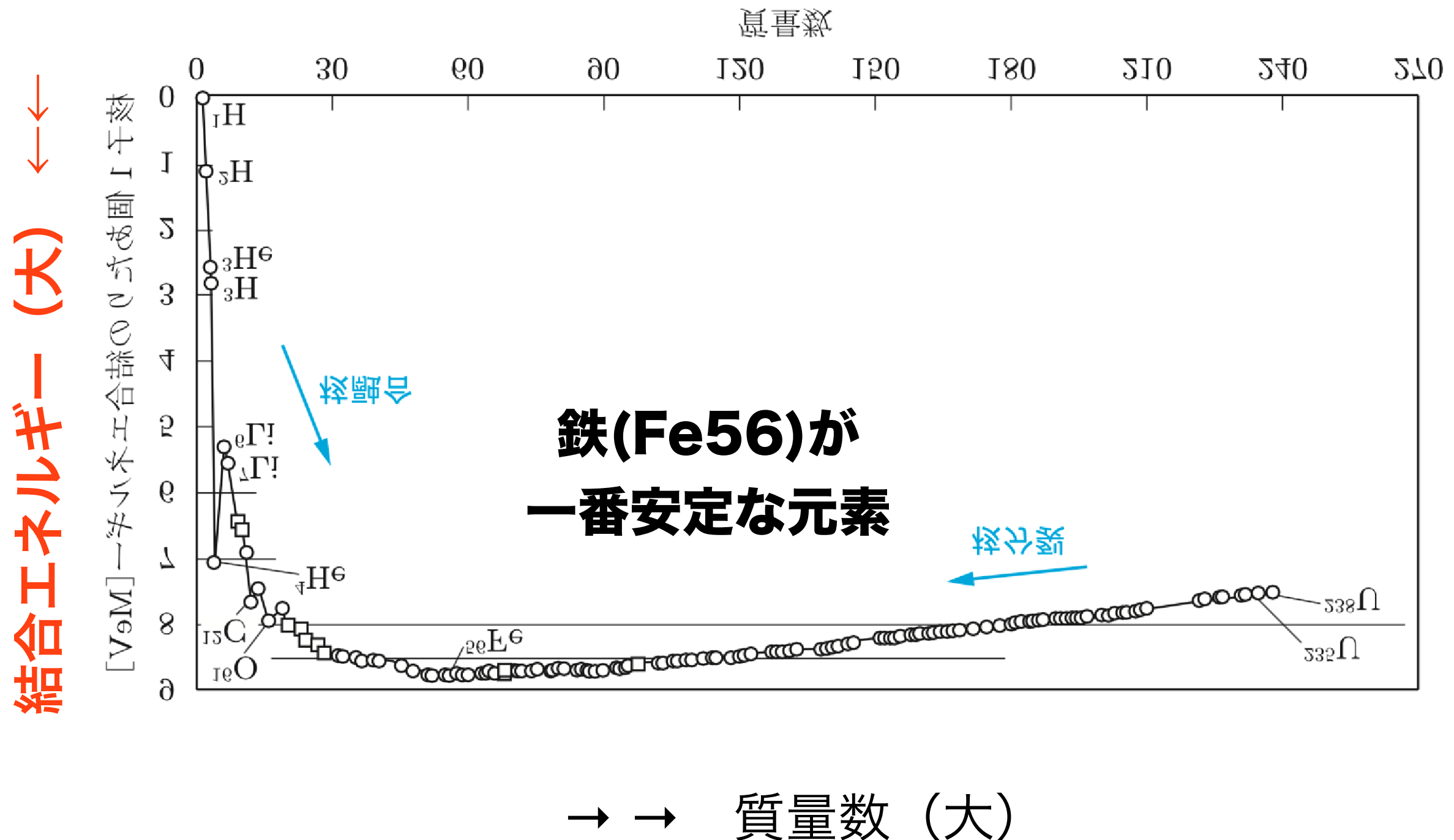
核融合も核分裂もどちらもおきる理由は何か？



→ → 質量数 (大)

結合エネルギー

核融合も核分裂もどちらもおきる理由は何か？



Period

	1	IA													18	VIII A																																																	
1	1s	H	水素 hydrogen	1.008	2	II A																																																											
1	3	Li	リチウム lithium	6.941	4	Be	ベリリウム beryllium	9.012	↑ 非金属元素	↓ 金属元素	原子番号 → 29	+2,1	Cu	銅 copper	63.55	← 通常できるイオンの価数	← 元素記号が灰色のものは人工合成された元素																																																
2	11	Na	ナトリウム sodium	22.99	12	Mg	マグネシウム magnesium	24.31	常温で気体	常温で液体	元素記号 →	元素名(日本語) →	元素名(英語) →	← 原子量	→ 非金属元素	↓ 金属元素	13 III A	14 IV A	15 VA	16 VIA	17 VII A	10 Ne	ネオン neon	20.18																																									
3	19	K	カリウム potassium	39.10	20	Ca	カルシウム calcium	40.08	3d	Sc	スカンジウム scandium	44.96	Ti	チタン titanium	47.87	5 V B	6 VI B	7 VII B	8 VIII B	9 VIII B	10 VIII B	11 I B	12 II B	13 Al	アルミニウム aluminum	26.98	14 Si	ケイ素 silicon	12.01	15 P	リン phosphorus	14.01	16 S	硫黄 sulfur	16.00	17 Cl	塩素 chlorine	19.00	18 Ar	アルゴン argon	39.95																								
4	37	R	ルビン rubic	85.	38	+1	39	+3	40	+4	41	+5,3	42	+6,3,5	43	+7,4,6	44	+4,3,6,8	45	+3,4,6	46	+2,4	47	+1	48	+2	49	+3	50	+4,2	51	+3,5	52	-2	53	-1	54 Xe	キセノン xenon	131.3																										
5	55	C	セシ ces	132.	56	+4,2	57	+3	58	+4	59	+5,3	60	+6,3,5	61	+7,4,6	62	+4,3,6,8	63	+3,4,6	64	+2,4	65	+1	66	+2	67	+3	68	+4,2	69	+3,5	70	-2	71	+3	72	+4,2	73	+3	74	+4,2	75	+3	76	+4,2	77	+3	78	+4,2	79	+3	80	+4,2	81	+3	82	+4,2	83	+3	84	+4,2	85 At	アスタチン astatine	210
6	87	F	フラン franc	22	88	+4,2	89	+3	90	+4	91	+5,3	92	+6,3,5	93	+7,4,6	94	+4,3,6,8	95	+3,4,6	96	+2,4	97	+1	98	+2	99	+3	100	+4,2	101	+3,5	102	-2	103 Lr	ローレンシウム lawrencium	262																												
7	117	Uus	モリウム morium	292	118	Uuo	ウンヌンセプト ununseptium	293	119	Uuu	モリウム morium	294	120	Lu	ルテチウム lutetium	175.0	121	Te	ルル urium	27.6	122	Br	オラク bromine	79.90	123	As	ヒ素 arsenic	74.92	124	Se	セレン selenium	78.96	125	I	ヨウ素 iodine	126.9	126	Kr	クリプトン krypton	83.80	127	Rn	ラドン radon	222	128	Fe	非金属 elements	↓ 金属 elements	129	Te	ヨウ素 iodine	126.9	130	Xe	キセノン xenon	131.3									

宇宙の始まりは素粒子。

だんだんと冷えるにしたがって水素(H)が形成。

集まって星ができ、核融合で恒星になる。

しかし、核融合は、鉄(Fe)までしか進まない。

現在、周期表に Fe より重い元素があるのは何故か？

超新星爆発で作られた！

中性子星連星合体で作られた！

KAGRA (かぐら：大型低温重力波望遠鏡)

Kamioka Gravitational wave detector

大型低温重力波望遠鏡



神岡鉱山
(岐阜県飛騨市神岡町)



望遠鏡の大きさ：基線長 3km

望遠鏡を神岡鉱山内に建設

鏡をマイナス250度 (20K) まで
冷却

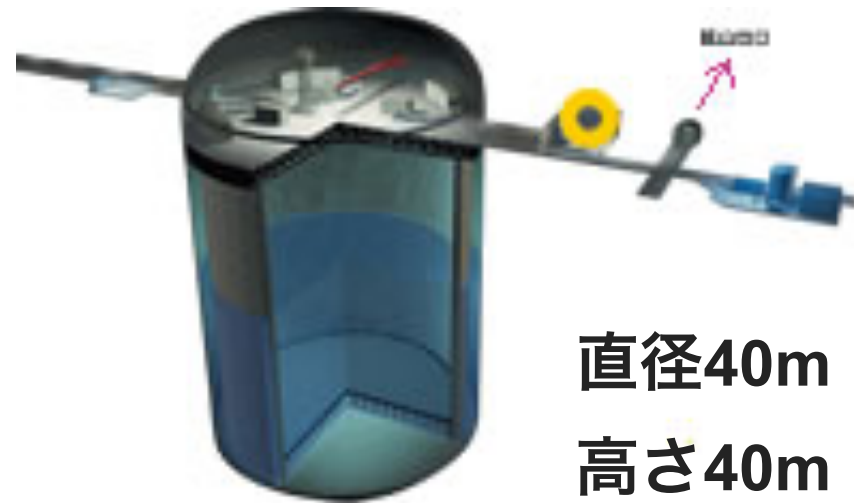
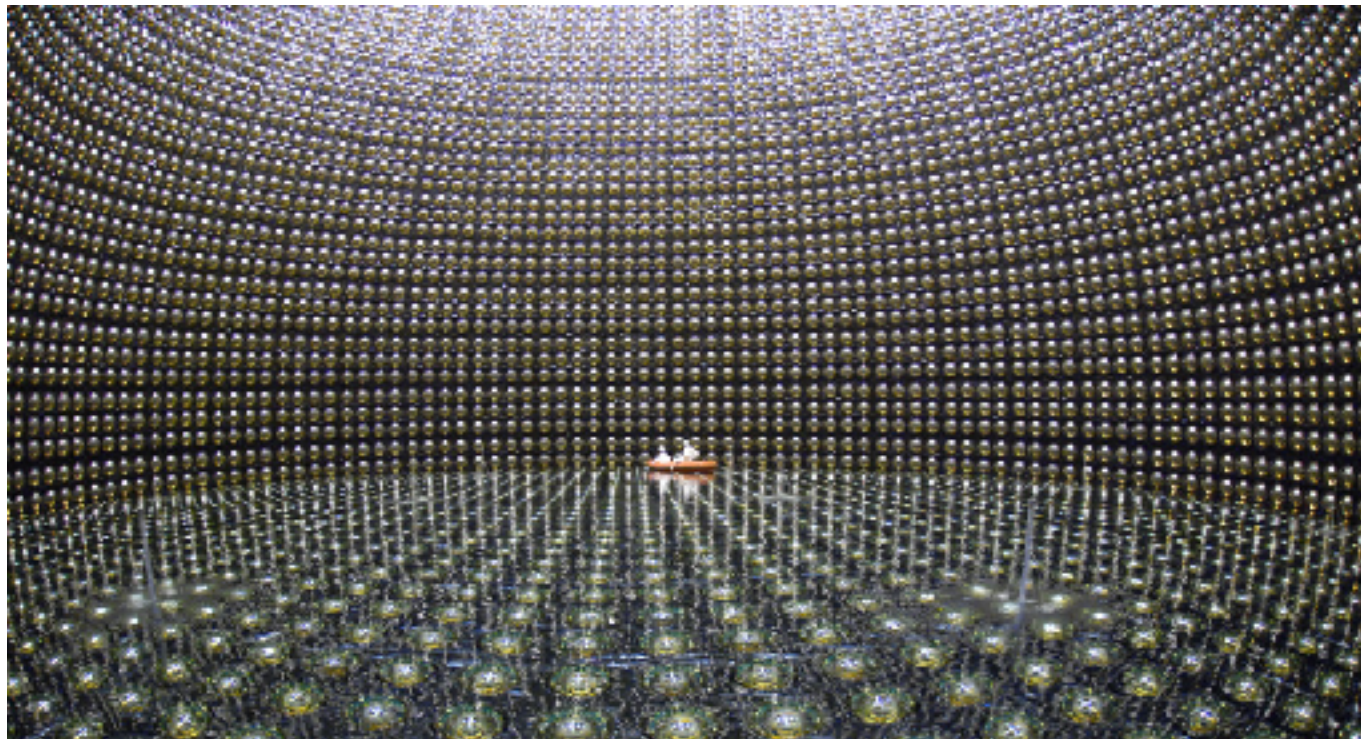
熱雑音を小さくするため

鏡の材質としてサファイア
光学特性に優れ、低温に冷却すると熱伝導や機械的損失が少なくなる

スーパー・カミオカンデ (ニュートリノ観測装置)

Super-Kamiokande

<http://www-sk.icrr.u-tokyo.ac.jp/sk/>



直径40m
高さ40m

岐阜県・神岡の鉱山跡の空洞に巨大な水槽をつくり,
宇宙から飛来するニュートリノを観測する。



ノーベル物理学賞を受賞

小柴昌俊 (2002年)

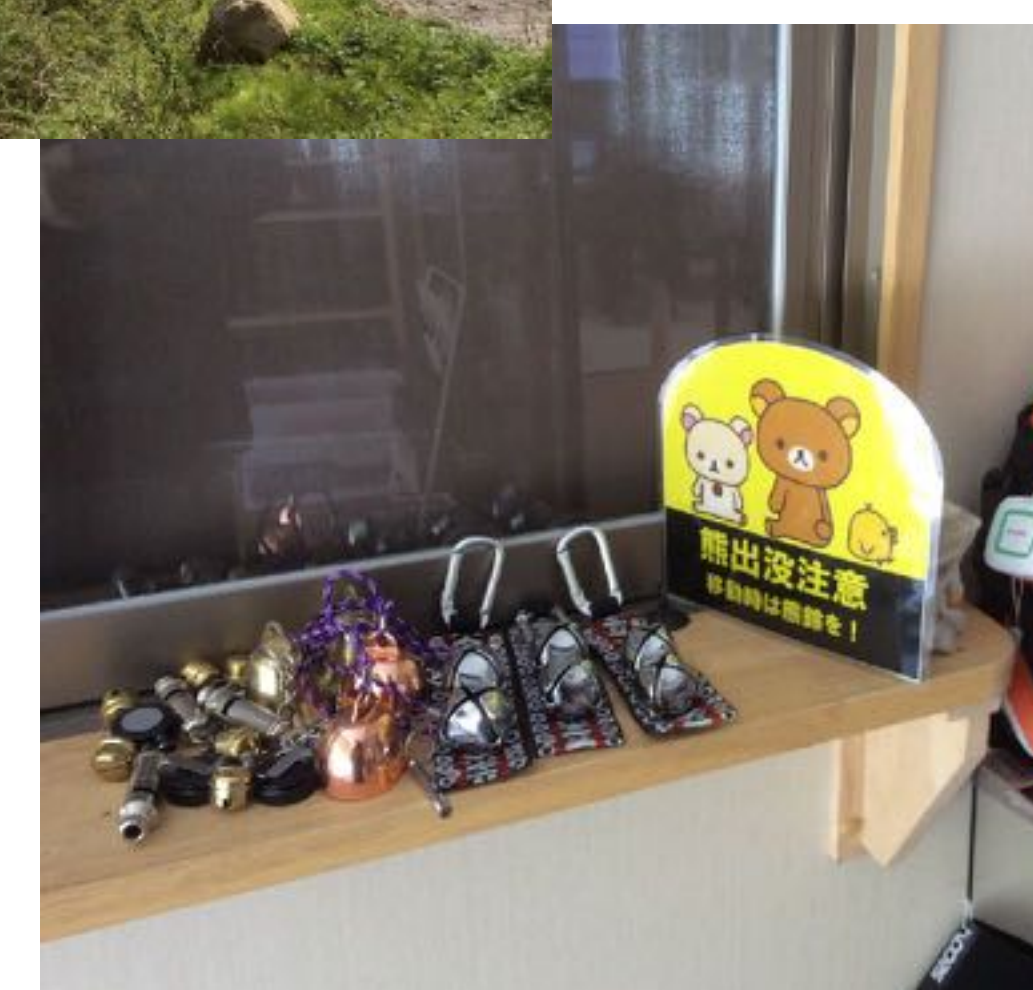
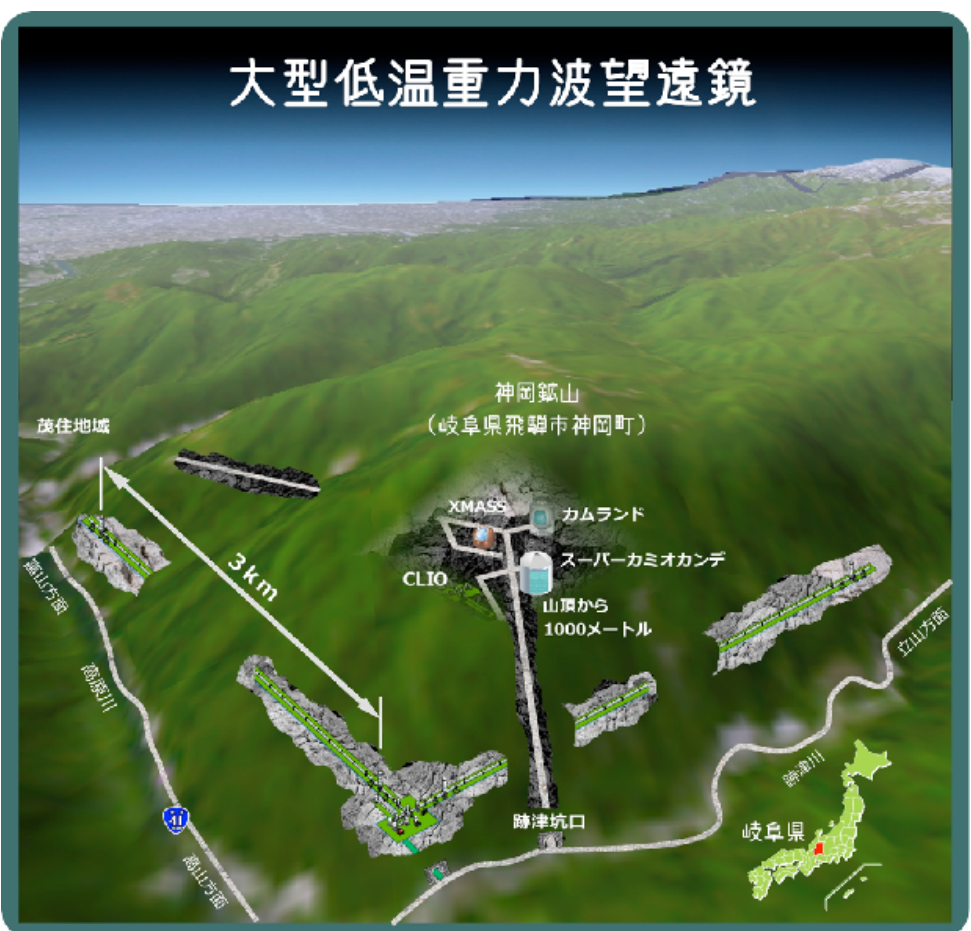


梶田隆章 (2015年)



KAGRA (かぐら：大型低温重力波望遠鏡)

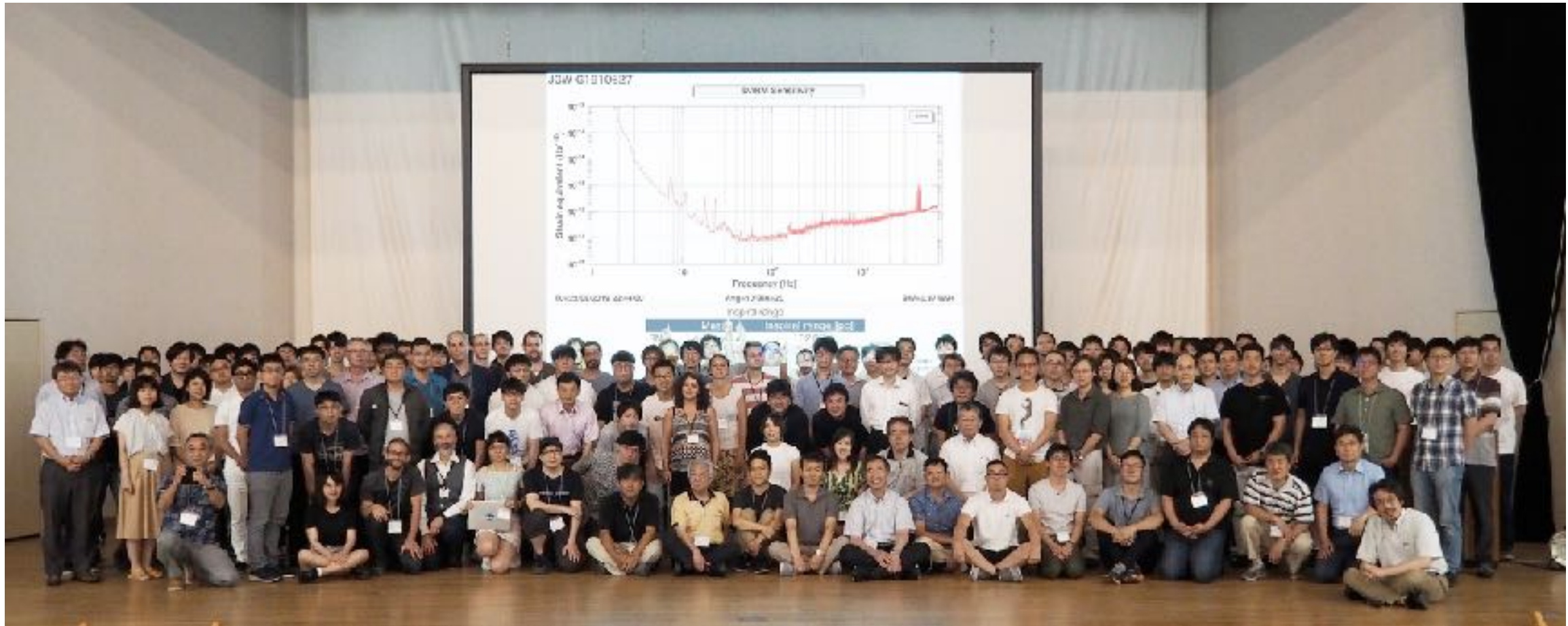
大型低温重力波望遠鏡



KAGRA (かぐら：大型低温重力波望遠鏡)



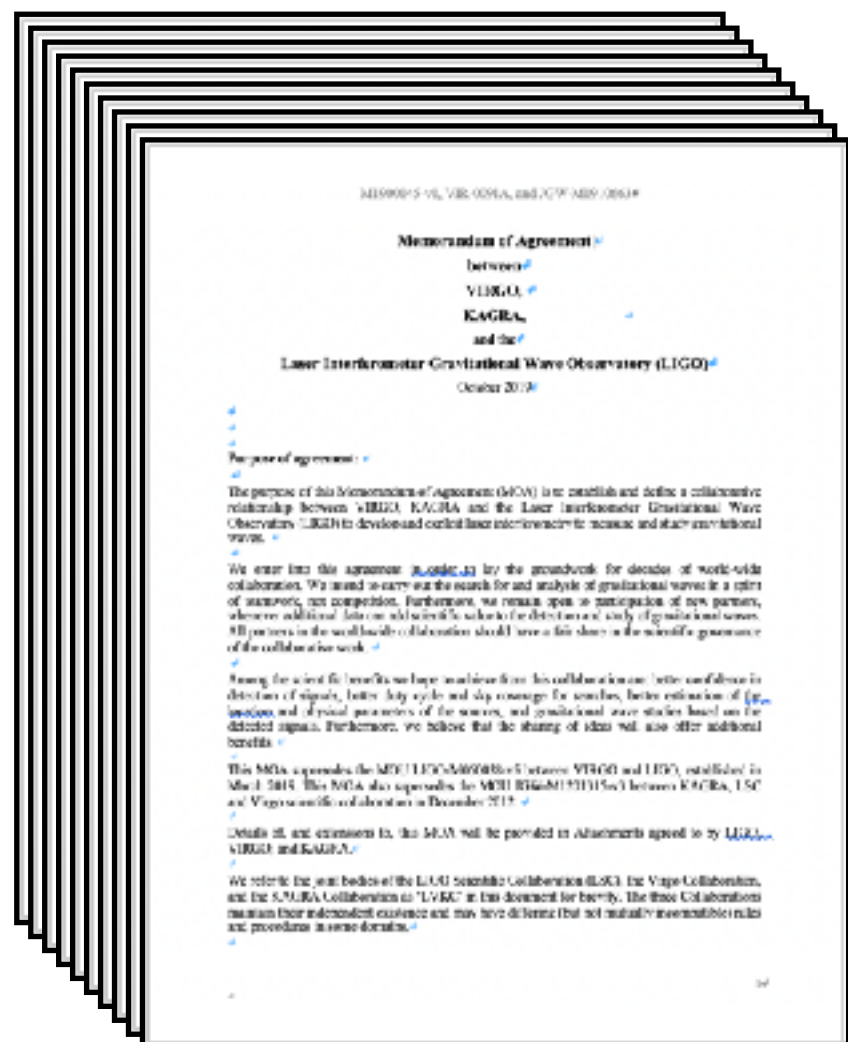
KAGRA (かぐら：大型低温重力波望遠鏡)



360 members
200 authors
110 groups
14 regions

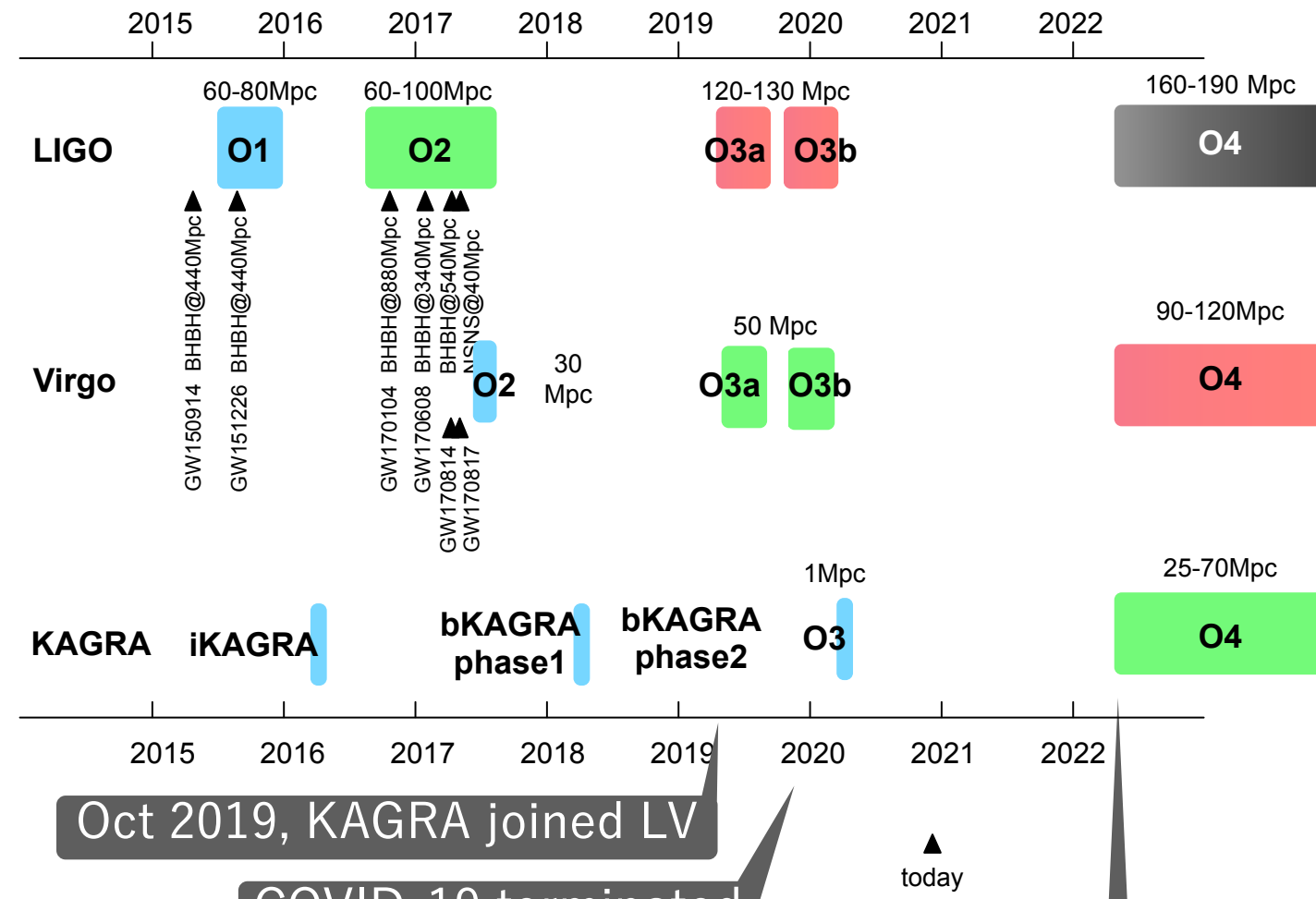
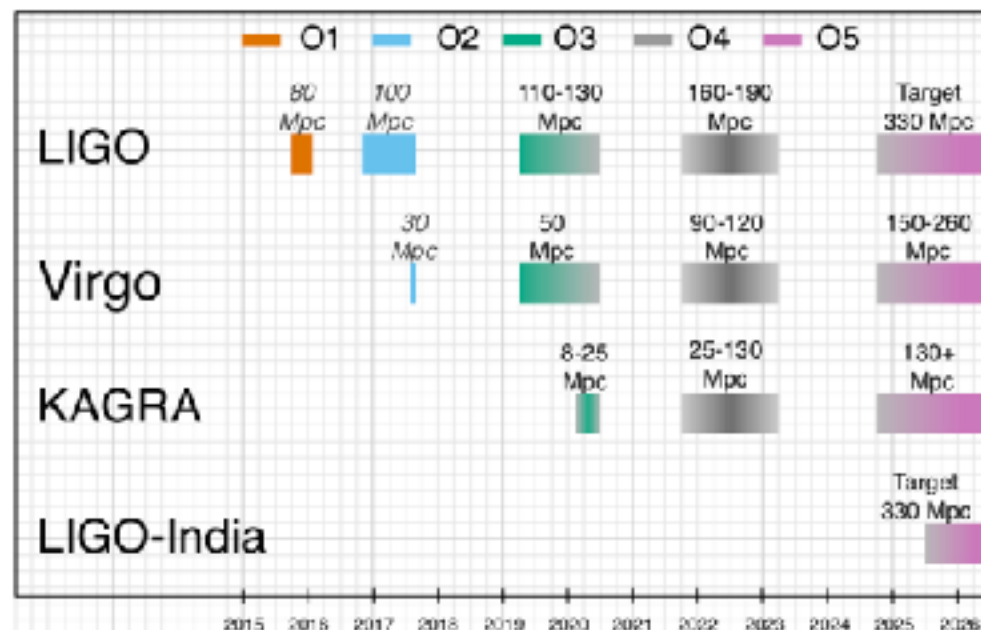


KAGRA (かぐら：大型低温重力波望遠鏡)



2019年10月、アメリカ・ヨーロッパとの研究協定に調印

Target Sensitivity & Schedule



“Scenario Paper” [1304.0670ver2020Jan]

LVK collaboration, Living Rev Relativ (2020) 23:3

<https://link.springer.com/article/10.1007/s41114-020-00026-9>

O1 (2015/9/12 - 2016/1/19)

LIGO

O2 (2016/11/30 - 2017/8/25)

LIGO+Virgo

O3a (2019/4/1 - 2019/9/30)

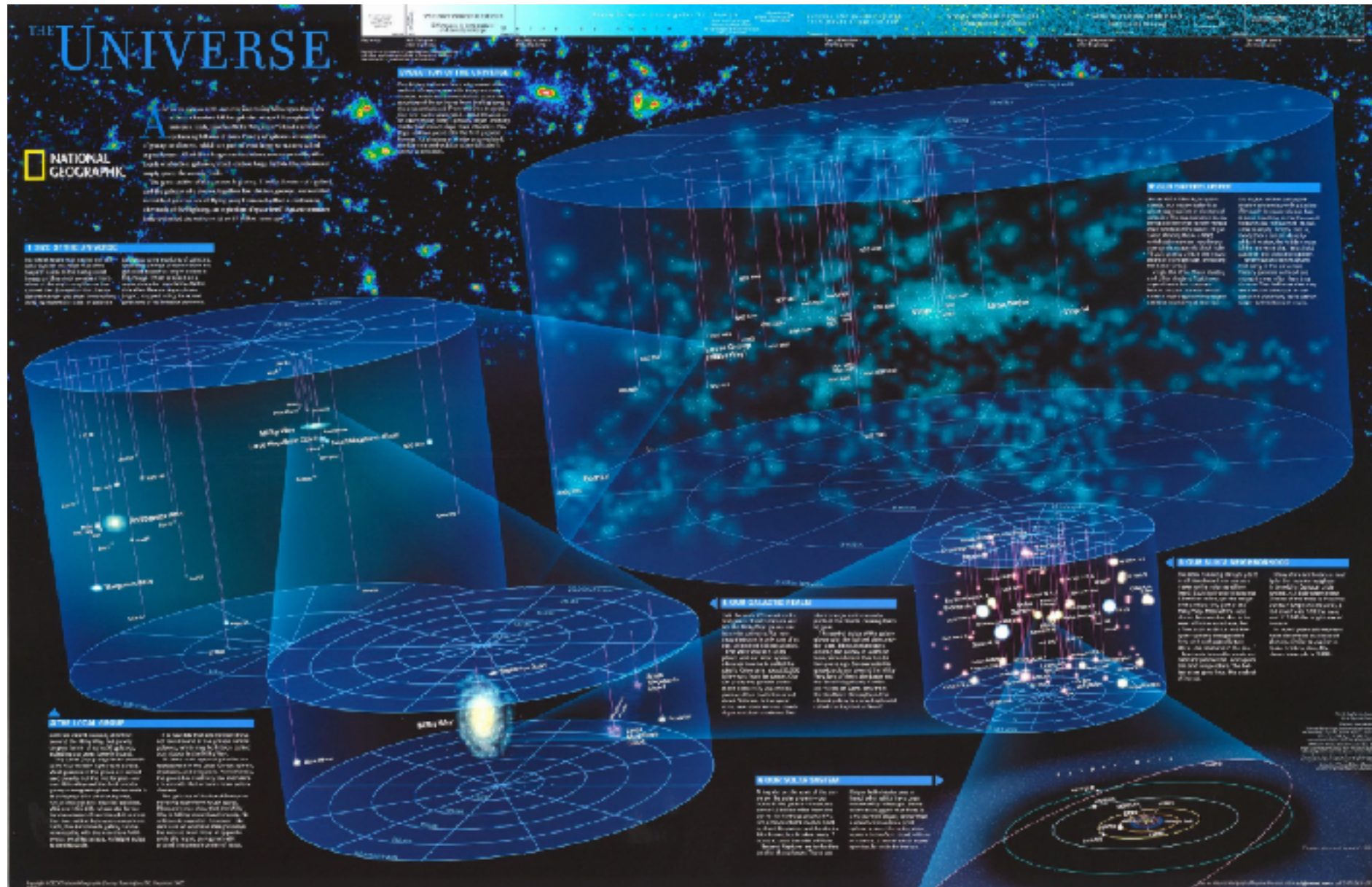
LIGO+Virgo

O3b (2019/10/1 - 2020/3/27)

LIGO+Virgo + KAGRA

O4 will likely start no earlier than June 2022

銀河系スケール から 銀河群スケールへ



National Geographic Universe Reference Map

1 pc = 3.26光年
(年周視差1秒角となる距離)

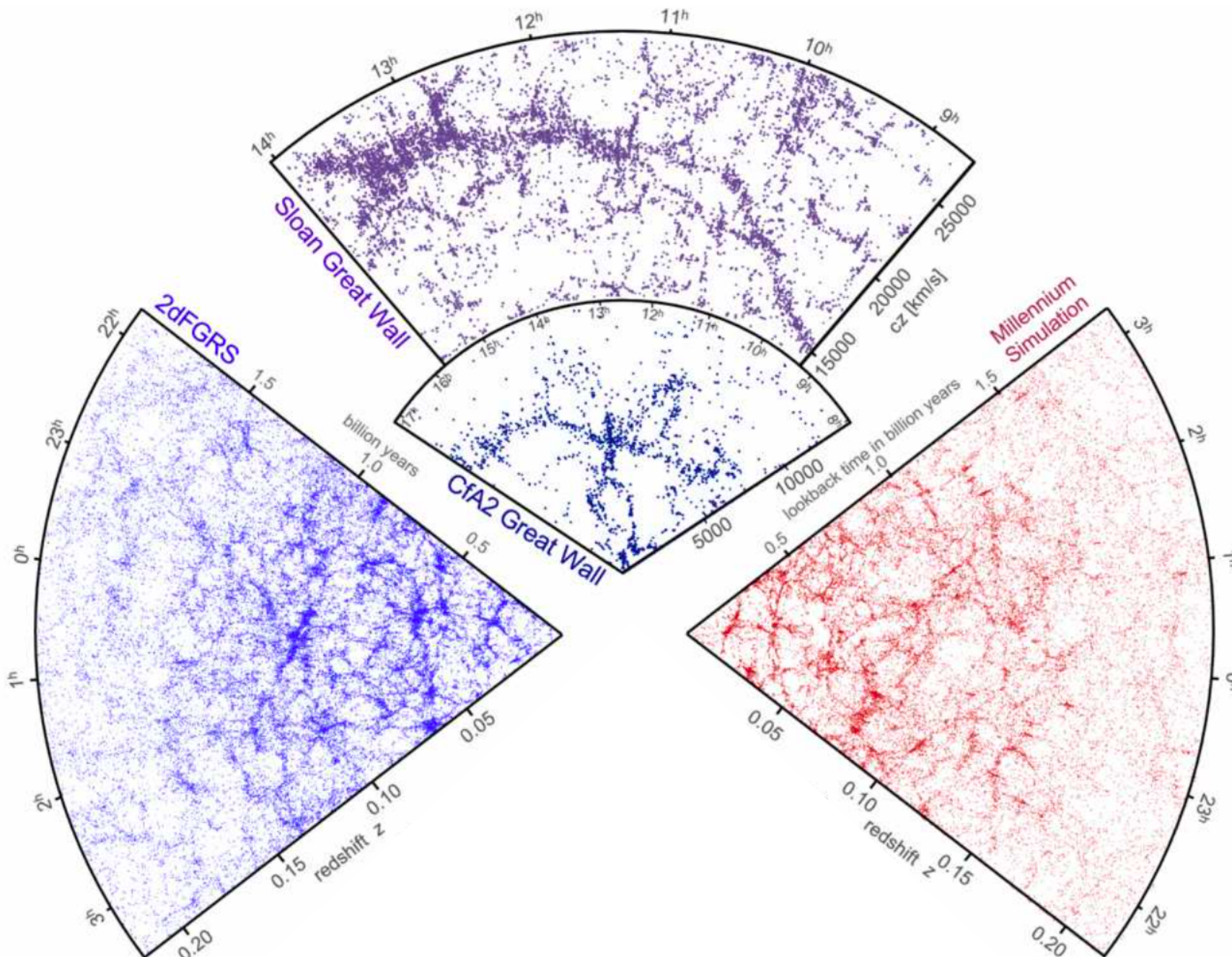
天の川銀河 直径 10万光年
32.5 kpc

大マゼラン雲 (LMC) 50 kpc
小マゼラン雲 (SMC) 61 kpc

アンドロメダ銀河 (M31)
0.79 Mpc=250万光年

おとめ座銀河団(Virgo Cluster)
16.5 Mpc=5380万光年

銀河団スケール から 大規模構造 へ



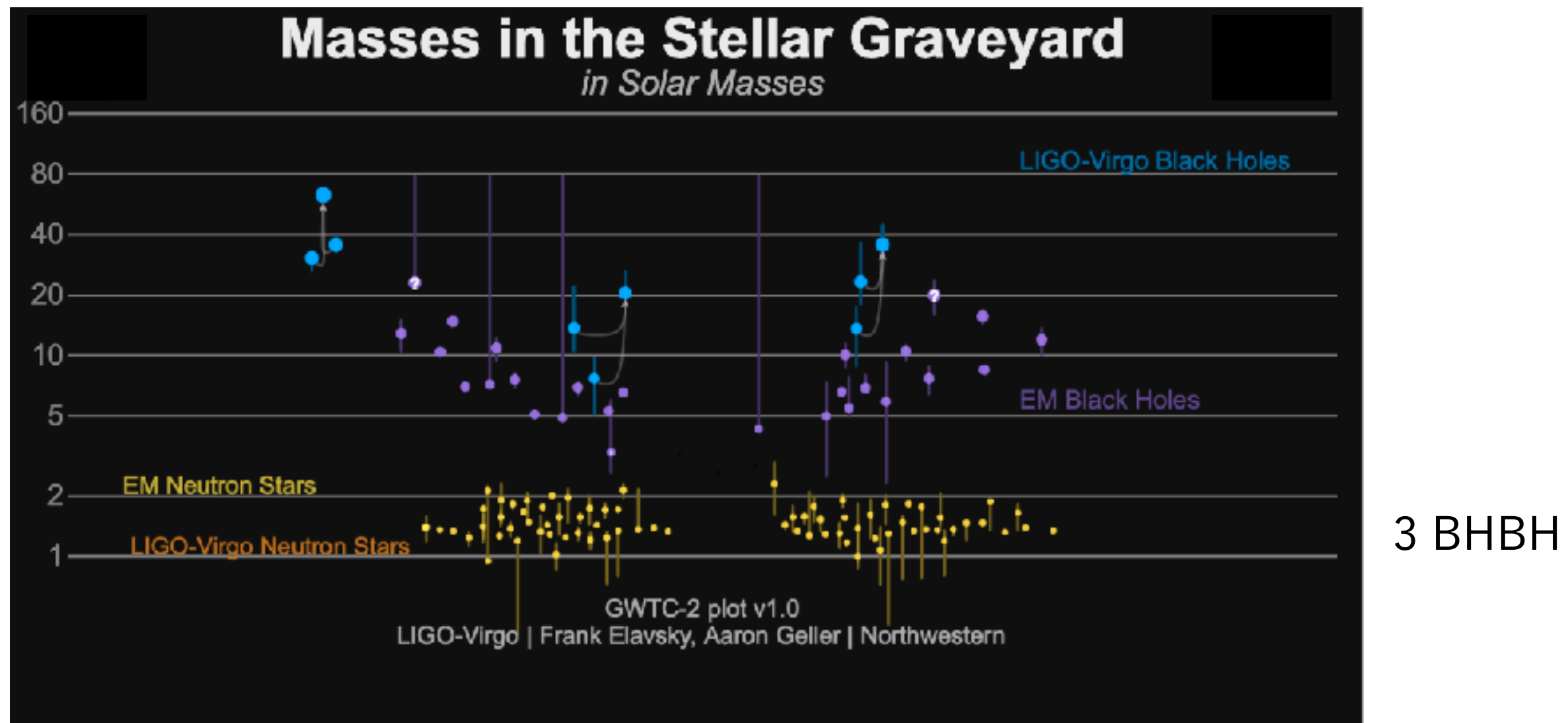
おとめ座銀河団(Virgo Cluster)
16.5 Mpc=5380万光年

CfA2 Great Wall
110-160 Mpc
= 3.5-5.5 億光年

Sloan Great Wall
300 Mpc = 10 億光年

図 1.36 銀河の分布図とシミュレーションによる疑似銀河を基づいたもの。【上】SDSS サーベイによる銀河の分布図と図 1.31 を重ねたもの。SDSS は、北天から見える 45 万個以上の銀河を 2 倍光年まで示している。L3 銀光年の距離に及ぶ 1 大銀以上のグレートウォール（万里の長城）も新たに発見された。【左】2dFGRS サーベイによる銀河の分布図。南天の 22 万個以上の銀河を 2 倍光年まで示している。【右】ミレニアム・シミュレーションによる銀河の分布図。南北の 300 万個以上の銀河を 10 倍光年まで示したもの。[Springel, Frank, White の論文 (2006) を加工]

O1 (2015/9/12 - 2016/1/19)

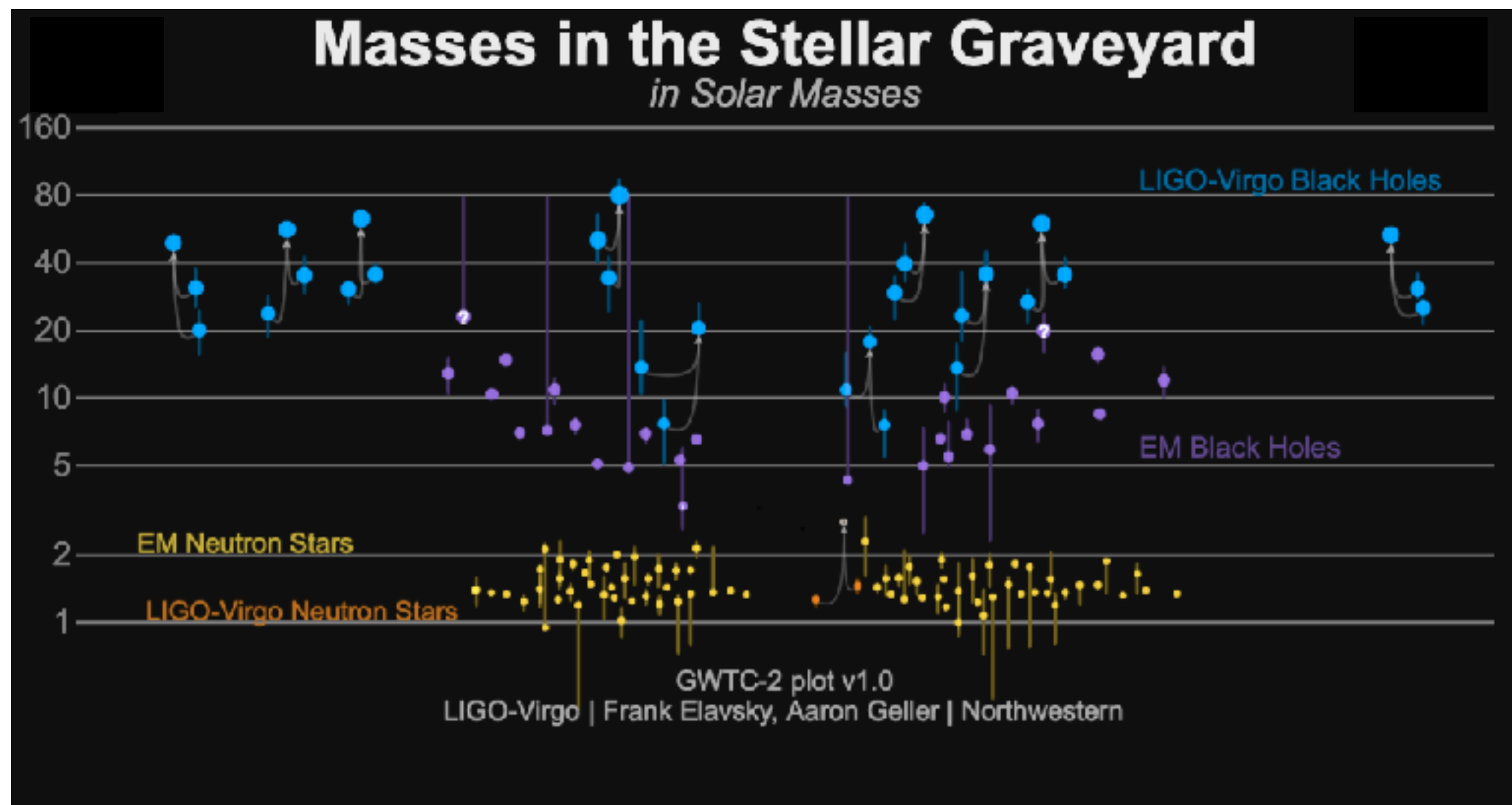


GW150914: the first ever detection of gravitational waves from the merger of two black holes more than a billion light years away.

<https://media.ligo.northwestern.edu/gallery/mass-plot>

O2 (2016/11/30 - 2017/8/25)

After O2 : GWTC1 (2018/12/3 released)

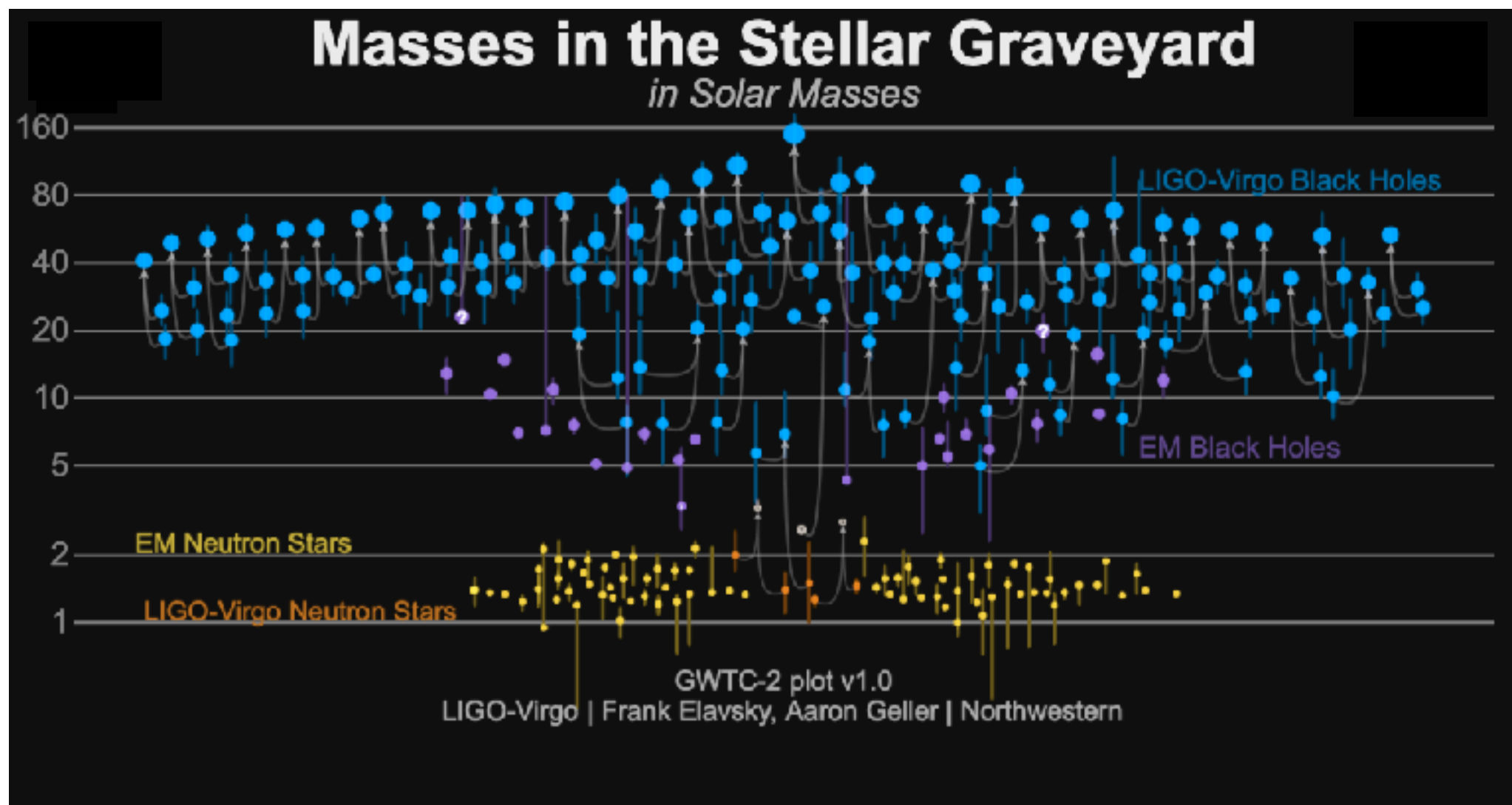


- [GW170814](#): the first GW signal measured by the three-detector network, also from a binary black hole (BBH) merger;
- [GW170817](#): the first GW signal measured from a binary neutron star (BNS) merger — and also the first event observed in light, by dozens of telescopes across the entire electromagnetic spectrum.

<https://media.ligo.northwestern.edu/gallery/mass-plot>

O3a (2019/4/1 - 2019/9/30)

After O3a : GWTC2 (2020/10/28 released)

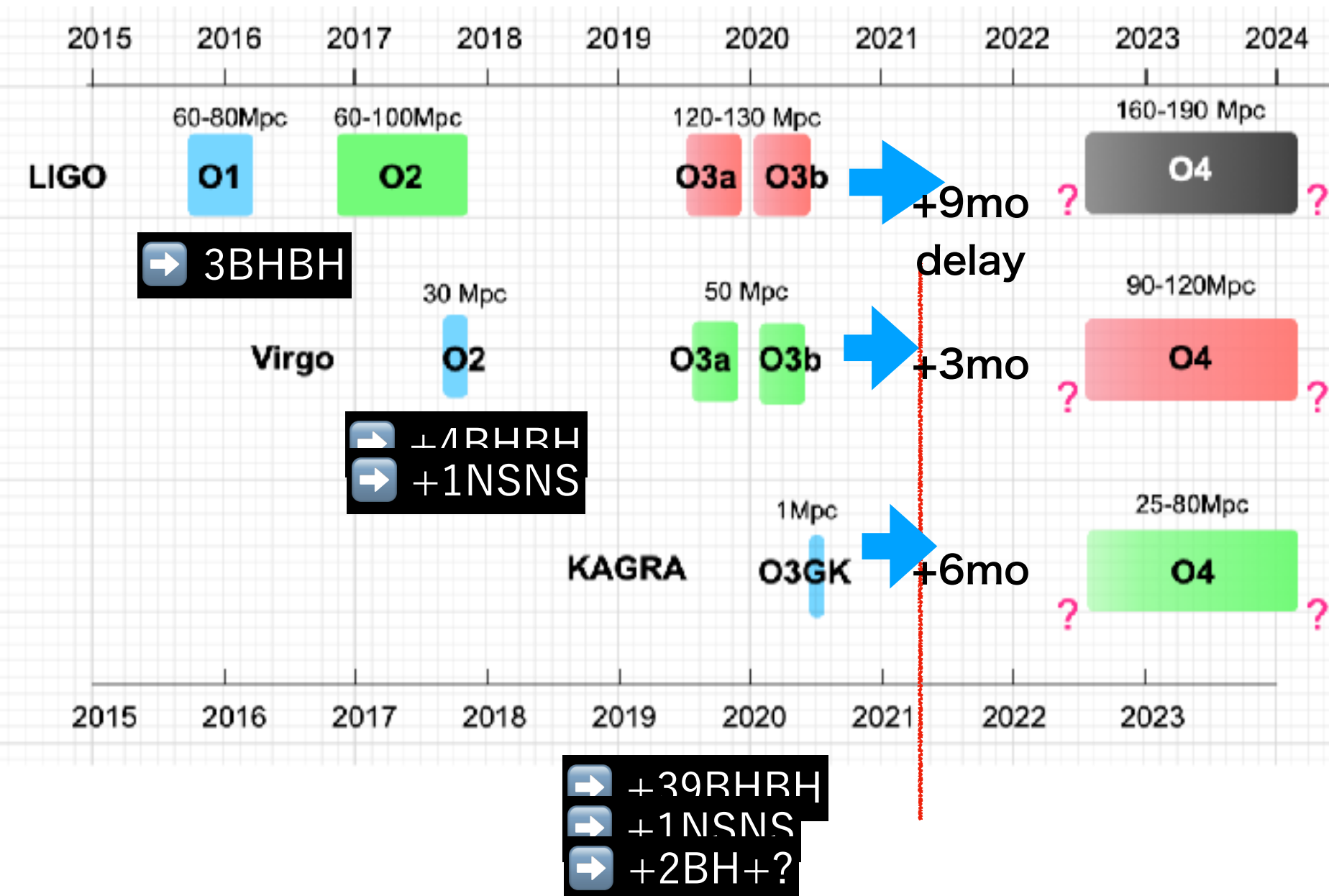


- [GW190412](#): the first BBH with definitively asymmetric component masses, which also shows evidence for [higher harmonics](#)
- [GW190425](#): the second gravitational-wave event consistent with a BNS, following [GW170817](#)
- [GW190426_152155](#): a low-mass event consistent with either an NSBH or BBH
- [GW190514_065416](#): a BBH with the smallest effective aligned spin of all O3a events
- [GW190517_055101](#): a BBH with the largest effective aligned spin of all O3a events
- [GW190521](#): a BBH with total mass over 150 times the mass of the Sun
- [GW190814](#): a highly asymmetric system of ambiguous nature, corresponding to the merger of a 23 solar mass black hole with a 2.6 solar mass compact object, making the latter either the lightest black hole or heaviest neutron star observed in a compact binary
- [GW190924_021846](#): likely the lowest-mass BBH, with both black holes exceeding 3 solar masses

What's in 2021?

Five years ago, GW physics was a “future story”. People did not know the existence of BBH, BH over 10 solar mass (except SMBH).

Now LIGO/Virgo announced 50 events in October 2020 as GWTC-2 up to their O3a.



2021 Spring : O3a final analysis
: O3a data release
: O3b catalog
2021 Fall : O3b final analysis
: O3b data release

2021
LIGO Hanford: Upgrade
LIGO Livingston: Upgrade
Virgo : Upgrade -> Test Run
KAGRA : Upgrade

2022 June or later
LVK O4 start

最近の宇宙研究の進展から

1. 太陽系内惑星探査
2. 太陽系外惑星探査 2018年ノーベル物理学賞
3. ブラックホールの観測 2020年ノーベル物理学賞
4. 重力波観測の現状 2017年ノーベル物理学賞
5. 時計を使った相対性理論の検証

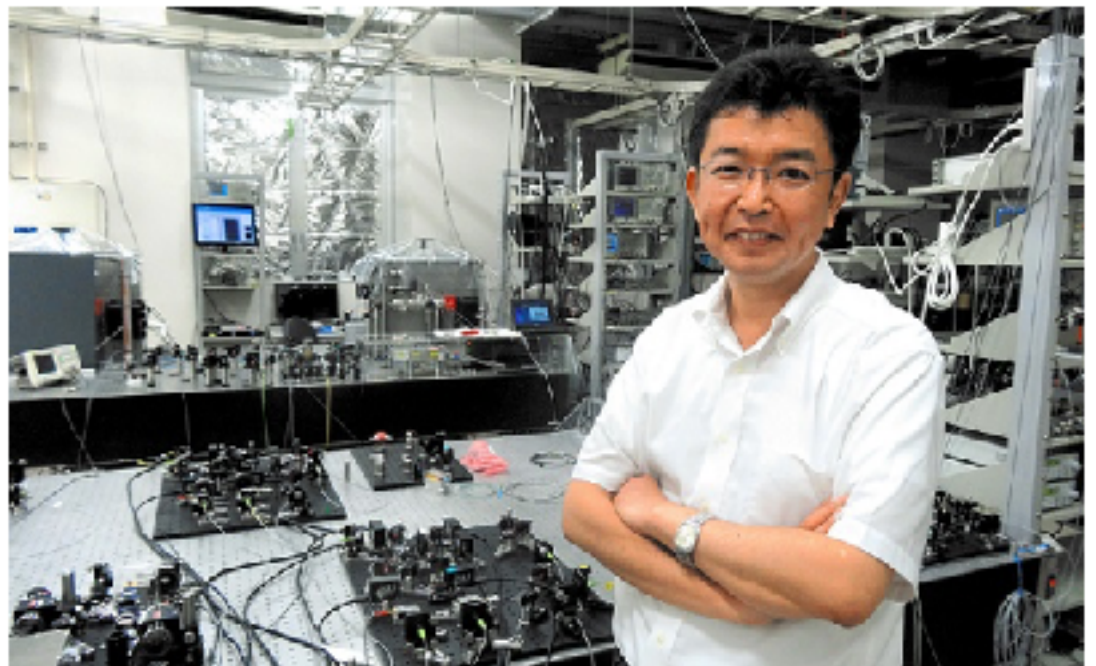
<http://www.oit.ac.jp/is/shinkai/>

2021/3/10 サークルすばる@大阪中央会館

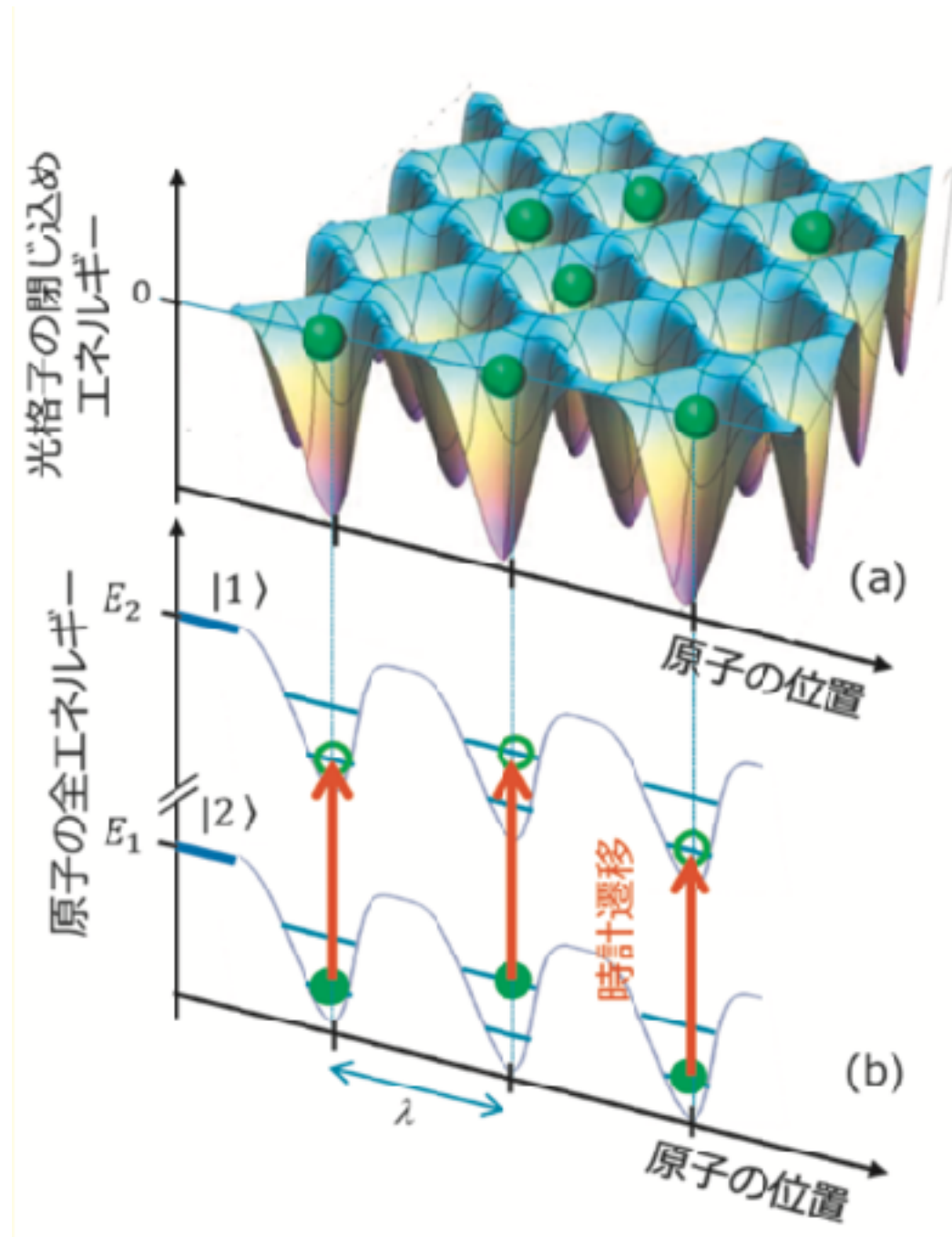
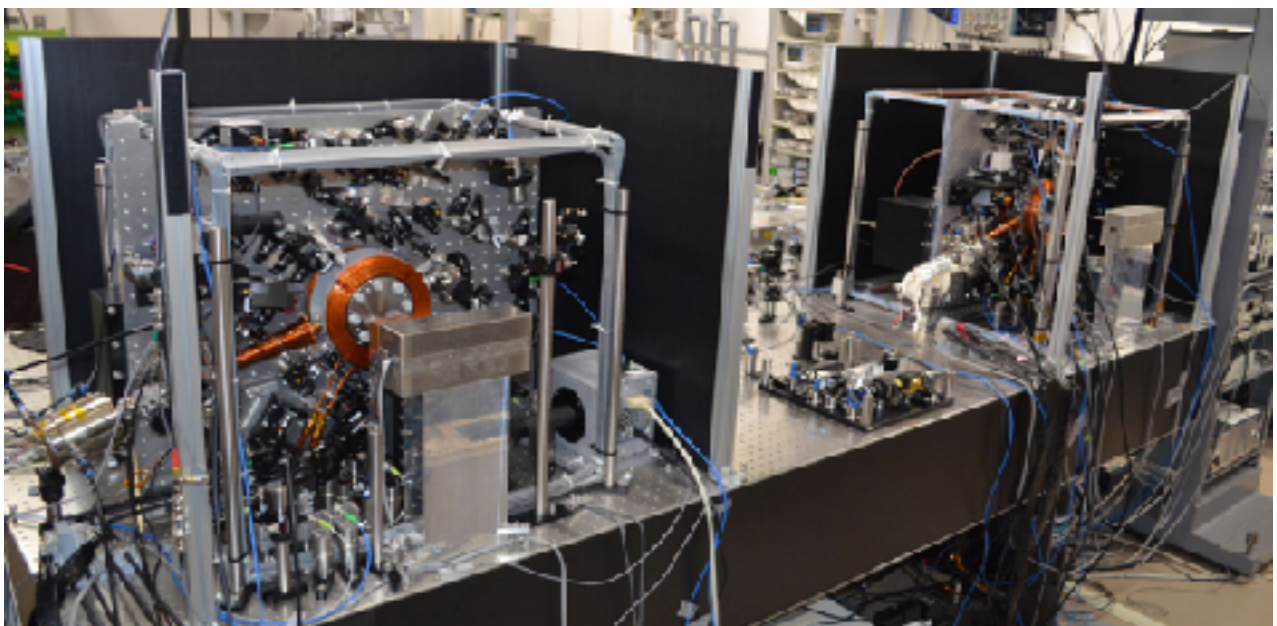


1. 物理を学び始める方へ >> 1.5 時間を測る

もっとも精密な時計=光格子時計



光格子時計を開発した香取秀俊東京大学教授
兼理化学研究所招聘主任研究員 = 2013年7月
31日、田中郁也撮影



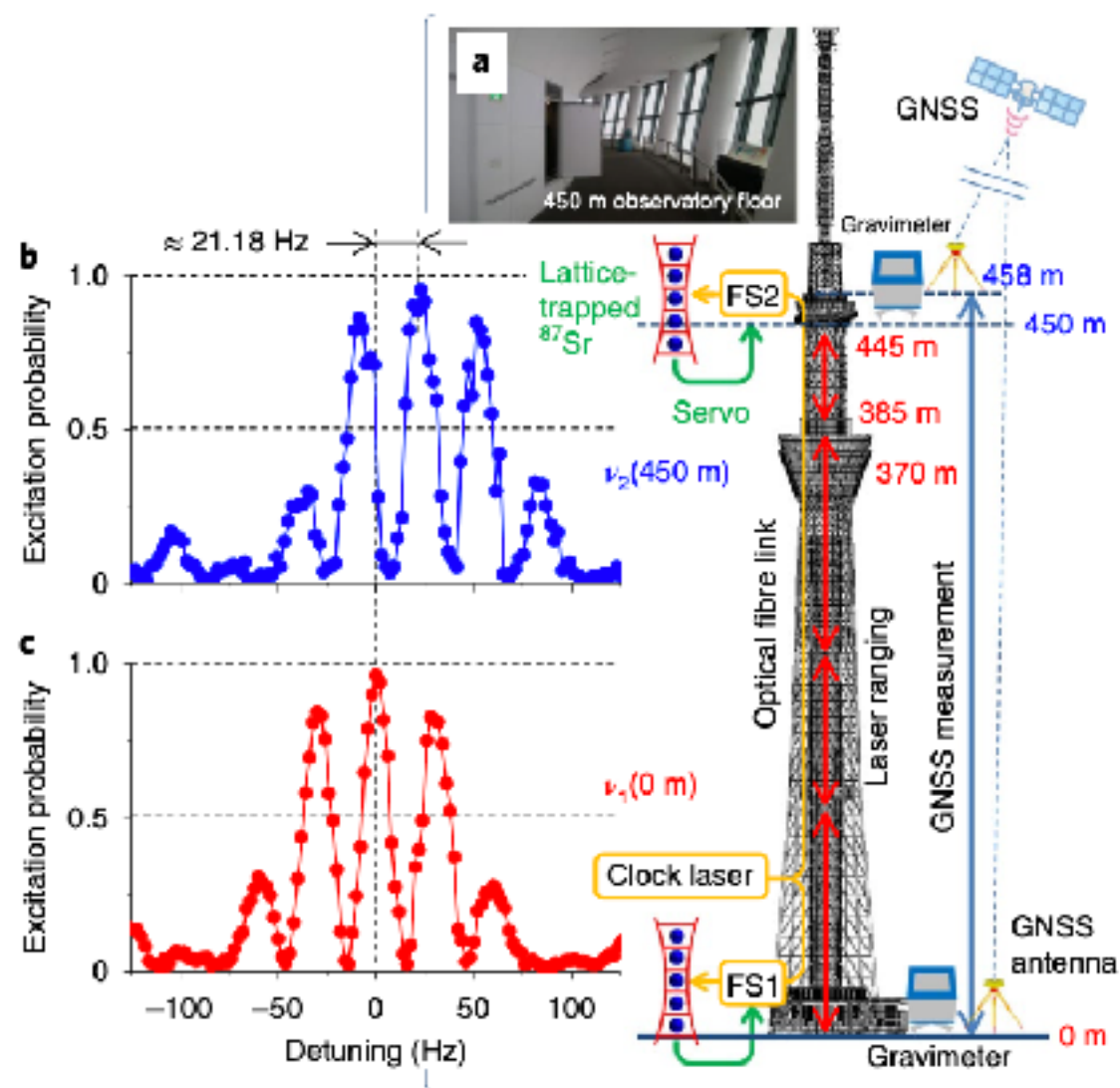
10⁻¹⁸ の精度を実現
(300億年でずれば1秒以内)

スカイツリーの上下で時間の進み方が違う

アインシュタインの相対性理論によれば、
重力の強いところでは時間の進み方が遅くなる

地上と450mの展望台に光格子時計を設置して検証

図 6: 東京スカイツリーでの一般相対論検証実験の概要。地上階と展望台に設置した2台の可搬型光格子時計を光ファイバーでつなぎ、周波数比較を行った。一方、2台の時計の標高差を従来の測量手法（GNSS測量およびレーザー測距）によって計測した。時計遷移を分光して得られたスペクトルでは、標高差450メートルに相当する約21ヘルツの周波数シフトが観測された。



Nature Photonics, 14 (2020) 411



Test of general relativity by a pair of transportable optical lattice clocks

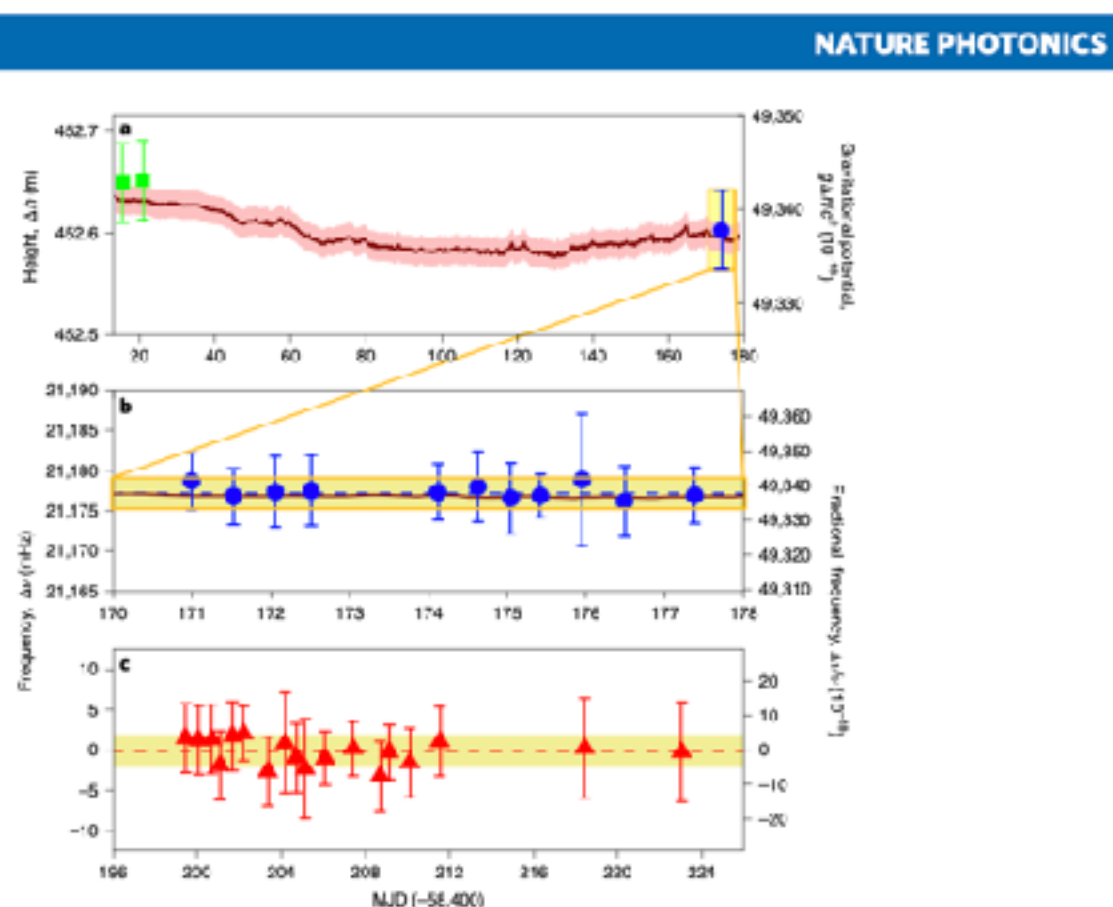
Masao Takamoto^{1,2}, Ichiro Ushijima³, Noriaki Ohmae^{1,2}, Toshihiro Yahagi⁴, Kensuke Kokado⁴, Hisaaki Shinkai⁵ and Hidetoshi Katori^{1,2,3}

スカイツリーの上下で時間の進み方が違う

アインシュタインの相対性理論によれば、
重力の強いところでは時間の進み方が遅くなる

地上と450mの展望台に光格子時計を設置して検証

1週間の計測。平均して、差が



$$\frac{\Delta\nu}{\nu} = (49337.8 \pm 4.3) \times 10^{-18}$$

レーザー測距では

$$\frac{g\Delta h}{c^2} = (49337.1 \pm 1.4) \times 10^{-18}$$

相対性理論の正しさを

$$(1.4 \pm 9.1) \times 10^{-5}$$

の精度で検証したことになる



もっとも精密な時計＝光格子時計



冷蔵庫サイズの時計で、高度差450mを \pm 数cm で測定できる。

光格子時計の社会実装に向けた大きな一步。今後、地殻変動や火山活動の監視など、相対論的測地技術の実用化が期待される。

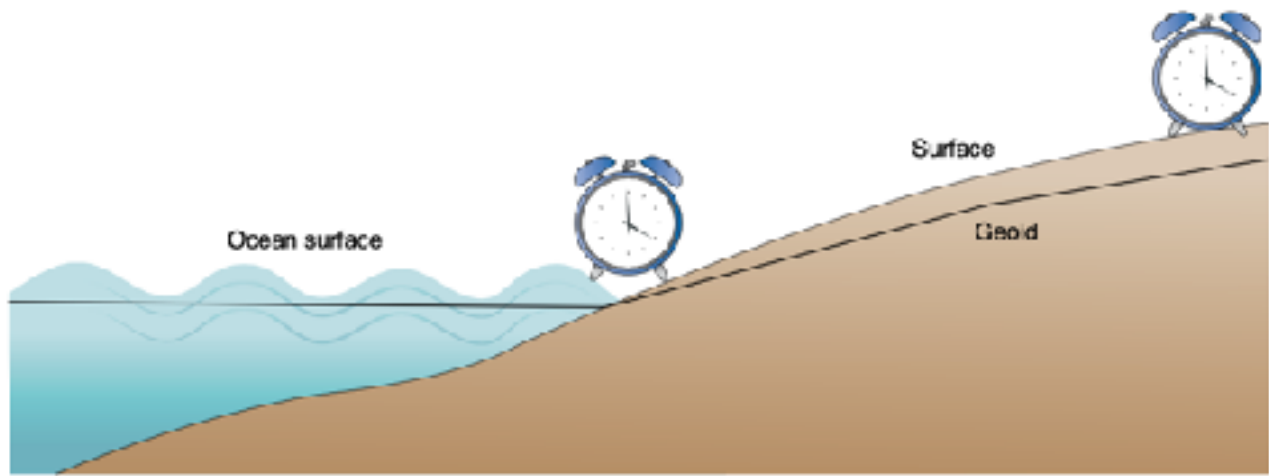


Fig. 1 | Illustration of how in the future relativistic geodesy might be done with clocks. The geoid is an equipotential surface of the Earth's gravitational potential, indicated by the black line. While the mean ocean surface is closely aligned with the geoid, the surface of land can significantly differ. Placing one clock at sea level and one at an inland location allows to determine the geoid height via a frequency comparison between the clocks.

最近の宇宙研究の進展から

1. 太陽系内惑星探査
2. 太陽系外惑星探査 2018年ノーベル物理学賞
3. ブラックホールの観測 2020年ノーベル物理学賞
4. 重力波観測の現状 2017年ノーベル物理学賞
5. 時計を使った相対性理論の検証



<http://www.oit.ac.jp/is/shinkai/>